

7-168

АЗЭРБАЙЧАН ССР ЕЛМЛӨРАКАДЕМИЯСЫ
АКАДЕМИЯ НАУК АЗЕРБАЙДЖАНСКОЙ ССР

МӘРУЗӘЛӘР ДОКЛАДЫ

Том **XXIV** ынад.

1978. 2

ФЛЭР ҮЧҮН ГАЛДАЛАР

УВАЖАЕМЫЙ ЧИТАТЕЛЬ !

Просмотрев издание,
укажите номер
читательского билета
и код категории
читателя.

(Пример: 325/ЗЕІ)

Академијасыны Мэ'рүзэләриндә иңәри вә тәчрубыны тамамланыш вә һәлә дәрч едилеммәниш нәтиҗән олунур.

Тәдә бир нечә айры-айры мә'лumatлар шәклини салын-актика мә'лumatлардан мәһрум мубаһиса характеристикалышдырмәләрсиз көмәкчи тәчрубларин төсөттән ишил, тәсвири вә ичмал харacterли ишләр, тәвсіјә аяны сырф методик магаләләр, набелә битки вә һәләм үчүн хүсуси әһәмијјәтә маллик тапынтыларны тәрч едилеммир.

Магаләләр һәмин мә'лumatларыны даһа кениш шәкнәндә үн мүәллифин һүгүгүнү элиндән алмыр. ыша дахил олан магаләләр ялныз ихтисас үзәре биш сопра редаксија һејәти тәрәфийндән иңәрдән кечигрән чох олмамаг шәртилә магаләләр тәгдим едә биләр. Академијасыны мүхбири үзвларинин магаләләри тәгдичи-

аңиши едири ки, магаләләри тәгдим едәркән онларын и, набелә магаләнин јерләшдириләчәји бөлмәнин адыйиф илдә З магалә дәрч етлира биләр.

Дә дахил олмагла, мүәллиф вәрәгәнин дөрддә биринчиында јазылыш 6—7 сағиғә һәчминдә (10000 чап

ис дилиндә хұласәси олмалыдыр; буйдан башга, Азәр-тә. рус дилиндә хұласа әлаңа едилеммәлидир. Рус дилинде дахил олмагла, кичикләрни исә үсүн гырмызы

и тәдгигат ишләринин нәтичәләринин дәрч олуимасын ишән ишләр.

Дахил олмагла) вәрәгии бир үзүндә иккى хәтт ара бу-
ттар иккى иүхә тәгдим едилеммәлидир. Дүстур-
шапка, кичикләрни исә үсүн гырмызы

шәклиндә де-
ла матидәки
и сијаһысы

3 ады, чи-

я вә иши-
олуандугу

иши ады,
ертасија-

ә шәклини
әгдә тәг-

үзәре мә-
етмәли-

шәде бу-
рда ре-
жимләр.

Пр. Көр-

ректура көйдәрләдүү

15. Редаксија мүәллифә пулсуз олараг магаләнин 15 иүхә әйөмчә оттискини верир.

АЗӘРБАЙЧАН ССР ЕЛМЛӘР АКАДЕМИЈАСЫ
АКАДЕМИЯ НАУК АЗЕРБАЙДЖАНСКОЙ ССР

МЭ'РУЗЭЛЭР ДОКЛАДЫ

ТОМ XXXIV ЧИЛД

№ 2

"ЕЛМ" ИШРИЯЛТАСЫ-ИЗДАТЕЛЬСТВО "ЕЛМ"
БАКЫ-1978-БАКУ



РЕДАКЦИОННАЯ КОЛЛЕГИЯ:

Г. Б. Абдуллаев (главный редактор), М. Т. Абасов, Ал. А. Ализаде,
 Г. А. Алиев, В. Р. Волобуев, Г. Г. Гасанов, Дж. Б. Гулиев,
 Н. А. Гулиев, А. И. Гусейнов, М. З. Джабаров, Ю. М. Сендов,
 (зам. главного редактора), Г. Ф. Султанов, А. С. Сумбатзаде,
 М. А. Топчибашев, Т. Н. Шахтахтинский, Г. Г. Зейналов
 (ответств. секретарь).

УДК 624.07:534.1

МЕХАНИКА

И. Р. БУНЯТОВ

К ОПРЕДЕЛЕНИЮ НАПРЯЖЕННО-ДЕФОРМИРУЕМОГО
СОСТОЯНИЯ ПОЛОГОЙ АРКИ ПРИ НАГРЕВЕ

(Представлено академиком АН Азербайджанской ССР И. И. Ибрагимовым)

В работе [1] предложен вариационный принцип определения напряженно-деформируемого состояния при нагреве упругопластических тел с учетом геометрической нелинейности, который основан на одновременном независимом варьировании поля изменений перемещений и напряжений. В качестве примера рассмотрен нагрев жестко защемленного стержня, изготовленного из нелинейно-упругого материала.

В данной статье приводится описание применения этого принципа к решению задачи о полном нагреве пологой арки, изготовленной из физически-нелинейного материала.

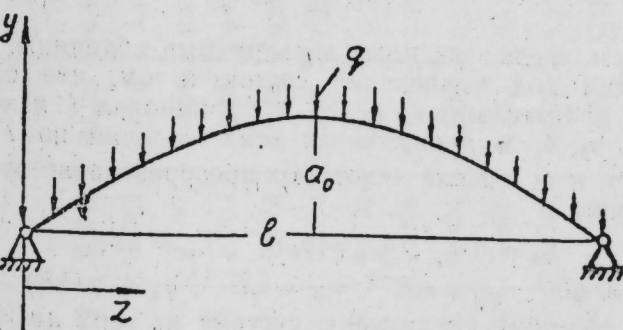


Рис. 1.

Рассмотрим пологую арку (рисунок), шарнирно-опертую на двух концах и имеющую пролет l . Сечение — прямоугольное, с высотой $2h$ и шириной b . Арка несет равномерно распределенную вертикальную нагрузку интенсивности q и подвержена полному нагреву.

При $q = 0$ и $T = 0$ (T — температура) ось арки образована дугой синусоиды:

$$w_0 = a_0 \sin \frac{\pi z}{l}.$$

Обозначая через y расстояние некоторой точки от оси арки по нормали и на основании закона плоских сечений пренебрегая продольными перемещениями ($u = 0$), запишем

$$\epsilon = \frac{1}{2} [w_{1z}^2 - w_{0,z}^2] - y [w_{1zz} - w_{0,zz}];$$

и функционал [1] примет вид

$$I = b \int_0^l \int_{-h}^h [\dot{\sigma}(w_{1z} \cdot \dot{w}_{1z} - y \dot{w}_{1zz}) + \frac{1}{2} \dot{\sigma} w_{1z}^2 - \frac{1}{2} (\dot{\sigma} \epsilon^2 + 2\alpha T \dot{\sigma})] dz dy + \int_0^l q \dot{w} dz. \quad (1)$$

В выражении (1) и в дальнейшем, следуя [1], под точкой подразумеваем дифференцирование по T .

Естественно предположить, что в процессе деформации ось арки сохраняет синусоидальную форму:

$$w = a(T) \sin \frac{\pi z}{l} \text{ или } \dot{w} = \dot{a} \sin \frac{\pi z}{l}. \quad (2)$$

Закон физической нелинейности представим в виде [2]

$$\epsilon^2 = \frac{\sigma}{E} \left[1 + \left(\frac{\sigma}{\sigma_m} \right)^n \right] \text{ или } \dot{\epsilon}^2 = \frac{\sigma}{E} \left[1 + (n+1) \left(\frac{\sigma}{\sigma_m} \right)^n \right], \quad (3)$$

где E —модуль Юнга, а σ_m —предел текучести материала. Показатель нелинейности n принимает четные значения: 2, 4, 6, ...

Учитывая синусоидальный закон распределения момента по длине арки и взяв линейный закон распределения напряжений по толщине, запишем [4]

$$\sigma = \sigma_0(T) + \sigma_1(T) \frac{2y}{h} \sin \frac{\pi z}{l}$$

или

$$\dot{\sigma} = \dot{\sigma}_0 + \dot{\sigma}_1 \frac{2y}{h} \sin \frac{\pi z}{l}. \quad (4)$$

Здесь a , σ_0 и σ_1 —независимые варьируемые величины.

Последующий ход вычислений состоит в том, что соотношения (2), (3) и (4) подставляются в (1) и функционал I находится как функция от a , σ_0 , σ_1 и производных этих величин по T . Варьируя далее I по a , σ_0 и σ_1 и после некоторых преобразований введя безразмерные величины

$$h_* = h \cdot l^{-1}, \sigma_{m*} = \sigma_m E^{-1}, T_* = aT,$$

$$a_* = al^{-1}, \sigma_{0*} = \sigma_0 E^{-1}, \sigma_{1*} = \sigma_1 E^{-1}, q_* = q(bE)^{-1},$$

окончательно получим следующую систему из трех дифференциальных уравнений:

$$\frac{d}{dT_*} \left(\pi^3 a_* \sigma_{0*} + \frac{2}{3} \pi^3 h_* \sigma_{1*} + 2q_* h_*^{-1} \right) = 0,$$

$$\frac{d}{dT_*} \left[\sigma_{0*} + \sigma_{0*}^{n+1} \sigma_{m*}^{-n} + \sigma_{0*}^{n+1} \sigma_{m*}^{-n} \sum_{i=1}^{n/2} C_{n+1}^{2i} \frac{(2i-1)!!}{2i!!(2i+1)} (2\sigma_{1*})^{2i} (\sigma_{0*})^{-2i} + \right. \\ \left. + T_* - 0,25\pi^2 a_*^2 \right] = 0,$$

$$\frac{d}{dT_*} \left[\sigma_{1*} + 3\sigma_{0*}^{n+1} \sigma_{m*}^{-n} \sum_{i=0}^{n/2} C_{n+1}^{2i+1} \frac{(2i+1)!!}{(2i+2)!!(2i+3)} (2\sigma_{1*})^{2i+1} \sigma_{0*}^{-2i-1} - \right. \\ \left. - 0,5\pi^2 h_* a_* \right] = 0.$$

$I \cdot q_*$	0,10	0,11	0,12	0,13	0,14	0,15	0,16	0,17	0,18	0,19	0,20	0,21	0,22
0,0	0,00	0,0521	0,1091	0,1710	0,2378	0,3095	0,3861	0,4677	0,5542	0,6455	0,7419	0,8431	0,9493
0,8	0,0053	0,0569	0,1135	0,1751	0,2416	0,3131	0,3895	0,4708	0,5571	0,6483	0,7445	0,8456	0,9517
1,6	0,0106	0,0618	0,1180	0,1792	0,2454	0,3166	0,3928	0,4740	0,5600	0,6511	0,7472	0,8482	0,9541
2,5	0,0159	0,0665	0,1223	0,1833	0,2492	0,3201	0,3961	0,4771	0,5630	0,6539	0,7498	0,8507	0,9565
3,3	0,0212	0,0714	0,1268	0,1873	0,2530	0,3237	0,3994	0,4802	0,5659	0,6567	0,7525	0,8532	0,9589
0,0	0,00	0,0521	0,1091	0,1710	0,2378	0,3095	0,3861	0,4677	0,5542	0,6456	0,7419	0,8431	0,9493
0,8	0,0053	0,0569	0,1136	0,1752	0,2417	0,3132	0,3896	0,4710	0,5573	0,6486	0,7448	0,8460	0,9520
1,6	0,0106	0,0618	0,1180	0,1793	0,2455	0,3168	0,3931	0,4743	0,5605	0,6516	0,7477	0,8488	0,9548
2,5	0,0160	0,0667	0,1225	0,1834	0,2494	0,3205	0,3965	0,4776	0,5636	0,6547	0,7507	0,8516	0,9575
3,3	0,0215	0,0716	0,1270	0,1876	0,2533	0,3241	0,4000	0,4809	0,5668	0,6577	0,7536	0,8544	0,9603
0,0	0,00	0,0521	0,1091	0,1710	0,2378	0,3095	0,3861	0,4677	0,5542	0,6456	0,7419	0,8431	0,9493
0,8	0,0003	0,0521	0,1088	0,1705	0,2371	0,3086	0,3851	0,4665	0,5529	0,6442	0,7404	0,8415	0,9476
1,6	0,0007	0,0524	0,1091	0,1708	0,2374	0,3089	0,3854	0,4668	0,5531	0,6444	0,7406	0,8417	0,9478
2,5	0,0034	0,0548	0,1130	0,1729	0,2393	0,3107	0,3871	0,4684	0,5546	0,6458	0,7419	0,8430	0,9490
3,3	0,0131	0,0635	0,1195	0,1804	0,2463	0,3171	0,3932	0,4739	0,5599	0,6508	0,7467	0,8475	0,9536

По вариационной теореме [1], начальным условием системы (8) является решение соответствующей нелинейно-упругой задачи ($T_n = 0$). Система, определяющая нелинейно-упругое решение, согласно [3], формально вытекает из (6), если дифференцирование подразумевать по q_n , а в самой системе взять $T_n = 0$. При этом за начальные условия системы, определяющей нелинейно-упругое решение, следует принять $a_0 = 0$, $a_n = a_{0n}$ при $q_n = 0$, где a_{0n} — начальный прогиб.

Учитывая вышеуказанное, вместо системы (6) получим следующую систему алгебраических уравнений:

$$\begin{aligned} \pi^2 a_{0n} + \frac{2}{3} \pi^2 h_n a_{1n} + 2 q_n h_n^{-1} &= 0, \\ T_n + a_{0n}^{n+1} a_{m_n}^{-n} + a_{0n}^{n+1} a_{m_n}^{-n} \sum_{l=1}^{n/2} C_{n+l}^{2l} \frac{(2l-1)!!}{2l!!(2l+1)} (2a_{1n})^{2l} (a_{0n})^{-2l-1} + \\ + a_{0n} - 0,25\pi^2 (a_n^2 - a_{0n}^2) &= 0, \\ 3a_{0n}^{n+1} a_{m_n}^{-n} \sum_{l=0}^{n/2} C_{n+l}^{2l+1} \frac{(2l+1)!!}{(2l+2)!!(2l+3)} (2a_{1n})^{2l+1} (a_{0n})^{-2l-1} + \\ + a_{1n} - 0,5\pi^2 h_n (a_n - a_{0n}) &= 0. \end{aligned}$$

Решение полученной системы зависит от упругого состояния ($a_{0n} \rightarrow \infty$), с которого начинается нагрев. В таблице приведено численное решение этой системы для следующих значений параметров:

$$\begin{aligned} h_n &= 10^{-1}, \quad a_{0n} = 2 \cdot 10^{-2}, \quad a_{0n} = 10^{-1}, \\ q_n &= \{0; 0,82 \cdot 10^{-6}; 0,16 \cdot 10^{-4}; 0,25 \cdot 10^{-4}; 0,33 \cdot 10^{-4}\}, \\ n &= 2, \quad n = 4. \end{aligned}$$

Выводы

1. При малой интенсивности нагружения влияние нелинейности материала на безразмерную температуру практически незначительно.

2. С увеличением интенсивности нагружения при прогибах, близких к начальному несовершенству, влияние нелинейности существенно ($n = 2$, $n = 4$). Это различие практически исчезает с увеличением температуры.

Литература

- Ализаде А. Н., Бунятов И. Р. Уч. зап. АГУ им. С. М. Кирова, 1977, № 1, 2, Ализаде Р. Ю. Уч. зап. АГУ им. С. М. Кирова, 1970, № 1, 3. Гусейн Х. Т. ВИНИТИ, рег. № 6589-73 от 14 авр. 1973 г. 4. Работин Ю. Н. Поведение элементов конструкций. М., "Машина", 1966.

ИПИИГМ

Поступило 22. VI 1977

И. Р. Бунятов

ГЫЗДЫРЫЛДЫГДА ТАГЫН КЭРКИНЛИК ВА ДЕФОРМАСИЯ БАЛЫНЫН ТӘЖИИ ОЛУИМАСЫНА ДАЙР

Мәғліуде геңір-жатты еластик-пластик материалдан қалыпталған шылдар тагын гыздырдығда онун кэргинлик ва деформасия ғалымынан тәжіи олумасынан бәсеке олупур.

I. R. Buniyatov

TO THE DETERMINING OF TENSILE DEFORMATION AT THE STATE OF CURTAINS ARCH IN HEATING STATE

In this paper the task of determining of tensile deformational state of curtains arch prepared from the nonlinear elastic material in complete heating with due regard of geometrical nonlinearity.

АДВАНСАН ССР ЕКІМДІР АКАДЕМИКАНЫҢ МАРДАЛАДЫРЫЛЫСЫ

ДОКЛАДЫ АКАДЕМИИ НАУК АДВАНСАНСКОЙ ССР

ТОМ XXXIV ЧИЛДЫР

№ 9

1978

УДК 678.624.074.4.001

МЕХАНИКА

Р. Ю. АМЫНАДЕ

НЕРИСТАЛЬТИЧЕСКОЕ ДВИЖЕНИЕ НЬЮТОНОВОЙ ЖИДКОСТИ В УПРУГОЙ ОВОЛОЧКЕ

(Продолжено академиком АН Азербайджанской ССР И. И. Ибраимовым)

В данной статье рассматривается задача о распространении гармонической волны в упругой тонкостенной бесмоментной цилиндрической оболочке, в которой включена ньютонова жидкость. При этом оболочка принимается как бесконечная и неакрепленная. Используются линеаризованные уравнения, позволяющие рассчитывать характеристики волнового движения. Указанный вид задачи может моделировать перекачку жидких продуктов в деформируемых оболочках, движение крови в крупных кровеносных сосудах (артерии и вены).

1. Система уравнений, описывающая движение сплошной несжимаемой среды без учета внешних сил в произвольной криволинейной системе координат имеет вид [1]

$$p \frac{d v^k}{dt} = v^j p^{kj}, \quad v_k v^k = 0 \quad (k = 1, 3), \quad (1.1)$$

где p — плотность среды, v^k — контравариантные составляющие вектора скорости, p^{kj} — контравариантный симметрический тензор напряжения, v_k — оператор ковариантного дифференцирования, а $d/dt = \partial/\partial t + v^k \partial/\partial x^k$ — производная Стокса.

При описании движения вязкой несжимаемой жидкости, определяющим уравнением для которой служит классический ньютоновский закон

$$p^{ij} = -p g^{ij} + 2 \mu g^{ik} g^{jk} \omega_{ik}, \quad (1.2)$$

пользуются уравнениями Навье-Стокса [1]. Здесь p — гидродинамическое давление, g^{ij} — контравариантный метрический тензор, $\omega_{ik} = -\frac{1}{2} (\nabla_i v_j + \nabla_j v_i)$ — ковариантный симметрический тензор скоростей деформаций, а μ — динамический коэффициент вязкости.

Однако большой класс несжимаемых жидкостей не подчиняется закону (1.2). Наиболее своеобразными в этом отношении являются сливоконцентрированные водные растворы полимеров, суспензии, различные физиологические жидкости [2], битумы, фенолы. Несжимаемые жидкости, при движении которых отсутствует последовательность

и которые характеризуются наличием вязкоупругой релаксации деформации, могут быть описаны определяющим уравнением [3]*

$$p^{kl} = -pg^{kl} + 2\mu g^{k\alpha} g^{l\beta} \epsilon_{\alpha\beta} + \sum_{i=1}^N 2x_i g^{ki} g^{lj} \frac{d^i \epsilon_{\alpha\beta}}{dt^i}, \quad (1.3)$$

где неотрицательные постоянные x_i ($i = 1, N$) — сдвиговые коэффициенты вязкости различных порядков. Величины $\tau_i = x_i p^{-1}$ — времена релаксации деформации различных порядков. Жидкости с определяющим уравнением (1.3) называют вязкоупругими или неньютоновыми [4].

Линейно-упругозапаздывающая жидкость, являющаяся непосредственным обобщением тела Фойгта, описывается линеаризованным определяющим уравнением (1.3)

$$p^{kl} = -pg^{kl} + \sum_{i=0}^N 2x_i g^{ki} g^{lj} \frac{d^i \epsilon_{\alpha\beta}}{dt^i} (x_0 = \mu, N = 1, 2\dots). \quad (1.4)$$

В написании (1.4) и в дальнейшем принимается, что $d^0/dt^0 = 1$.

Уравнения движения (1.1) в этом случае записываются в виде

$$\rho \left(\frac{\partial v^k}{\partial t} + v^k \nabla_l v^l \right) = -g^{kl} \nabla_l p + \sum_{i=0}^N x_i \frac{\partial^i}{\partial t^i} (\Delta v^k), \quad (1.5)$$

$$\nabla_a v^a = 0,$$

где $\Delta = \nabla^k \nabla_k$ — оператор Лапласа ($\nabla^k = g^{kl} \nabla_l$).

2. Рассмотрим осесимметричную задачу перистальтического движения неньютоновой жидкости с определяющим уравнением (1.4), заключенной в линейно-упругую тонкостенную однородную безмоментную бесконечную незакрепленную цилиндрическую оболочку радиусом a и толщиной $2h$. Будем пользоваться линеаризованной системой уравнений (1.5), которая в цилиндрической системе координат записывается в виде

$$\frac{\partial v_r}{\partial t} = -\rho^{-1} \frac{\partial p}{\partial r} + \sum_{i=0}^N x_i \frac{\partial^i}{\partial t^i} \left(\frac{\partial^2 v_r}{\partial r^2} + \frac{1}{r} \frac{\partial v_r}{\partial r} - r^{-2} v_r + \frac{\partial^2 \tau_r}{\partial \xi^2} \right), \quad (2.1)$$

$$\frac{\partial v}{\partial t} \xi = -\rho^{-1} \frac{\partial p}{\partial \xi} + \sum_{i=0}^N x_i \frac{\partial^i}{\partial t^i} \left(\frac{\partial^2 v_\xi}{\partial r^2} \xi + r^{-1} \frac{\partial v_\xi}{\partial r} + \frac{\partial^2 \tau_\xi}{\partial \xi^2} \right), \quad (2.2)$$

$$\frac{\partial v_r}{\partial r} + r^{-1} \tau_r + \frac{\partial v_\xi}{\partial \xi} = 0, \quad (2.3)$$

где $x_i = x_i p^{-1}$, $x_0 = \mu \rho^{-1}$ — кинематический коэффициент вязкости. Уравнение (2.3) может быть решено введением функции тока $\varphi(\xi, r, t)$ такой, что

$$v_r = r^{-1} \frac{\partial \varphi}{\partial \xi}, \quad v_\xi = -r^{-1} \frac{\partial \varphi}{\partial r}. \quad (2.4)$$

Тогда уравнения (2.1) и (2.2) можно свести к выражению

$$L \left\{ \frac{\partial \varphi}{\partial t} - \sum_{i=0}^N x_i \frac{\partial^i}{\partial t^i} L(\varphi) \right\} = 0, \quad (2.5)$$

где оператор $L = \partial^2/\partial \xi^2 + \partial^2/\partial r^2 - r^{-1} \partial/\partial r$.

* Здесь и в дальнейшем, в отличие от [3], уравнения записываются в произвольной криволинейной системе координат.

Общее решение уравнения (2.5) предстает как $\varphi = \varphi_1 + \varphi_2$,

$$L(\varphi_1) = 0, \quad \frac{\partial \varphi_2}{\partial t} - \sum_{i=0}^N x_i \frac{\partial^i}{\partial t^i} L(\varphi_2) = 0. \quad (2.6)$$

Так как нас интересует движение, распространяющееся в виде волны, будем искать решение φ_1 и φ_2 в виде

$$\varphi_1 = D_1(r) \exp[i(\Omega t - \gamma \xi)], \quad \varphi_2 = D_2(r) \exp[i(\Omega t - \gamma \xi)], \quad (2.7)$$

Здесь Ω — угловая частота, $\gamma = \Omega c^{-1}$ (c — фазовая скорость), действительная часть которой — волновое число, а мнимая — мера затухания возмущения по длине оболочки, i — мнимая единица.

Учитывая выражения (2.7) в уравнениях (2.6) при условии ограниченности искомых функций в центре оболочки и используя зависимости (2.4), имеем

$$p = A_1 I_0(i\gamma r) \exp[i(\Omega t - \gamma \xi)],$$

$$v_\xi = [A_1 \gamma (\rho \Omega)^{-1} I_0(i\gamma r) - A_2 \beta I_0(\beta r)] \exp[i(\Omega t - \gamma \xi)],$$

$$v_r = [A_1 \gamma (\rho \Omega)^{-1} I_1(i\gamma r) - A_2 \beta I_1(\beta r)] \exp[i(\Omega t - \gamma \xi)],$$

где $\beta^2 = -(\gamma^2 + i\Omega v_N^{-1})$, а $v_N(\Omega) = \sum_{i=0}^N x_i (i\Omega)^i$,

A_1 и A_2 — постоянные интегрирования, I_0 и I_1 — бесселевы функции первого рода.

Введя следующие безразмерные величины

$$\tau = tt_0^{-1}, \quad x = \xi a^{-1}, \quad y = ra^{-1}, \quad \delta = \gamma a, \quad \omega = t_0 \Omega, \quad \kappa = \beta a,$$

$$v = v_r t_0 a^{-1}, \quad u = v_\xi t_0 a^{-1}, \quad p_* = p t_0^2 \rho^{-1} a^{-2}, \quad \sum_{i=0}^N x_i (i\omega)^i = \bar{v}_N(\omega),$$

$$\bar{x}_i = x_i a^{-2} t_0^{i-1}, \quad a_1 = A_1 t_0^2 \rho^{-1} a, \quad a_2 = A_2 t_0 a^{-2},$$

$$\kappa^2 = -(\delta^2 + i\omega \bar{v}_N^{-1})$$

(t_0 — некоторое характерное время, значение которого дадим в дальнейшем), окончательно запишем:

$$u = [a_1 \delta \omega^{-1} I_0(i\delta y) - a_2 \kappa I_0(\kappa y)] \exp[i(\omega \tau - \delta x)],$$

$$v = [a_1 \delta \omega^{-1} I_1(i\delta y) - i a_2 \delta I_1(\kappa y)] \exp[i(\omega \tau - \delta x)], \quad (2.8)$$

$$p_* = a_1 I_0(i\delta y) \exp[i(\omega \tau - \delta x)].$$

Учитывая гипотезы Кирхгофа-Лява и гидродинамические силы \bar{p}_x и \bar{p}_y , уравнения осесимметричного движения упругой оболочки в перемещениях дадим в виде

$$\frac{\partial^2 w_x}{\partial x^2} + \sigma \frac{\partial w_y}{\partial x} + \eta \bar{p}_x \Big|_{y=1} - \frac{\partial^2 w_x}{\partial \tau^2} = 0, \quad (2.9)$$

$$-\sigma \frac{\partial w_x}{\partial x} - w_y + \eta \bar{p}_y \Big|_{y=1} - \frac{\partial^2 w_y}{\partial \tau^2} = 0, \quad (2.10)$$

$$\bar{p}_x = -\sum_{i=0}^N \bar{x}_i \frac{\partial^i}{\partial \tau^i} \left(\frac{\partial u}{\partial y} + \frac{\partial v}{\partial x} \right), \quad \bar{p}_y = p_* - 2 \sum_{i=0}^N \bar{x}_i \frac{\partial^i}{\partial \tau^i} \left(\frac{\partial v}{\partial y} \right). \quad (2.11)$$

В (2.9)–(2.11) использованы следующие безразмерные величины:

$$w_x = W_x a^{-1}, \quad w_y = W_y a^{-1}, \quad \eta = 1/2 \rho \bar{v}_N^{-1} a h^{-1},$$

$$\bar{p}_x = p_x t_0^2 \rho^{-1} a^{-2}, \quad \bar{p}_y = p_y t_0^2 \rho^{-1} a^{-2}.$$

Здесь w_x и w_y — соответственно безразмерные осевое и радиальное перемещения стенки оболочки, p_* — ее плотность, σ — коэффициент

Пуассона, а $t_0 = a \left\{ (1 - \sigma^2) \rho_* E^{-1} \right\}^{1/2}$, где E —модуль упругости материала оболочки.

В рамках линейного приближения кинематические условия, связывающие движение жидкости и оболочки (непроницаемость и прилипание), представим в виде

$$\frac{\partial w_y}{\partial \tau} = v \Big|_{y=1}, \quad \frac{\partial w_x}{\partial \tau} = u \Big|_{y=1}. \quad (2.12)$$

Осьное и радиальное перемещения стенки оболочки представим выражениями

$$w_x = \beta_2 \exp[i(\omega\tau - \delta x)], \quad w_y = \beta_1 \exp[i(\omega\tau - \delta x)], \quad (2.13)$$

где β_1 и β_2 —весьма малые постоянные.

Вычислив \bar{p}_x и \bar{p}_y по формулам (2.11), имеем

$$\bar{p}_x \Big|_{y=1} = -\bar{v}_N(\omega) \left\{ (\kappa^2 - \delta^2) I_1(\kappa) \alpha_2 - 2i\delta^2 \omega^{-1} I_1(i\delta) \alpha_1 \right\} \times \\ \times \exp[i(\omega\tau - \delta x)], \quad (2.14)$$

$$\bar{p}_y \Big|_{y=1} = \left\{ \alpha_1 I_0(i\delta) - \bar{v}_N(\omega) \delta \left[\omega^{-1} (i\delta I_0(i\delta) - I_1(i\delta) \alpha_1) - i(\kappa I_0(\kappa) - I_1(\kappa) \alpha_2) \right] \right\} \exp[i(\omega\tau - \delta x)]. \quad (2.15)$$

Первое условие (2.12) позволяет выразить α_2 через α_1 и β_1 :

$$\alpha_2 = -i\omega^{-1} \frac{I_1(i\delta)}{I_1(\kappa)} \alpha_1 - \omega \delta^{-1} \frac{1}{I_1(\kappa)} \beta_1. \quad (2.16)$$

Учитывая выражения (2.13)–(2.16) в уравнениях (2.9), (2.10) и во втором условии (2.12), получим систему трех однородных алгебраических уравнений относительно β_1 , β_2 и α_1 , для нетривиального решения которой имеем

$$\det M_{ij} = 0 \quad (i, j = 1, 2, 3), \quad (2.17)$$

где

$$M_{11} = \omega \eta \delta^{-1} \bar{v}_N(\omega) (\kappa^2 - \delta^2) - i\omega \delta, \quad M_{12} = \omega^2 - \delta^2,$$

$$M_{13} = i\omega^{-1} \eta \bar{v}_N(\omega) (\kappa^2 - \delta^2) I_1(i\delta),$$

$$M_{21} = \omega^2 - 1 + i\omega \eta \left[\kappa \frac{I_0(\kappa)}{I_1(\kappa)} - 1 \right], \quad M_{22} = i\omega \delta, \quad M_{23} = \eta \{ I_0(i\delta) - \right. \\ \left. - \delta \omega^{-1} \bar{v}_N(\omega) [i\delta I_0(i\delta) - I_1(i\delta)] - \delta \omega^{-1} \left[\kappa \frac{I_0(\kappa)}{I_1(\kappa)} - 1 \right] I_1(i\delta) \},$$

$$M_{31} = \kappa \delta^{-1} \omega^2 \frac{I_0(\kappa)}{I_1(\kappa)}, \quad M_{32} = i\omega^2, \quad M_{33} = \delta I_0(i\delta) + i\kappa I_1(i\delta) \frac{I_0(\kappa)}{I_1(\kappa)}.$$

3. Ограничимся рассмотрением длинноволнового процесса $|\delta| \ll 1$. Тогда бесселевые функции $I_0(i\delta)$ и $I_1(i\delta)$ могут быть приближенно представлены в полиномиальной форме

$$I_0(i\delta) \sim 1 + \frac{1}{4} \delta^2, \quad I_1(i\delta) = \frac{1}{2} i\delta \left(1 + \frac{1}{8} \delta^2 \right). \quad (3.1)$$

Для полиномиального представления бесселевых функций $I_1(\kappa)$ и $I_0(\kappa)$ проведем следующие рассуждения. Имеем $\kappa = \sqrt{-(\delta^2 + i\omega)^{-1}}$.

Обозначив $\bar{v}_N^{-1} = m^3$ и $m = m_* i^{-1/2}$ и заметив, что $|\delta^2 i^{-1} m^{-2}| \ll 1$, предыдущее равенство запишем в виде $\kappa \sim m - \delta^2 (2m)^{-1}$. Тогда с принятой точностью будем иметь разложения

$$I_1(\kappa) \sim I_1(m) + \frac{\delta^2}{2m^2} [I_1(m) - m I_0(m)], \quad (3.2)$$

$$I_0(\kappa) \sim I_0(m) + \frac{\delta^2}{2m} I_1(m).$$

Таким образом, дисперсионное уравнение (2.17) теперь может быть представлено как полиномиальная функция δ и зависит от частоты ω и параметров системы.

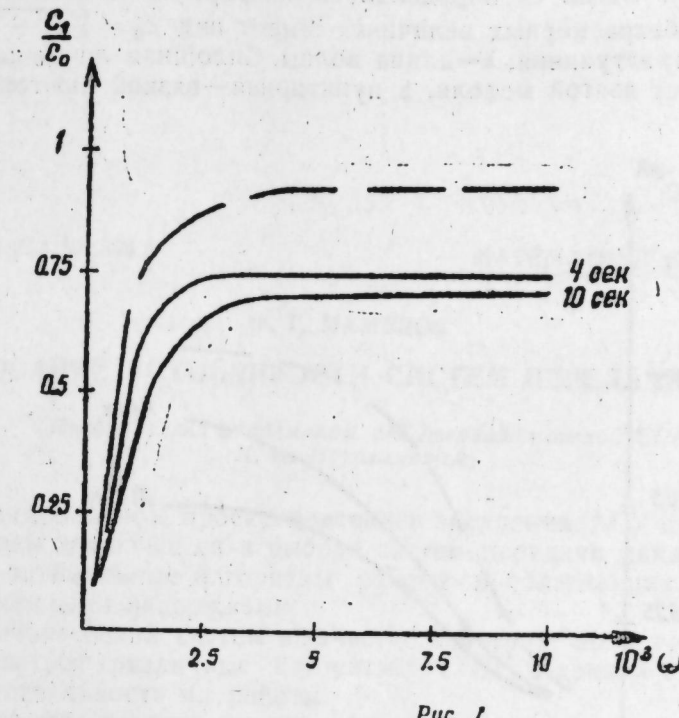


Рис. 1

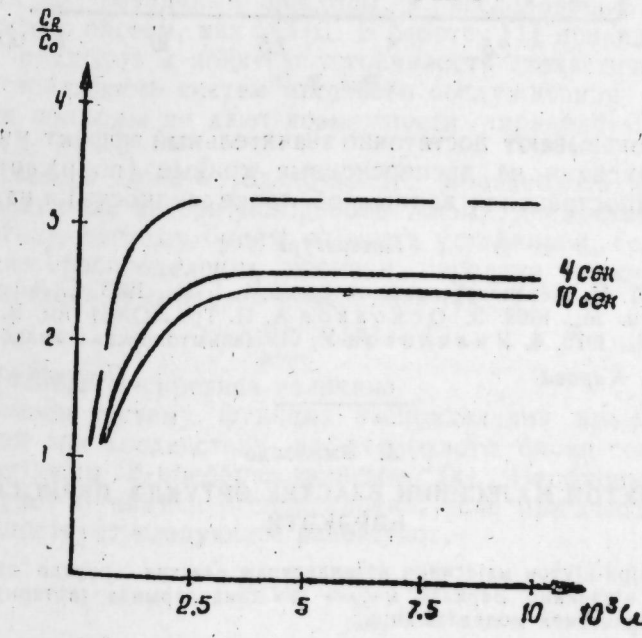


Рис. 2

При значениях параметров системы $\eta = 10$, $\mu = 0,02 \frac{\text{см} \cdot \text{сек}}{\text{см}^2}$, $\sigma = -0,49$, $N = 1$ для двух времен релаксаций (4 и 10 сек) с учетом в

уравнений (2,17) разложений (3,1) и (3,2) численно получены зависимости фазовой скорости c_1/c_0 (меньший корень), соответствующей волне давления Юнга, которая распространяется в жидкости, фазовой скорости c_2/c_0 (больший корень), соответствующей волне Ламба, которая бежит в стенке оболочки, и затухания $e^{-z\lambda}$ от угловой частоты (рис. 1, 2, 3). Здесь c_0 определяется по формуле Резаля, которая в введенных безразмерных величинах имеет вид $c_0 = \sqrt{(1 - \sigma^2)/2\eta}$, σ — коэффициент затухания, λ — длина волны. Сплошная линия на рисунках соответствует взятой модели, а пунктирная — вязкой ньютоновской жидкости.

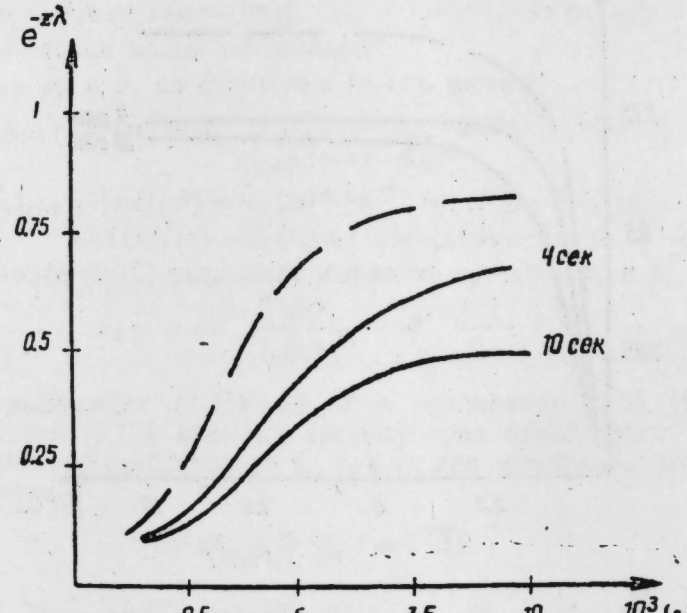


Рис. 3

Рисунки показывают достаточно значительный эффект учета вязкоупругой релаксации на дисперсионные кривые (понижает значения скорости распространения волны в оболочке жидкости) и на затухание.

Литература

- Седов Л. И. Механика сплошной среды, т. I. М., 1973. 2. Лодж А. Эластичные жидкости. М., 1968. 3. Осколов А. П. Тр. ЛОМИ им. В. А. Стеклов. АН СССР, XXVII, 1975. 4. Уилкинсон У. Л. Неньютоновские жидкости. М., 1964. АГУ им. С. М. Кирова

Поступило 20. IX 1977

R. J. Amenzade

ГЕРИ-НЬЮТОН МАЈЕСИНИН ЕЛАСТИК ӨРТҮКДӘ ПЕРИСТАЛТИК ҺӘРӘКӘТИ

Мәгәләдә гери-ньютон мајесинин назарияварлы еластик өртүкдә оха симметрик рәгсі һәрәкәти өткөнди. Верилен масәлә ган дамарларында (артериаларда, вена-ларда) ганың һәрәкәттеги моделләшdirip.

R. Ya. Amenzade

PERISTALTIC MOTION OF NON-NEWTON FLUID IN ELASTIC SHELL

It is considering a problem about expansion of harmonic wave in elastic thin unmovable shell which contains non-newton fluid.

АЗЭРБАЙЧАН ССР ЕЛМЛӘР АКАДЕМИЯСЫНЫН МӘРУЗӘЛӘРИ

ДОКЛАДЫ АКАДЕМИИ НАУК АЗЕРБАЙДЖАНСКОЙ ССР

ТОМ XXXIV ЧИЛД

№ 2

1978

УДК 621.391.27+621.394.3

МАТЕМАТИЧЕСКИЙ АНАЛИЗ

Ф. Г. МАМЕДОВ

ИССЛЕДОВАНИЕ УСТОЙЧИВОСТИ СИСТЕМ ПЕРЕДАЧИ ДАННЫХ

(Представлено академиком АН Азербайджанской ССР
И. И. Ибрагимовым)

При рациональном проектировании и внедрении АСУ одна из главных проблем заключается в выборе систем передачи данных (СПД), имеющих оптимальные алгоритмы работы и обладающих минимальными временными задержками.

Для выбора таких систем в качестве критерия, по которому должны сравниваться различные алгоритмы СПД, в данной статье предлагается устойчивость их работы.

Существуют различные подходы к исследованию устойчивости таких сложных систем, как СПД. В работе [1] приведены примеры различных подходов к понятию устойчивости стохастических систем, изучены устойчивость систем массового обслуживания с ожиданием. Однако эти подходы не дают возможности определить устойчивость работы СПД.

Предлагаемый ниже метод позволяет производить оценки устойчивости различных алгоритмов работы любых дискретных СПД.

Дискретную систему будем называть устойчивой, если интегральная функция распределения времени передачи одного блока при $n \rightarrow \infty$ ограничена и сходится к единице, т. е.

$$\lim_{n \rightarrow \infty} F(n) = 1, \quad (1)$$

где n — случайная дискретная величина.

Пусть имеем систему, функция распределения времени передачи $f(i)$ которой при воздействии на нее одного блока сообщения описывается прямым z -преобразованием — $F(z)$. Необходимо отметить, что $f(i)$ будет функцией распределения, если при выполнении условия (1) существует следующее равенство:

$$F(n) = \sum_{i=0}^n f(i). \quad (2)$$

Найдем условие, при котором рассматриваемая система окажется устойчивой по определению (1). Для этого вычислим

$$\lim_{n \rightarrow \infty} F(n) = \lim_{n \rightarrow \infty} \frac{1}{2\pi j} \int_{|z|=1} \Phi F(z) z^{i-1} dz. \quad (3)$$

Анализ различных систем передачи данных показывает, что, как правило, функцию $F(z)$ можно представить в виде дробно-рациональной функции. Поэтому при вычислении интеграла в (3) целесообразно, определив корни знаменателя, разложить функцию $F(z)$ на сумму элементарных дробей [2] вида

$$F(z) = \sum \frac{g_i z^i}{z - c_i}. \quad (4)$$

Тогда (3) с учетом (4) примет вид

$$\lim_{n \rightarrow \infty} F(n) = \lim_{n \rightarrow \infty} \sum_{i=0}^n \sum \text{выч} \left[\frac{g_i z^i}{z - c_i} \right]_{z=c_i} = \sum g_i \lim_{n \rightarrow \infty} \sum_{i=0}^n c_i^i. \quad (5)$$

Рассматриваемая система будет устойчивой, если ряд в правой части формулы (5) будет сходиться к единице. На основании признака Коши [3] $\lim_{n \rightarrow \infty} \sum_{i=0}^n c_i^i$ существует, т. е. ряд сходится при $c_i^i < 1$.

Таким образом, условием сходимости ряда (5) является наличие полюсов c_i^i внутри единичного круга. При этом условии $\lim_{n \rightarrow \infty} \sum_{i=0}^n f(i)$

существует и равен единице, так как $f(i)$ является дифференциальным законом распределения времени передачи СПД.

Введение понятия устойчивости системы (1) и найденные условия устойчивости позволяют применить известные в теории автоматического регулирования критерии для оценки [2]. В сложных системах передачи данных, однако, знаменатель z -преобразования дифференциального закона распределения времени передачи, как правило, имеет большое количество корней, которые не всегда могут быть найдены аналитическими методами. Поэтому в дальнейшем предлагается метод оценки устойчивости, в основу которого положено следствие теоремы Раше.

Для этого z -преобразование дифференциального закона времени передачи сообщения в СПД представим в следующем виде:

$$F(z) = \frac{O(z)}{G(z)},$$

где $G(z) = f(z) + \varphi(z)$,
т. е.

$$G(z) = c_0 z^0 + c_{-1} z^{-1} + \dots + c_1 z + c_0. \quad (6)$$

Система окажется устойчивой в том случае, когда все корни $G(z)$ будут меньше единицы. Но на основании теоремы Раше количество корней $G(z)$ равно количеству корней $f(z)$, если $|f(z)| > |\varphi(z)|$. Тогда, как видно из (6), функции $f(z)$ и $\varphi(z)$ должны иметь вид

$$f(z) = c_0 z^0, \quad \varphi(z) = c_{-1} z^{-1} + \dots + c_1 z^0 c_0.$$

При этих условиях функция $f(z)$ имеет в нулевых корнях, лежащих внутри единичного круга, а следовательно, там же находятся и корни $G(z)$, что необходимо для устойчивости системы.

Таким образом, условие устойчивости будет

$$|c_0| > |c_{-1}| + |c_{-2}| + \dots + |c_1| + |c_0|. \quad (7)$$

Условие (7) позволяет произвести анализ устойчивости работы различных алгоритмов СПД. Для этого необходимо, зная алгоритм работы систем, найти их z -преобразование дифференциального закона распределения времени передачи сообщения, а затем вычислить корни его знаменателя. Покажем это на примере системы с решающей об-

ратной связью и ожиданием (РОС-ОЖ) и непрерывной передачи (РОС-НП) при обслуживании сообщений постоянной и переменной длины.

Алгоритмы работы системы РОС-ОЖ рассмотрены в [4]. Структурная схема системы РОС-ОЖ в виде эквивалентной блок-схемы z -преобразования при идеальном канале обратной связи приведена на рисунке. По структурной схеме определим z -преобразование функций распределения времени передачи системы:

$$F(z) = \frac{O}{z^{l_{\text{ож}}} - P_{00}}, \quad (8)$$

где P_{00} — вероятность обнаруживаемой ошибки $Q = 1 - P_{00}$, $l_{\text{ож}}$ — длительность цикла.

Условием устойчивости является

$$\sqrt[l_{\text{ож}}]{P_{00}} < 1. \quad (9)$$

Так как вероятность обнаруживаемых ошибок P_{00} в реальных каналах всегда меньше единицы, то такие системы являются устойчивыми. Однако при использовании кодов, обладающих сильными обнаруживающими свойствами (например, сверточные), и сложных алгоритмов декодирования (последовательное декодирование) устойчивость системы резко падает. Таким образом, при высоком требовании достоверности передаваемой информации системы становятся менее устойчивыми в указанном выше смысле.

В случае, когда система РОС-ОЖ работает в режиме с частичным исправлением ошибок, при $l_{\text{ож}} = 1$ условие (9) примет вид

$$P_{00,n} < 1, \quad (10)$$

где $P_{00,n}$ — вероятность обнаруживаемых ошибок [в системе с частичным исправлением].

Учитывая, что $P_{00,n} < P_{00}$, и сравнивая условия (10) и (9), легко заметить, что неравенство (10) сильнее, чем (9), при $l_{\text{ож}} = 1$, а следовательно, система с частичным исправлением обладает большей устойчивостью, чем исходная.

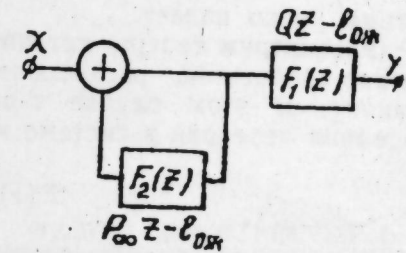
В отличие от системы РОС-ОЖ в системе с непрерывной передачей блоки передаются непрерывно [4]. По структурной схеме z -преобразований, при идеальном канале обратной связи, построенной аналогично системе РОС-ОЖ, определяем z -преобразование функций распределения времени передачи в данной системе:

$$F(z) = \frac{Q z^{(h-1)l_{\text{пп}}}}{z^{l_{\text{пп}}} - P_{00}},$$

где h — емкость накопителя системы. Арифметический корень знаменателя будет $z_1 = +\sqrt[h]{P_{00}}$.

Емкость накопителя h выбирается с учетом времени передачи блока, времени декодирования блока в прямом и сигнала решения в обратном каналах, времени распространения сигнала в прямом и обратном каналах. В связи с этими условиями длительности циклов $l_{\text{ож}}$ и $l_{\text{пп}}$ в системах РОС-ОЖ и РОС-НП связаны следующим соотношением:

$$l_{\text{ож}} = l_{\text{пп}} \cdot h - \Delta;$$



где Δ изменяется в пределах от 0 до $l_{\text{пп}}$, причем значению Δ практически никогда не равно нулю.

Тогда условие устойчивости для системы РОС-НП будет

$$\sqrt{l_{\text{пп}}} = l_{\text{ож}} + \Delta \sqrt{P_{\text{оо}}} < 1. \quad (11)$$

Из (11) видно, что с увеличением емкости памяти устойчивость системы резко падает.

Рассмотрим теперь устойчивость СПД, РОС-ОЖ при случайной длине сообщений, распределенной, например, по геометрическому закону. В этом случае z -преобразование функции распределения времени передачи в системе имеет вид

$$F(z) = \frac{O\theta}{z - 1 - O},$$

а условием устойчивости является выражение

$$(1 - O\theta) < 1. \quad (12)$$

Из условия устойчивости (12) можно видеть, что с увеличением вероятности появления сообщений постоянной длины θ устойчивость системы возрастает.

Выводы

1. Для повышения устойчивости системы необходимо использовать режим с частичным исправлением ошибок.

2. При идеальном канале обратной связи и обслуживании сообщений постоянной длины устойчивость системы РОС-ОЖ выше, чем у системы РОС-НП.

3. Наибольшая устойчивость систем передачи данных имеется при обслуживании сообщений постоянной длины.

Литература

1. Бусленко Н. П. и др. Лекции по теории сложных систем. М., "Сов. радио", 1970.
2. Кузин Л. Т. Расчет и проектирование дискретных систем управления. М., "Мир", 1965.
3. Фихтенгольц Г. М. Основы математического анализа, ч. 1. М., 1964.
4. Пуртов Л. П. и др. Элементы теории передачи дискретной информации. М., "Связь", 1972.

АзПИ им. Ч. Ильдрыма

Поступило 27. IV 1977

Ф. И. Мамедов

ДИСКРЕТ МӘЛУМАТЛАР ВЕРИЛИШИ СИСТЕМЛӘРИНИН ДАЈАНЫГЛЫНЫН ТӘДГИГИ

Мәгәләдә Рүше теореминин әсас хассәләриндән истифадә өдәрәк көзләмә вә фасиләсиз иш принципинә малик олан дискрет системләрни дајаныглығы тәдгиг еди-дир. Дискрет системләрни иш принципи z -чевирмәсеннин эквивалент-блок схеми иш-әвәз олуңур вә вайнд радиусу даирә дахилиндә бу чевирмәсеннин кекләри арашдырылышы. Көстәриләп системләр дајаныглыг шәртләрниң көрә бир-бирилә мугаисе олуңур.

F. G. Mamedov

INVESTIGATION OF DATA TRANSMISSION SYSTEM STABILITY

In this paper the conception concerning the stability of data transmission system is introduced. The stability of such methods of operating systems as solving of feedback with exception and continuous transmission with utilization of sufficient signs by Rushe theorem aiming this transmission function of time service is substituted for its Z transformation and behavior of denominator roots of its transformation in the single radius circle is examined.

Comparative analysis of considered system on stability of its operation is made.

АЗЭРБАЙЧАН ССР ЕЛМЛӘР АКАДЕМИЯСЫНЫН МӘРУЗӘЛӘРИ

ДОКЛАДЫ АКАДЕМИИ НАУК АЗЕРБАЙДЖАНСКОЙ ССР

ТОМ XXXIV ЧИЛД

№ 2

1978

УДК 519.21

ТЕОРИЯ ВЕРОЯТНОСТЕЙ И
МАТЕМАТИЧЕСКАЯ СТАТИСТИКА

Т. М. АЛИЕВ

ОБ ОДНОЙ ЦЕПИ МАРКОВА СО СЧЕТНЫМ ЧИСЛОМ СОСТОЯНИЙ

(Представлено академиком АН Азербайджанской ССР А. И. Гусейновым)

Пусть $\xi_t \in \{0, 1, 2, \dots\}$ — однородная во времени цепь Маркова со следующими переходными вероятностями при $\Delta \downarrow 0$:

$$\begin{aligned} n < \kappa &\xrightarrow{\Delta} \begin{cases} \kappa: 1 + a_0 \Delta + o(\Delta), \\ \kappa+r: a_r \Delta + o(\Delta) (r \geq -1, r \neq 0), \end{cases} \\ n \geq \kappa &\xrightarrow{\Delta} \begin{cases} \kappa: 1 + b_{\kappa} \Delta + o(\Delta), \\ j: b_{kj} \Delta + o(\Delta) (j \geq 0, j \neq \kappa); \end{cases} \end{aligned} \quad (1)$$

здесь n — заданное целое неотрицательное число,

$$a_0 < 0, a_r \geq 0 (r \neq 0), \sum_{r=1}^{\infty} a_r = 0,$$

$$b_{\kappa} < 0, b_{kj} \geq 0 (j \neq \kappa), \sum_{j=0}^{\infty} b_{kj} = 0.$$

Из переходных вероятностей (1) видно, что при $\xi_t > n$ процесс ξ_t ведет себя как некоторый процесс η_t с независимыми приращениями, а при $\xi_t \leq n$ он является марковской цепью.

В данной статье при некоторых условиях находится эргодическое распределение цепи ξ_t в предположении, что оно существует. Полученные результаты могут быть использованы при исследовании распределения длины очереди системы массового обслуживания с недежными приборами, когда входящий поток неординарный и пуассонский.

Предположим, что цепь ξ_t эргодична, т. е. существует предел

$$\lim_{t \rightarrow \infty} p[\xi_t = \kappa] = p_{\kappa} (\kappa \geq 0).$$

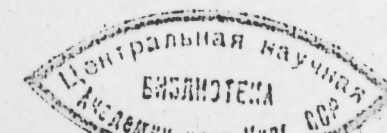
Обозначим

$$\tau = \inf \{t = \xi_t > n\},$$

и пусть $\Delta_j = \xi_t$, если $\xi_0 = j$ ($j = 0, 1, \dots, n$).

Из задания цепи ξ_t следует, что в случае эргодичности должны быть выполнены условия [1]

$$M\eta_t < 0, M\Delta_j < \infty (j = 0, n).$$



Согласно (1) легко составить уравнения для стационарных вероятностей p_k , $k \geq 0$:

$$p_k = p_k(1 + b_{kk}\Delta) + \Delta \sum_{\substack{j=0 \\ j \neq k}}^n p_j b_{jk} + a_{-1} p_{n+1} \delta_{kn} \Delta + o(\Delta)$$

$$(k = 0, 1, \dots, n),$$

$$p_k = p_k(1 + a_0 \Delta) + \Delta \sum_{j=0}^n p_j b_{jk} + \Delta \sum_{\substack{j=n+1 \\ j \neq k}}^{k+1} p_j a_{k-j} + o(\Delta)$$

$$(k = n+1, n+2, \dots),$$

откуда

$$\sum_{j=0}^n b_{jk} p_j + a_{-1} \delta_{kn} p_{n+1} = 0 \quad (0 \leq k < n), \quad (2)$$

$$\sum_{j=0}^n b_{jk} p_j + \sum_{j=n+1}^{k+1} a_{k-j} p_j = 0 \quad (k > n). \quad (3)$$

Введем производящую функцию

$$P(\theta) = \sum_{j=0}^{\infty} p_j \theta^j, |\theta| \leq 1.$$

Тогда из (2) и (3) имеем

$$\sum_{k=n}^{\infty} \theta^k \sum_{j=n+1}^{k+1} a_{k-j} p_j + \sum_{j=0}^n b_j(\theta) p_j = 0; \quad (4)$$

здесь

$$b_j(\theta) = \sum_{k=0}^{\infty} b_{jk} \theta^k.$$

Поскольку

$$\begin{aligned} \sum_{k=n}^{\infty} \theta^k \sum_{j=n+1}^{k+1} a_{k-j} p_j &= \sum_{j=n+1}^{\infty} p_j \theta^j \sum_{k=j-1}^{\infty} a_{k-j} \theta^{k-j} = \\ &= a(\theta) \left[P(\theta) - \sum_{j=0}^n p_j \theta^j \right], \end{aligned}$$

где

$$a(\theta) = \sum_{j=1}^{\infty} a_j \theta^j,$$

то из (4) получим

$$P(\theta) a(\theta) + \sum_{j=0}^n [b_j(\theta) - a(\theta) \theta^j] p_j = 0$$

или

$$a(\theta) P(\theta) = \sum_{j=0}^n [a(\theta) \theta^j - b_j(\theta)] p_j,$$

откуда

$$P(\theta) = \frac{\sum_{j=0}^n [a(\theta) \theta^j - b_j(\theta)] p_j}{a(\theta)}. \quad (5)$$

Так как $P(1) = 1$ и при $\theta = 1$ числитель и знаменатель правой части (5) обращаются в нуль, то по правилу Лопитала находим

$$\frac{1}{a'(1)} \sum_{j=0}^n [a'(1) - b'_j(1)] p_j = 1$$

или

$$\sum_{j=0}^n [a'(1) - b'_j(1)] p_j = a'(1).$$

Таким образом, для определения стационарных вероятностей p_j ($j = \overline{0, n}$) имеем систему

$$\left\{ \begin{array}{l} \sum_{j=0}^n [a'(1) - b'_j(1)] p_j = a'(1), \\ \sum_{j=0}^n b_{jk} p_j = 0 \quad (k = 0, 1, \dots, n-1). \end{array} \right. \quad (6)$$

$$\left\{ \begin{array}{l} \sum_{j=0}^n [a'(1) - b'_j(1)] p_j = a'(1), \\ \sum_{j=0}^n b_{jk} p_j = 0 \quad (k = 0, 1, \dots, n-1). \end{array} \right. \quad (7)$$

Решим (6)–(7). Обозначим

$$q_k = -b_{kk} p_k \quad (k = 0, 1, \dots, n-1).$$

Из (7) получим

$$\sum_{\substack{j=0 \\ j \neq k}}^n b_{jk} p_j = q_k$$

или

$$\sum_{\substack{j=0 \\ j \neq k}}^n \frac{b_{jk}}{-b_{jj}} q_j = q_k \quad (k = 0, 1, \dots, n-1). \quad (8)$$

Введем

$$l_{jk} = \begin{cases} \frac{b_{jk}}{-b_{jj}}, & \text{если } j \neq k, \\ 0, & \text{если } j = k. \end{cases}$$

Тогда соотношение (8) можно записать в виде

$$\sum_{j=0}^n l_{jk} q_j = q_k \quad (k = 0, 1, \dots, n-1); \quad (9)$$

здесь

$$\sum_{k=0}^{\infty} l_{jk} = 1.$$

Предположим, что выполнено условие

$$\sum_{k=0}^{n-1} l_{jk} < 1 \quad (j = 0, 1, \dots, n-1). \quad (10)$$

Это условие означает, что из каждого состояния $j < n$ цепи ξ_t можно попасть в некоторое состояние $k \geq n$.

Далее, поскольку матрица

$$L = \|l_{jk}\|_{j,k=0}^{n-1}$$

является подстохастической [3], то существует обратная матрица

$$(I - L)^{-1} = \sum_{r=0}^{\infty} L^r$$

(I -единичная матрица), причем все элементы матрицы L^r ($r \geq 0$) неотрицательны.

Запишем соотношение (9) в виде

$$\sum_{j=0}^{n-1} l_{jk} q_j + l_{nk} q_n = q_k \quad (k = 0, 1, \dots, n-1). \quad (11)$$

Введем векторы-строки

$$\vec{q} = (q_0, q_1, \dots, q_{n-1}), \\ l_n = (l_{n0}, l_{n1}, \dots, l_{n,n-1}).$$

Соотношение (11) в векторной форме выглядит как

$$\vec{q}L + q_n \vec{l}_n = \vec{q}$$

или

$$q_n \vec{l}_n = \vec{q}(I - L),$$

откуда

$$\vec{q} = q_n \vec{l}_n (I - L)^{-1} = q_n \vec{l}_n M, \quad (12)$$

где

$$M = (I - L)^{-1}.$$

Поскольку все элементы \vec{l}_n и M неотрицательны, то и все элементы вектора $\vec{c} = \vec{l}_n M$ также неотрицательны.

Если обозначить $\vec{c} = (c_0, c_1, \dots, c_{n-1})$, то из (12) имеем

$$(q_0, q_1, \dots, q_{n-1}) = q_n (c_0, c_1, \dots, c_{n-1});$$

тогда

$$q_k = q_n c_k \quad (k = 0, 1, \dots, n-1).$$

Следовательно,

$$p_j = \frac{q_j}{q_n} = q_n \cdot \frac{c_j}{b_{jj}} \quad (j = 0, 1, \dots, n),$$

где

$$c_n = 1.$$

Теперь соотношение (6) имеет вид

$$\sum_{j=0}^n [a'(1) - b'_j(1)] \frac{c_j}{b_{jj}} \cdot q_n = a'(1),$$

откуда

$$q_n = \frac{a'(1)}{\sum_{j=0}^n [b'_j(1) - a'(1)] \frac{c_j}{b_{jj}}}.$$

Знание стационарных вероятностей p_j ($0 < j < n$) дает возможность найти производящую функцию $P(\theta)$ и, значит, распределение $\{p_j\}$, $j > 0$.

Из $q_n > 0$ и $a'(1) < 0$ следует, что

$$\sum_{j=0}^n [b'_j(1) - a'(1)] \frac{c_j}{b_{jj}} > 0;$$

здесь

$$M\Delta_j = b'_j(1) < \infty \quad (j = 0, 1, \dots, n).$$

Литература

1. Гихман И. И., Скороход А. В. Теория случайных процессов, т. II. М.: Наука, 1971.
2. Алиев Т. М., Ежов И. И. РЖ ... Математика, 1976.
3. Гантмахер Ф. Р. Теория матриц. М., Наука, 1967.

Институт кибернетики

Поступило 8. VII 1977

Т. М. Элиев

НЕСАБИ САДА ҺАЛЛАРА МАЛИК ОЛАН БИР МАРКОВ ЗЭНЧИРИННИЙ ЕРГОДИК ПАЛАНМАСЫ ТАПЫЛМЫШДЫР

Мәгаләдә мүэллійен бир $y = n$ (n -мәнфи олмајан там әдәддир) сәвијјәсіндән жұхары вә ашагыда өзүнү мұхтәлиф чүр апаран вә несаби сағда һаллара малик бир Марков зэнчиринниң ергодик пајланмасы тапылмышдыр.

T. M. Aliev

OF ONE MARKOV'S CHAIN WITH A COUNTABLE NUMBER OF STATES

In the article under some conditions there is ergodic distribution of one Markov's chain with countable number of states, that has barrier $y = n$ (n -integer nonnegative number), which behavior is higher and lower than level is different.

УДК 532.783

ФИЗИКА ДИЭЛЕКТРИКОВ

В. Н. ЧИРКОВ, Д. Ф. АЛИЕВ, А. Х. ЗЕЙНАЛЛЫ

ЭЛЕКТРООПТИЧЕСКИЙ ЭФФЕКТ ПАМЯТИ В НЕМАТИЧЕСКИХ ЖИДКИХ КРИСТАЛЛАХ, ЛЕГИРОВАННЫХ ОПТИЧЕСКИ АКТИВНЫМИ МОЛЕКУЛАМИ

(Представлено академиком АН Азербайджанской ССР Л. М. Имановым)

Структура некоторых разновидностей жидких кристаллов (ЖК), помещенных в электрическое поле, может претерпевать значительные изменения, сохраняющиеся после выключения напряжения. При этом оптические свойства преобразованной текстуры существенно отличаются от исходной. Эффект памяти, основанный на подобном переходе, обладают смеси нематических ЖК (НЖК) с холестерическими ЖК (ХЖК) [1—4], а также НЖК, легированные оптически активными немезоморфными молекулами [5]. В настоящее время наиболее изучен эффект запоминания конфокальной текстуры, которая образуется в результате турбулентного движения, вызванного электрическим полем [1—3, 5]. Однако достаточно долго может сохраняться и упорядоченное состояние молекул, возникающее вследствие индуцированного электрическим полем холестерико-нематического фазового перехода [4].

В большинстве известных работ исследуются смеси с довольно большим ($> 10\%$) содержанием оптически активного компонента (как ХЖК, так и немезоморфных молекул), что с практической точки зрения необходимо для создания относительно долговременной памяти. Изучение подобных систем не позволяет проследить за изменениями в электрооптических свойствах при последовательном переходе от плоской нематической к закрученной холестерической структуре, которая образуется по мере введения в НЖК хиральных молекул. В настоящей работе поставлена задача исследовать электрооптические свойства НЖК, легированного малым (до $\sim 4\%$) количеством хиральных добавок, а также попытаться выявить влияние типа вводимых молекул на характеристики памяти. В практическом плане такие системы со слабо закрученной надмолекулярной структурой могут быть использованы для кратковременной памяти в устройствах отображения информации.

Исследованы смеси НЖК *n*-*n*-метоксибензилиден-*n'*-бутиланилина (МББА) с ХЖК холестерилолеата (I система) и с немезоморфным *l*-ментолом (II система) при содержании последних от 0,5 до 4% по весу. Измерительная ячейка представляла собой две стеклянные пла-

стинны с прозрачными токопроводящими покрытиями, между которыми помещался слой ЖК толщиной $\sim 20 \text{ мкм}$. Основой электрооптической установки служил бинокулярный поляризационный микроскоп. Один из окуляров микроскопа был совмещен с фотоумножителем, сигнал с которого подавался на регистрирующие приборы. Такое устройство позволяло наблюдать текстуры и одновременно измерять электрооптические параметры систем.

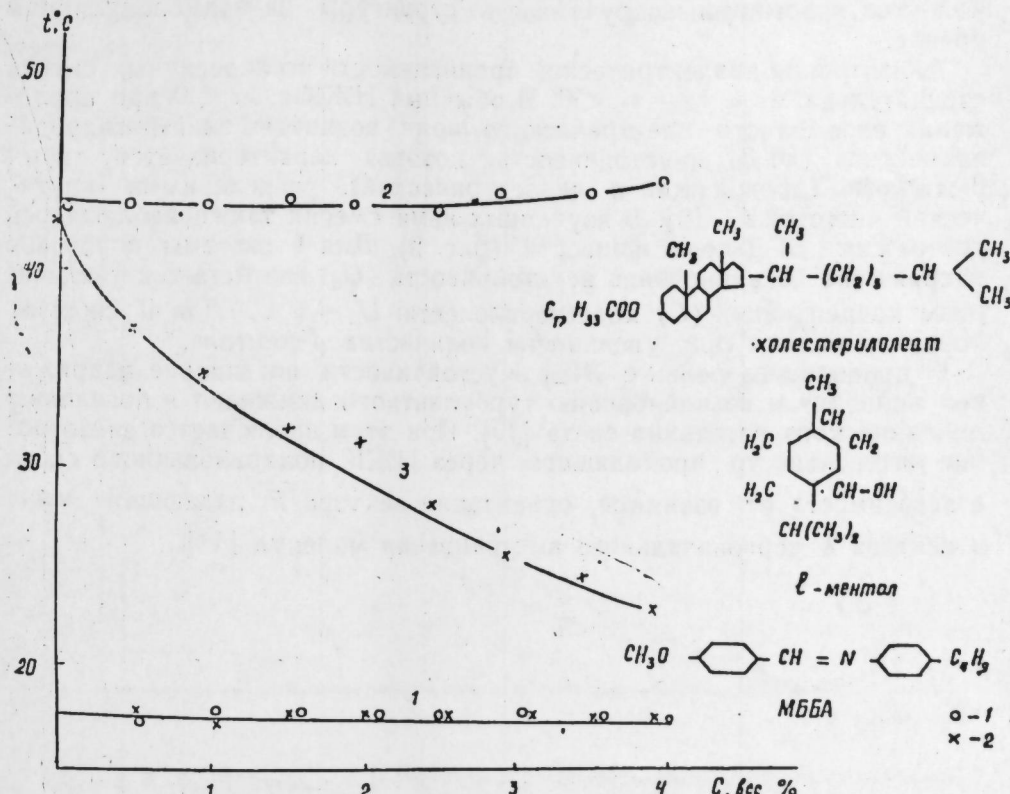


Рис. 1. Зависимости температуры фазового перехода твердый кристалл—жидкий кристалл (1) и жидккий кристалл—изотропная жидкость (2, 3) от концентрации оптически активных молекул:

1—МББА+холестерилолеат; 2—МББА+ *l*-ментол

Температура фазового перехода из твердокристаллического состояния в жидкокристаллическое для обеих систем практически не меняется с увеличением содержания добавок (рис. 1, кр. 1). Температура перехода ЖК—изотропная жидкость также мало изменяется в случае I системы (кр. 2), тогда как для II системы имеет место монотонное понижение температуры перехода и сужение интервала существования мезофазы (кр. 3). Указанное явление обусловлено, по-видимому, различием во взаимодействии между молекулами смешиваемых веществ. Известно [6], что ХЖК локально можно рассматривать как разновидность НЖК. Типом взаимодействия, определяющим взаимную ориентацию подобных молекул плоской формы, является ван-дер-ваальсово притяжение. При этом сильные ориентационные корреляции способствуют параллельному расположению длинных осей молекул НЖК и ХЖК [7], что ведет к компактной упаковке I системы. В случае II системы взаимодействие между компонентами определяется, скорее всего, водородной связью между гидроксильной группой *l*-ментола и атомом азота МББА [8]. Упаковка молекул в такой системе не столь плотная, *l*-ментол фактически разрушает нематический порядок и

понижает вязкость системы, что проявляется в смещении температуры перехода ЖК—изотропная жидкость. Спиралевидная структура в обоих случаях образуется за счет фрагментов, выступающих за плоскость молекулы: бокового радикала холестерилолеата в I системе и метильных групп *l*-ментола во II. Указанная некомпланарность создает стерическое препятствие параллельной укладке молекул в соседних слоях. Вследствие этого молекулы поворачиваются друг относительно друга на некоторый угол, формируя закрученность структуры на надмолекулярном уровне.

Анизотропия диэлектрической проницаемости исследованных смесей строительна: $\Delta \epsilon = \epsilon_{\parallel} - \epsilon_{\perp} < 0$. В обычных НЖК с $\Delta \epsilon < 0$ приложении переменного электрического поля возникает электрогидродинамическая (ЭГД) неустойчивость, которая характеризуется двумя режимами (проводящий и диэлектрический), разделенными критической частотой f_{kp} [9]. В изученных нами смесях также наблюдалось два режима ЭГД-неустойчивости (рис. 2). Для I системы пороговое напряжение возникновения неустойчивости (U_p) возрастало с увеличением концентрации (C) холестерилолеата: $U_p \sim \sqrt{C}$. Для II системы порог понижался при увеличении количества *l*-ментола.

В проводящем режиме ЭГД-неустойчивости повышение напряжения приводит к возникновению турбулентного движения и появлению динамического рассеяния света [10]. При этом наблюдается анизотропия интенсивности проходящего через НЖК поляризованного света в зависимости от взаимной ориентации вектора \vec{E} падающего луча и вектора \vec{L} первоначального выстраивания молекул [11].

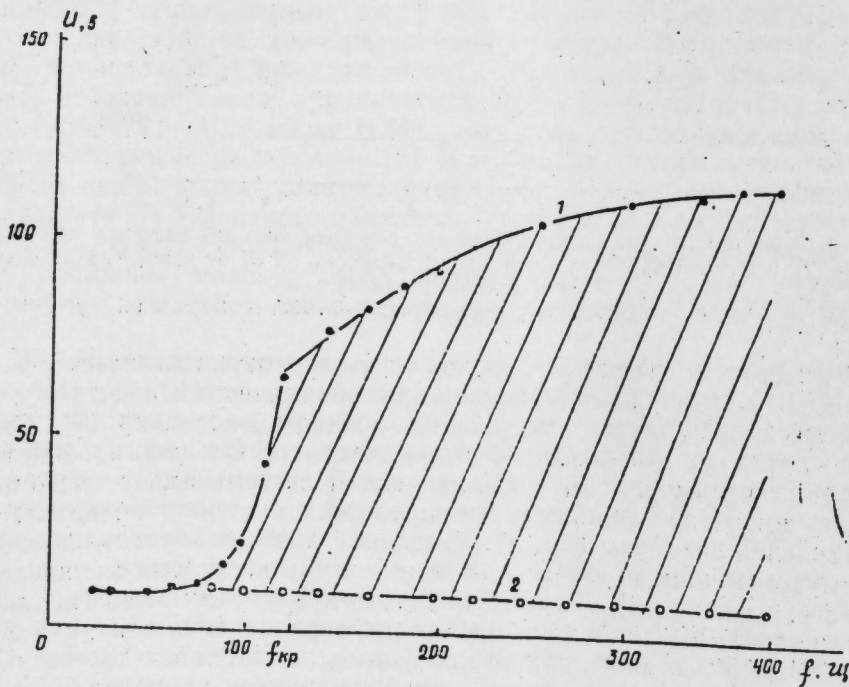


Рис. 2. Частотные зависимости порогов создания ЭГД-неустойчивости (1) и стирания памяти (2) для смеси МББА (97%) + *l*-ментол (3%).

Нами установлено, что указанная анизотропия имеет место и в диэлектрическом режиме ЭГД-неустойчивости, включая область так называемого вторичного нитевого рассеяния [12]. При повышении напряжения интенсивность проходящего света в случае $\vec{E} \parallel \vec{L}$ падает

более резко, чем в случае $\vec{E} \perp \vec{L}$ (рис. 3а). Повышение содержания оптически активного компонента ведет к уменьшению величины возникающей анизотропии. Для качественной оценки этого изменения был введен параметр $\Delta U = U_{\perp} - U_{\parallel}$, где U_{\perp} и U_{\parallel} — напряжения, при которых пропускание света соответствующей поляризации уменьшается в 2 раза. Как видно из рис. 3 б, в обоих режимах ЭГД-неустойчивости ΔU с увеличением содержания добавки монотонно уменьшается и при $\sim 3\%$ обращается в нуль, что свидетельствует о возникновении истинной турбулентности.

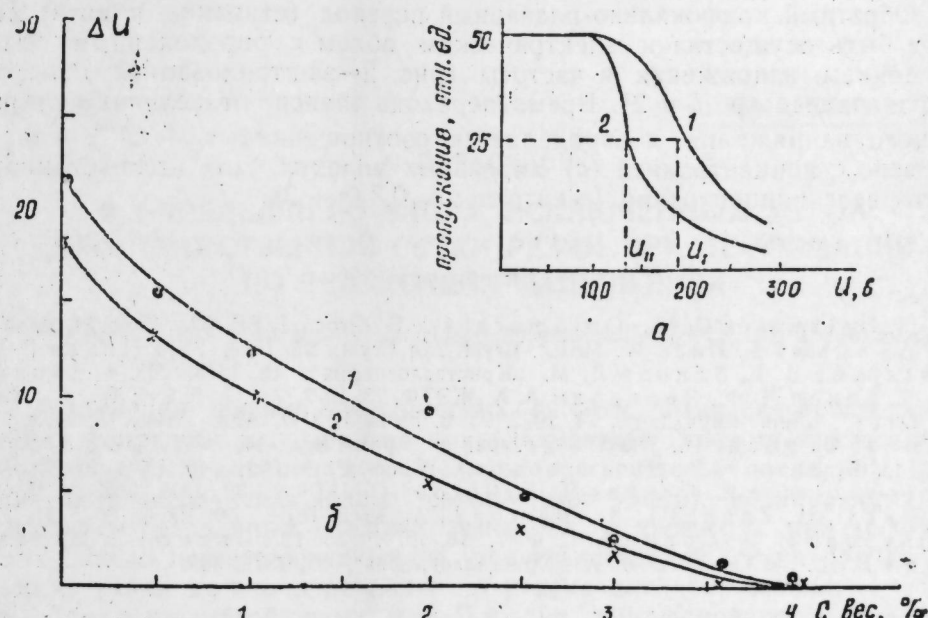


Рис. 3. а— зависимость пропускания света от приложенного напряжения в диэлектрическом режиме ЭГД-неустойчивости МББА ($f=200$ Гц):

1— $\vec{E} \perp \vec{L}$; 2— $\vec{E} \parallel \vec{L}$;

б— зависимости параметра $\Delta U = U_{\perp} - U_{\parallel}$ от концентрации *l*-ментола для проводящего (1) и диэлектрического (2) режимов ЭГД-неустойчивости:

1— $f = 20$; 2— $f = 200$ Гц

Время, необходимое для создания неустойчивости (время включения), в случае I системы растет с увеличением степени легирования, тогда как для II практически не зависит от концентрации добавки. Для всех исследованных образцов время включения уменьшается с увеличением приложенного напряжения, подчиняясь соотношению $\tau_{вкл} \sim U^{-2}$. Время сохранения неустойчивости (время выключения или память) в обоих случаях растет с увеличением содержания хиральных добавок. При этом для образцов с одинаковым концентрационным соотношением компонентов память во II системе сохраняется дольше, чем в I.

Следует отметить, что в литературе [1—3, 5] описывается эффект памяти, осуществляемый в проводящем режиме ЭГД-неустойчивости. В этом случае метастабильная текстура образуется в результате турбулентного движения, сопровождающегося динамическим рассеянием света. Нами наблюдался эффект памяти как в проводящем, так и в диэлектрическом режиме ЭГД-неустойчивости. В диэлектрическом режиме вблизи порога возникновения неустойчивости имеет место

модуляция интенсивности света, проходящего через ЖК. При этом время сохранения неустойчивости существенно зависит от фазы приложенного напряжения в момент выключения. Повышение напряжения приводит к появлению нитевидных образований, которые заполняют всю площадь ячейки. Движение нитей сопровождается явлением вторичного нитевого рассеяния света [12]. После выключения напряжения формируется структура, остающаяся стабильной в течение довольно долгого времени. Несмотря на различные механизмы создания неустойчивости в проводящем и диэлектрическом режимах, ко-нечной запоминающейся текстурой в обоих случаях является конфокальная текстура.

Обратный конфокально-планарный переход (стирание памяти) может быть осуществлен электрическим полем с определенным соотношением напряжения и частоты (рис. 2—заштрихованная область, ограниченная кр. 1 и 2). Время перехода зависит от величины стирающего напряжения и определяется соотношением $\tau_{\text{ст}} \sim U^n$, где n связано с концентрацией (c) хиральных молекул. Для исследованного интервала концентраций I -ментола $n = 0,3$ ($c + 2$).

Литература

1. Heilmeyer G. H., Goldmacher J. E. Proc. IEEE, 57, 1969, 34. 2. Dir G. A., Adams J., Haas W. Molec. Cryst. Liq. Cryst., 25, 1974, 19. 3. Чилая Г. С., Лазарева В. Т., Блинов Л. М. «Кристаллография», 18, 1973, 203. 4. Чирков В. Н., Алиев Д. Ф., Зейналлы А. Х. ЖЭТФ, 73, 1977, 761. 5. Hass W., Adams J., Dir G. Chem. Phys. Lett., 14, 1972, 95. 6. Friedel G. Ann. Phys., 18, 1922, 273. 7. Kozawaguchi H., Wada M. Japan J. Appl. Phys., 14, 1975, 651. 8. Gottlieb I., Samori B., Stremmel C. Chem. Phys. Lett., 40, 1976, 308. 9. Dubois-Violette E., Gennes P. G., Rorod O. J. Phys., 32, 1971, 305. 10. Heilmeyer G. H., Zanoni L. A., Barton L. A. Proc. IEEE, 56, 1968, 1162. 11. Самодурова И. Д., Сонин А. С. ФТТ, 16, 1974, 255. 12. Чирков В. Н. Хатевич В. И., Зейналлы А. Х. «Кристаллография», 22, 1977, 809.

АГУ им. С. М. Кирова

Поступило 6. X. 1977

В. Н. Чирков, Ч. Ф. Элиев, А. Н. Зейналлы

ОПТИК ФЭАЛ МОЛЕКУЛ АШГАРЛЫ НЕМАТИК МАЈЕ КРИСТАЛЛАРДА ЕЛЕКТРООПТИК ІДДАШ ЕФФЕКТИ

Мәгәләдә нематик маје кристалларла чүз'к мигдарда оптик фәал маддәләр гарышының эасас электрооптик хассәләре ёзрәниләшишdir. Гарышының нөвүнү бу хассәләре тә'сири мүәјжән едилмишdir. Електроһидродинамик дајаныгсызылыгының диелектрик областында яддаш еффекти ашкара чыхарылыш вә тәсвир едилмишdir.

V. N. Chirkov, D. F. Aliyev, A. Kh. Zeinally

ELECTRO-OPTICAL STORAGE EFFECT IN THE MIXTURES OF NEMATIC LIQUID CRYSTALS WITH OPTICAL ACTIVE DOPANTS

The electro-optical properties of the mixtures of nematic liquid crystals with optical active dopants was investigated.

The behaviours of mixtures with dopants of cholesteroleat and nonmesomorphic *I*-mentol was compared.

It was found and described the storage effect in the dielectric regime of the electrohydrodynamic instability.

АЗӘРБАЙЧАН ССР ЕЛМЛӘР АКАДЕМИЯСЫНЫН МӘРҮЗӘЛӘРИ

ДОКЛАДЫ АКАДЕМИИ НАУК АЗЕРБАЙДЖАНСКОЙ ССР

ТОМ XXXIV ЧИЛД

№ 2

1978

УДК 678.01

ФИЗИКА ПОЛИМЕРОВ

А. М. РАСУЛОВ

К ОПРЕДЕЛЕНИЮ ЧИСЛА ИСКЛЮЧЕННЫХ УЗЛОВ ПРОСТРАНСТВЕННОЙ СЕТКИ РЕЗИН ПРИ ДЕФОРМАЦИИ ПО РЕЛАКСАЦИИ НАПРЯЖЕНИЯ

(Представлено академиком АН Азербайджанской ССР Л. М. Имановым)

Изменение физико-механических свойств резин связано в основном с разрывом или сшивкой цепей их сетки. Поэтому представляет определенный интерес не только оценка густоты последней, но и значение числа исключенных связей (или узлов), возникающих под действием различных внешних факторов, в частности при деформации. Число исключенных узлов пространственной сетки при деформации резин можно определить по релаксации напряжения.

Для этих целей нами использовано предложенное автором [1] двухпараметрическое уравнение

$$\sigma = E_{\min} (\alpha - \alpha^{-2}) \exp \frac{(\alpha_m - \alpha)^2}{4 \alpha_m - 3}, \quad (1)$$

где σ —напряжение, рассчитанное на сечение недеформированного (исходного) образца резины; α —относительная длина, равная отношению длины деформированного образца к его начальной длине; α_m и E_{\min} —основные параметры, характеризующие механические свойства резин. Причем E_{\min} связано с числом узлов N в единице объема пространственной сетки резины, т. е.

$$E_{\min} = NkT; \quad (2)$$

здесь k —постоянная Больцмана; T —абсолютная температура, α_m —растяжимость сетки резины. Значения E_{\min} и α_m легко определяются из зависимостей $\frac{\sigma}{\alpha - \alpha^{-2}}$ от α , построенных на основе опытных данных по деформации растяжения.

На рис. 1 приведена зависимость $\frac{\sigma}{\alpha - \alpha^{-2}}$ от α , на рис. 2—деформация растяжения образца резины, а также релаксации ее напряжения.

Как известно, небольшое удлинение наполненной резины может вызвать разрыв некоторых связей [2]. В результате происходит перераспределение напряжения, характеризующееся спадом последнего при сохранении постоянной длины образца.

Количество разорванных связей (исключенных узлов) пространственной сетки тесно связано со степенью деформации растяжения образца резины.

Предположим, что напряжение образца резины за время t спало со значения $\sigma(0)$ до значения $\sigma(t) = \sigma_\infty$ вследствие наличия исключенных узлов при деформации (рис. 2, кр. 1 и 2). $\sigma_\infty = \sigma(t)$ можно определить методом, предложенным Г. М. Бартеневым [3]. При этом число узлов в единице объема пространственной сетки уменьшается на ΔN ; из первоначальной сетки остается $N(t)$ узлов, которые поддерживают в образце напряжение $\sigma(t)$. Возьмем резиновый образец с такой сеткой, которая имеет $N(t)$ узлов и еще не подверглась разрыву. Деформируем его до степени удлинения α (рис. 2, кр. 3). В этом случае α_m^1 будет больше α_m .

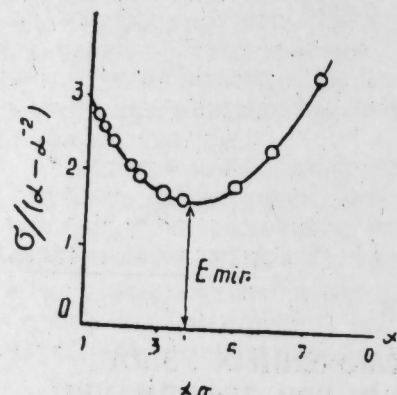


Рис. 1. Зависимость $\frac{\sigma}{\alpha - \alpha^{-2}}$ от α и определение E_{min} и α_m для резин

Для расчета ΔN приведем следующие два уравнения деформации растяжения для кр. 1 и 3:

$$\sigma(0) = N(0) \kappa T (\alpha - \alpha^{-2}) \exp \frac{(\alpha_m - \alpha)^2}{4 \alpha_m - 3}, \quad (3)$$

$$\sigma(t) = N(t) \kappa T (\alpha - \alpha^{-2}) \exp \frac{(\alpha_m - \alpha)^2}{4 \alpha_m - 3}. \quad (4)$$

Здесь

$$N(t) = N(0) - \Delta N. \quad (5)$$

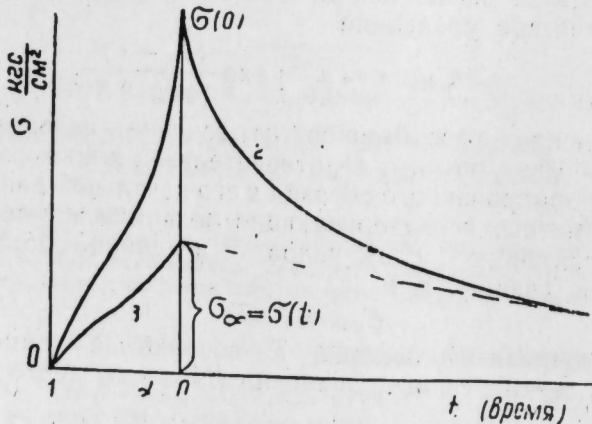


Рис. 2. 1, 3 — деформация растяжения; 2 — релаксация напряжения

Из уравнений получим

$$\Delta N = N(0) \left\{ 1 - \frac{\sigma(t)}{\sigma(0)} \exp \left[\frac{(\alpha_m - \sigma)^2}{4 \alpha_m - 3} - \frac{(\alpha_m - \sigma)^2}{4 \alpha_m - 3} \right] \right\}. \quad (6)$$

$N(0)$ определяется из данных опыта по формуле (2). В случае малых деформаций можно приблизительно принять

$$\alpha_m' \approx \alpha_m. \quad (7)$$

Тогда из (6) следует соотношение

$$\Delta N = N(0) \left[1 - \frac{\sigma(t)}{\sigma(0)} \right]. \quad (8)$$

Табольский [4], применив классическое уравнение, дающее соотношение между напряжением и относительным растяжением в случае мягких резин, для определения скорости деструкции резин, т. е. числа разрывов по местам поперечных связей (число исключенных узлов) в единице объема за время химической релаксации их напряжения, получил такую же формулу, как (8).

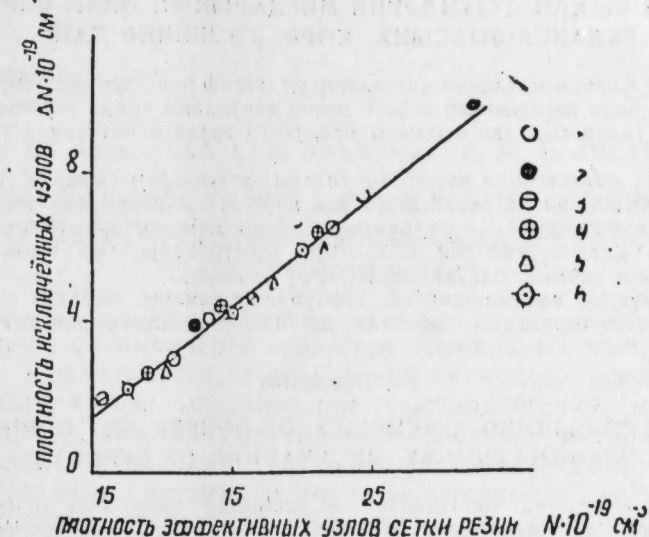


Рис. 3. Зависимость плотности исключенных узлов ΔN от плотности $N(0)$ общих узлов пространственной сетки резин с различным содержанием и типом сажи:
1—НК; 2—хлоропрен; 3—СКМС-30 АРКМ-15; 4—СКС-30 АРКМ-15; 5—СКС-30; 6—СКБ-55 ср.

Классическое уравнение, использованное Табольским, не применимо для больших деформаций и для усиленных резин. Поэтому формулу (6) по сравнению с (8) можно принять как более общую, охватывающую малые и большие деформации всех типов резин.

Учет экспоненциального множителя в формуле (6) дает значение исключенных узлов в единице объема, на 12–20% больше, чем в формуле (8), что объясняется свойствами резины при больших деформациях.

Опыты показывают, что $\frac{\sigma(t)}{\sigma(0)}$ почти не зависит от содержания активных наполнителей (сажи) и природы резины. Поэтому ΔN должно возрастать прямо пропорционально $N(0)$ для саженаполненных резин, что и подтверждается нашими данными (рис. 3).

Выводы

Предлагается более общая формула для расчета исключенных узлов пространственной сетки при деформациях саженаполненных резин по релаксации их напряжения.

Литература

- Расулов А. М. Мат-лы II Всесоюз. симп. по релаксационным явлениям в полимерах, т. I, 1972.
- Баранов М. К. Механохимия полимеров. М., 1961.
- Берген Г. М., Вишницкая Л. А. „Коллоид. ж.“, 18, 1956.
- Табольский А. Свойства и структура полимеров. М., „Химия“, 1964.

АГУ им. С. М. Кирова

Поступило 11. X 1977

А. М. Расулов

РЕЗИНДАРЫН ДЕФОРМАСИЯСЫНДА ФЭЗА ТОРУНДАКЫ СЫРАДАН ЧЫХАН ДҮҮҮНДАРЫН МИГДАРЫНЫН ОНЫН КЭРКИНИЛИК РЕЛАКСАСИЯСЫНА КӨРӨ ТӘ'ЖИНИШІ ДАЙР

Резиндарын физики-механики хассәләрү, мұхтәлиф нөв һаричи тә'сир нәтижесинде хејли дајишир. Бело дајишимәләр әсасын резин торундакы енина рабитәләрин (дүүнләрин) мүәффән гәдер сырдадан чыхмасы ила, яхуд әлавә рабитәләрин йорамасы ила элагодардыр.

Деформасија нәтижесинде резин торундакы дүүнләрин сырдадан чыхмаларының сыйхылыгының онын кэргиинлик релаксасијасына көрә (6) дүстүру ила несабалығы олар. Кичик деформасијаларда (6) дүстүрудан, резинин кимәлен кэргиинлик релаксасијасында сырдадан чыхан дүүнләрин сыйхылыгына (деструксија сүр'еттін) тә'жин етмәк учун Тоболскиниң первиши олдугу (8) дүстүру аныншы.

Могаләде мүәффән едиаминшыдир ки, деформасија заманы сырдадан чыхан дүүнләрин сыйхылыгы резин торундакы эффектин дүүнләрин сыйхылыгындаи хэтти асылышыдир.

A. M. Rasulov

THE EXCLUDING ASSEMBLIES OF RUBBER NET DURING DEFORMATION BY RELAXATION OF EFFORTS

The formula is offered for counting of excluding assemblies of the rubber net during deformation by relaxation of efforts in the work. It is denoted that near small deformations this formula comes into Tobolsky's formula for the determination of number of torn transversed connections in the union of the volume of rubber net for the time of relaxation.

АЗЭРВАДЖАН ССР ЕЛМЛӘР АКАДЕМИЈАСЫНЫН МӘРҮЗӘЛӘРИ

ДОКЛАДЫ АКАДЕМИИ НАУК АЗЕРБАЙДЖАНСКОЙ ССР

ТОМ XXXIV ЧИЛД

№ 2

1978

УДК 621.313.333

ЭНЕРГЕТИКА

Академик АИ Азэрб. ССР А. А. ЭФЕНДИЗАДЕ, Б. А. ЛИСТЕНГАРТЕН К ВОПРОСУ ИССЛЕДОВАНИЯ ОРТИМАЛЬНОГО УПРАВЛЕНИЯ ЧАСТОТНО-РЕГУЛИРУЕМЫМ АСИНХРОННЫМ ЭЛЕКТРОПРИВОДОМ

Определение оптимального характера переходных процессов, обеспечивающих в зависимости от требований технологического процесса такие показатели, как максимальное быстродействие, минимальные потери, является важной практической задачей, которой в теории электропривода в последние годы уделяется значительное внимание.

К перспективным системам частотно-регулируемого электропривода относятся системы, основанные на координатной трансформации и позволяющие придать асинхронному приводу свойства привода постоянного тока [1, 2]. Рассмотрим формирование оптимальных траекторий в таких системах.

При решении задачи оптимального управления по быстродействию определяются управляющие воздействия, обеспечивающие наименьшее время достижения заданной частоты вращения ротора.

Исходя из уравнений для роторной цепи, отнесенной к координатной системе, которая ориентирована по полю ротора и вращается с переменной угловой скоростью ω_k [3], можно записать

$$\dot{\varphi} = \omega - \omega_k, \quad (1)$$

$$\begin{aligned}\dot{\psi}_r &= -\alpha_r \psi_r + \kappa_r r_i i_1, \\ \dot{\omega} &= \frac{1}{2H} (\kappa_r \psi_r i_2 - M_c),\end{aligned}$$

где i_1 , $i_2 = \frac{1}{\kappa_r r_i} \frac{\omega_k - \omega}{\omega_0}$. ψ_r —составляющие вектора тока статора, выбранные в качестве управляющих воздействий, ψ_r —потокосцепление ротора, ω —частота его вращения, φ —угол поворота.

На фазовую координату φ не наложено никаких ограничений, и φ не входит в правые части второго и третьего уравнений, в силу чего φ не влияет на решение задач, которое определяется на основе второго и третьего уравнений системы (1). На основе принципа максимума Понтрягина находим $i_1 = i_{1\text{лон}} = \text{const}$, $i_2 = i_{2\text{лон}} = \text{const}$, т. е. управляющие воздействия пригимают предельно допустимые значения. Таким образом, задача оптимизации по быстродействию связана со

стабилизацией токовых составляющих, что можно осуществить на основе принципов систем с переменной структурой.

Для электроприводов с повторно-кратковременными режимами и большой частотой включения при оптимизации работы определяющим фактором является ограничение по нагреву. В связи с этим актуальной, имеющей важное практическое значение становится задача управления асинхронным электроприводом в динамике при оптимизации по нагреву.

Выражение для суммарных электрических потерь в обмотках машины можно представить в следующем виде:

$$P = i_s^2 R - \frac{1}{r_r} \dot{\psi}_r^2 - 2 \frac{\alpha_r}{r_r} \psi_r \dot{\psi}_r - \frac{\alpha_r^2}{r_r} \psi_r^2, \quad (2)$$

где

$$i_s^2 = i_1^2 + i_2^2, \quad i_1 = \frac{1}{\kappa_r r_r} (\psi_r + \alpha_r \dot{\psi}_r),$$

$$R = r_s + \kappa_r^2 r_r, \quad c_r = \frac{r_r}{x_r}, \quad \kappa_r = \frac{x_m}{x_r}.$$

На основе методов вариационного исчисления [4] решаем изопериметрическую задачу, связанную с обеспечением минимума нагрева при выполнении заданной программы регулирования частоты вращения.

Искомые функции i_1 , i_2 , ψ_r , ω определяются из системы уравнений Эйлера, где промежуточная функция F , с учетом соотношений (1) и (2), принимает вид

$$\begin{aligned} F = & i_s^2 R - \frac{1}{r_r} \dot{\psi}_r^2 - 2 \frac{\alpha_r}{r_r} \psi_r \dot{\psi}_r - \frac{\alpha_r^2}{r_r} \psi_r^2 + \lambda_0 \dot{\omega} + \\ & + \lambda_1 (\psi_r + \alpha_r \dot{\psi}_r - \kappa_r r_r i_1) + \lambda_2 (2 H \dot{\omega} - \kappa_r \psi_r i_2 + M_c). \end{aligned}$$

На основании решения системы уравнений Эйлера получаем

$$\lambda_1 = \frac{2 R}{\kappa_r r_r} i_1, \quad \lambda_2 = \frac{2 R \beta}{\kappa_r^2 r_r} = \text{const}; \quad (4)$$

здесь $\beta = \frac{\kappa_r r_r i_2}{\psi_r}$ — величина абсолютного скольжения.

Таким образом, исходя из соотношений (4), устанавливаем, что пуск двигателя при минимизации нагрева осуществляется при постоянной величине абсолютного скольжения $\beta = \text{const}$.

С учетом уравнений Эйлера имеем дифференциальное уравнение (5), решение которого определяет оптимальную диаграмму для потокосцепления:

$$\frac{d^2 \psi_r}{dt^2} + \frac{\kappa_r r_r \kappa_1 - \alpha_r^2}{1 - \kappa_r r_r \kappa_2} \cdot \psi_r = 0. \quad (5)$$

Корни характеристического уравнения могут быть действительными, минимыми и нулевыми, причем их нулевое значение получается при условии

$$\kappa_r r_r \kappa_1 (\beta) - \alpha_r^2 = 0, \quad (6)$$

где

$$\kappa_1 (\beta) = \frac{\kappa_r}{R} \left(\alpha_r^2 + \frac{R \beta^2}{\kappa_r^2 r_r} \right),$$

$$\kappa_2 = \frac{\kappa_r}{R}.$$

Из уравнения (6) имеем граничную величину абсолютного скольжения β_{gr} , отделяющую область минимых и действительных корней.

При минимых корнях

$$\psi_r = c_1 \cos \gamma t + c_2 \sin \gamma t. \quad (7)$$

При действительных корнях

$$\psi_r = c_2 \operatorname{ch} \gamma t + c_3 \operatorname{sh} \gamma t, \quad (8)$$

где $c_1 = \psi_r (0)$. Постоянная c_2 определяется условием задачи. При неподвижных границах в предположении, что заданы значения $\psi_r (0)$ и время пуска t_n , условия достаточны для нахождения произвольных постоянных.

При подвижных границах, когда задана величина $\psi_r (0)$, время пуска t_n и постоянная c_2 определяются на основании уравнения движения электропривода и условия трансверсальности

$$\dot{\psi}_r + \alpha_r \psi_r = 0|_{t=t_n}.$$

Проведенные исследования показали, что при $\beta < \beta_{gr}$ корни характеристического уравнения получаются действительными. При этом показано, что в случае решения задачи с подвижными границами совместного решения уравнений в области $t > 0$ нет. Установлено, что при задании любого времени пуска нельзя получить оптимальные диаграммы, при которых функция потокосцепления лежит в допустимых границах. Следовательно, при $\beta < \beta_{gr}$ оптимальные траектории получаются "склеенными" из кусков экстремалей и кусков граничных кривых. Практически в этом случае приходится осуществлять режим $\beta = \text{const}$ и $\psi_r = \text{const}$. Если пренебречь рассеиванием, то потокосцепление ротора идентично потокосцеплению статора. При пренебрежении электромагнитными переходными процессами оптимальное управление также заключается в поддержании частоты ротора постоянной при постоянном магнитном потоке [4].

При поддержании абсолютного скольжения и потокосцепления постоянными составляющие тока статора также будут постоянными, а следовательно, $i_s = \text{const}$.

При таком режиме время пуска определяется заданными величинами β и ψ_r :

$$t_n = \frac{2 H r_r \omega_{\text{кон}}}{\beta \psi_r^2 - M_c r_r}, \quad (10)$$

потери энергии — из соотношения

$$W = \int_0^{t_n} \left[i_s^2 R - \frac{\alpha_r^2}{r_r} \psi_r^2 \right] dt. \quad (11)$$

Режим постоянства тока статора $i_s = \text{const}$ может быть осуществлен при частотно-токовом управлении в случае питания асинхронного двигателя от автономного инвертора тока. Оптимальные диаграммы получаются на основе расчета переходного процесса при $i_s = \text{const}$, который удобно проводить при представлении уравнений асинхронного двигателя в системе координат α , β , ориентированной по оси тока статора. В этом случае $i_{s\alpha} = i_s$, $i_{s\beta} = 0$. При постоянстве абсолютного скольжения уравнения асинхронного двигателя для цепи ротора принимают вид

$$\frac{d \psi_{r\alpha}}{dt} = \alpha_r x_m i_s - \alpha_r \psi_{r\beta} + \beta \psi_{r\alpha}, \quad (12)$$

$$\frac{d \psi_{r\beta}}{dt} = - \alpha_r \psi_{r\beta} - \beta \psi_{r\alpha}.$$

Уравнение движения —

$$\frac{d \omega}{dt} = \frac{\kappa_r}{2 H} \left[- \psi_{r\beta} i_s - \frac{1}{x_m \alpha} M_c \right]. \quad (13)$$

$$\text{где } \sigma = \frac{x_s x_t - \lambda_m^2}{x_s x_t}.$$

Уравнения (12) и (13) получены с учетом следующих соотношений для составляющих потокосцепления статора:

$$\phi_{s\theta} = x_s \sigma I_s + \kappa_r \psi_{r\theta}, \quad \phi_{s\varphi} = \kappa_r \psi_{r\varphi}.$$

На основе этих выражений составлены цифровые модели системы и рассчитаны оптимальные траектории при различных заданных условиях. Анализ полученных диаграмм позволяет выбрать и установить оптимальный режим работы частотно-управляемого асинхронного электропривода в зависимости от требований технологического процесса.

Выводы

Оптимизация переходных процессов частотно-регулируемых электроприводов по быстродействию и минимуму потерь приобретает важное значение для электроприводов с повторно-кратковременным режимом, практически работающих непрерывно в переходном режиме. Для системы с координатной трансформацией при векторном управлении стабилизация составляющих тока статора обеспечивает оптимизацию режима по быстродействию. Рассмотрены задачи оптимизации по нагреву для двух случаев при подвижных и неподвижных границах. Установлено, что оптимизация режима по минимуму нагрева осуществляется при постоянстве величины абсолютного скольжения.

Литература

- I. Rötter W., Rörrer H., Stevens Zs., 1971, № 10, 2, Днепровский Л. Х., Тарасенко Л. М., Куценко И. С., Вабичев Ю. В., "Электричество", 1975, № 9, 8, Шрейнер Р. Т., Карагодин М. С., "Изв. вузов. Электромеханика", 1973, № 9, 4, Петров Ю. П., Оптимальное управление электрическим приводом с учетом ограничений по нагреву, М., "Энергия", 1971.

Институт энергетики им. Н. Г. Бенмана

Поступило 2, XI 1977

А. А. Офандиваде, В. А. Листенгарден

ТӨВЛИК ИЛД ТӘҢСИМ ЕДИЛӘН ІАСИНХРОН ЕЛЕКТРИК ИНТИГАЛЫНЫШ ОПТИМАЛ ИДАРӘЕДИЛМӘСИНИИ ТӘДГИГИҢДА ДАЙР

Мәғлүмәдә төвлик наситасын сур'ати тәнәм едилән асинхрон мұнәсүрлік кечид процесстер чөлдишлама бахымындан оптимальлық тәдгиг едилір. Ву мәсәләнин һәлли статорун магнит сәнбесінә инебәтән өзарајыны ориентасијасы принциниңда ғурулышуда.

Понтрјагинин максимум принципи өсасында мүәжжіл едилмешдір ки, статор өзарајыларының тәншіледәнләрі бурахылан ан յүксек гүмәтте малык олмалыдыр, јәни $I_1 = I_{1\text{опт}} = \text{const}$, $I_2 = I_{2\text{опт}} = \text{const}$.

Тәкрап-ғысамудлаттың режимде ишләжән электрик интигальларының актуал масәләсі аралығыныңда шамдір ки, бу да ғына маңыздырылған оптималь динамик шәрләндинде идарәелілік электрик интигальлары или әлагадарлары,

Актарамын I_1 , I_2 ж. функсијалары Қылар тәнликтар системи наситасын та'жин едилір. Бурада аралығ функсијасы \mathcal{J} аралығындағы изопериметрик масәлә учын белгі жазылды.

$$P = P_s R = \frac{1}{r_f} \psi_i^2 = \frac{a_L}{r_f} \psi_i \psi_r = \frac{a_L^2}{r_f} \psi_r^2 + I_{\text{ф}}^2 +$$

$$+ \lambda_1 (\psi_r \psi_i - \kappa_r r_f I_1) + \lambda_2 (2 \pi f - \kappa_r \psi_r I_2 + M_0),$$

Мәғлүмәдә һамчинин сарғадлары дағылан на дәйшишмән шарт үчүн масәлевинин һәлли тәдгиг едилмешдір. Мұтләг сурушманин гүмәті $R = \text{const}$ сабын өндүргү һалда мұнәсүрлік минимум иткіләр шәрләндинде ишә салынмышдыр.

А. А. Офандиваде, В. А. Листенгарден

A STUDY OF OPTIMAL CONTROL IN ADJUSTABLE SPEED INDUCTION MOTOR DRIVE SYSTEM

This paper describes a problem of the induction motor optimal control by frequency-regulating on high running speed. The described scheme of the induction motor control contains two independent control values as follows: the stator currents in two perpendicular axes, rotating with magnetic flux linked with rotor winding. The derived relationships form the basis for determination of the time-optimal control of drives with induction motor. The problem is solved on the base of the calculus of variations. This case provides minimum losses in starting period of A. C. motor.

УДК 551. 594. 221. 001. 55

ЭНЕРГЕТИКА

Член корр. АН Азерб. ССР А. А. АЛИЗАДЕ, Г. А. ГАДЖИЕВ

О НЕКОТОРЫХ РЕЗУЛЬТАТАХ ИССЛЕДОВАНИЯ
ПРЕДГРОЗОВЫХ И ГРОЗОВЫХ ЯВЛЕНИЙ В ПУНКТЕ ШУША

Точные сведения о грозовых явлениях являются исходными при проектировании грозоупорности сооружений и определяют целесообразность капиталовложений для реализации тех или иных грозозащитных мероприятий. Задачи оптимизации защиты ряда объектов от молний требуют не только знания расчетных параметров грозовой деятельности и молний, но и умения с достаточной достоверностью предсказывать зарождение и приближение грозы к защищаемому объекту с минимальными затратами. Эти обстоятельства явились определяющими при разработке и изготовлении аппаратуры для проведения инструментальных наблюдений. С помощью аппаратуры регистрируются:

1. Нормальная напряженность электрического поля атмосферы у земли.
2. Ток короны с острия у земли в пределах $0.9 \cdot 10^{-10} - 3.4 \cdot 10^{-6}$ а.
3. Ток короны с острия на высоте 10 м от земли в пределах $5 \cdot 10^{-5} - 5 \cdot 10^{-4}$ а.
4. Проводимость приземного слоя воздуха.
5. Продолжительность, интенсивность и повторяемость гроз.
6. Число и многокомпонентность РМ (разрядов молний).
7. Индуцированные напряжения при РМ на плоскостных антенах.
8. Индуцированные напряжения при РМ на рамочных антенах.
9. Ортогональные составляющие электромагнитного излучения канала РМ.
10. Интенсивность светового излучения при РМ.
11. Акустическое давление при РМ (гром).
12. Удаление до РМ.
13. Статические снимки РМ.
14. Температура и относительная влажность воздуха.

В соответствии со скоростями протекания регистрируемых параметров, временные характеристики которых изменяются от долей секунды до многих часов, аппаратура подразделена на три вида. К первому относятся приборы с перьевыми самопишущими устройствами—Н37, Н349, Н342, ЭП со скоростью протягивания диаграммной

бумаги 180 мм/ч, а также счетчики разрядов молний ПРГ системы ГГО им. Воейкова, СРМ и СРКМ—системы АзНИИЭ им. И. Г. Есмана и типовые метеорологические приборы с суточной диаграммной бумагой. Эти регистраторы работают круглосуточно и собирают информацию о состоянии атмосферы в хорошую погоду, в предгрозовые моменты и во время гроз, позволяя судить о ходе изменения электрических и метеорологических параметров атмосферы за многие часы до наступления грозовых явлений.

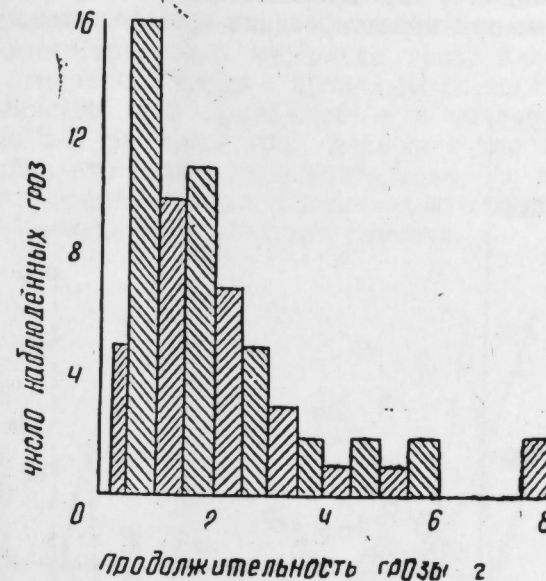


Рис. 1. Гистограмма продолжительности гроз в пункте Шуша по инструментальным данным

Ко второму виду регистрирующей аппаратуры относятся многоканальные осциллографы Н700 со скоростями протягивания диаграммной бумаги 4 и 40 мм/сек, а также фоторегистраторы РФК-5 с лентопротяжными устройствами, обеспечивающими непрерывное движение пленки со скоростью 40 мм/сек. Измерительные каналы осциллографов запараллелены и позволяют регистрировать во время грозы синхронно на скоростях 4 и 40 мм/сек напряженность электрического поля, ток короны с острия, индуцированные напряжения на плоскостных и рамочных антенах, акустическое давление (гром) и световое излучение при РМ, а также метки времени и метки о синхронном срабатывании фоторегистраторов и скоростных электронных осциллографов. Собираемая информация дает возможность определить повторяемость РМ, их продолжительность, многокомпонентность и количество в течение грозы, расстояние до РМ, величины зарядов, нейтрализуемых при РМ, амплитудное распределение индуцированных на антенах напряжений, соотношение параметров первой и последующих компонент РМ, статические снимки каналов первой и последующих компонент РМ и их линейные размеры и траектории и т. д.

Наконец, для регистрации процессов в разрезе времени РМ служат скоростные электронные осциллографы ВМ-430 со скоростью развертки 10 мсек/см и пятилучевой С1-33 со скоростью развертки 5-50 мксек/см. Осциллограф ВМ-430 регистрирует весь РМ, а С1-33 разворачивает каждый компонент, причем на один канал поступает сигнал от плоскостной антенны, на другой от фотодатчика, а на три

остальные—от ортогонально ориентированных идентичных рамочных антенн.

Вышеописанная аппаратура используется в полевой лаборатории АзНИИЭнергетики, где на протяжении ряда лет в весенние и летние месяцы ведутся инструментальные наблюдения за формированием и развитием грозовых явлений и осуществляется сбор статистических материалов по расчетным параметрам грозовой деятельности и разряда молнии. Нижеприводимые результаты наблюдений, будучи характерными для условий с преобладающими местными грозами, могут быть использованы при проектировании грозозащиты и в других горных условиях.

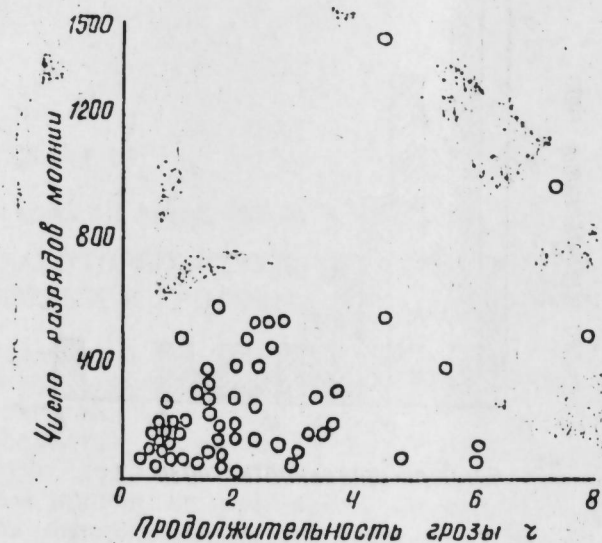


Рис. 2. Корреляционное поле продолжительности грозы и числа разрядов молнии.

Пункт наблюдения расположен на восточном склоне Малого Кавказа на высоте 1400 м над ур. м., где среднее число грозовых дней в год, по многолетним наблюдениям метеостанции „Шуша“, составляет 37, а среднее число грозовых часов в год—76 [1]. В годы максимальной интенсивности грозовой деятельности число дней с грозой в год достигает 58. За последние два десятилетия максимум грозовой деятельности был наблюден в 1963 и 1972 гг., когда число дней с грозой в год составляло около 50. Отмечается связь числа дней с грозой в год с годовыми климатическими вариациями по республике. Например, минимальное число наблюденных дней с грозой в 1970 г. обусловлено исключительной засушливостью и отсутствием осадков на Карабахской равнине и в примыкающих районах.

Наибольшее число гроз падает на май—июнь и носит местный внутримассовый характер. В указанные месяцы максимума интенсивности грозовой деятельности почти ежедневно можно наблюдать образование и рост кучевых облаков в горах южнее и юго-западнее полевой лаборатории. Образование и рост облаков начинается в первом половине дня и к 12–13 ч охватывает весь горизонт в направлении гор. В большинстве случаев отмечается опережающий рост облака в виде „протуберанца“ в узком секторе, который в дальнейшем переходит в грозовое облако. Трасса движения гроз практически совпадает с диаграммой повторяемости направлений ветра для пункта Шуша [1], имеющей резкий максимум в южном направлении. Таким

образом, грозы, сформированные в горах, вместе с потоком холодных масс воздуха с гор движутся в северном и северо-восточном направлениях, в зрелой стадии проходят над пунктом наблюдения, а далее выходят на Карабахскую равнину и Кура-Араксинскую низменность.

Суточный ход грозовой активности наглядно иллюстрирует связь грозовой деятельности с солнечной активностью. Почти все грозы наблюдаются в послеобеденное и ночное время, несколько отставая от максимума солнечной активности. Чаще всего грозы начинаются около 18 ч. Продолжительность их меняется в весьма широких пределах. Гистограмма распределения продолжительности гроз приведена на рис. 1. Зарегистрировано несколько гроз, длящихся более 7 ч. Вместе с тем отмечались грозы с продолжительностью не более получаса. Большинство гроз продолжается в течение 2,5–1 ч, около 50%—от 0,5 до 2 ч. На долю гроз, длящихся более 3 ч, приходится 20%. Характерно, что самые продолжительные из них имели место при вторжении фронтов, когда грозами охватывались весь восточный склон Малого Кавказа и Карабахская равнина.

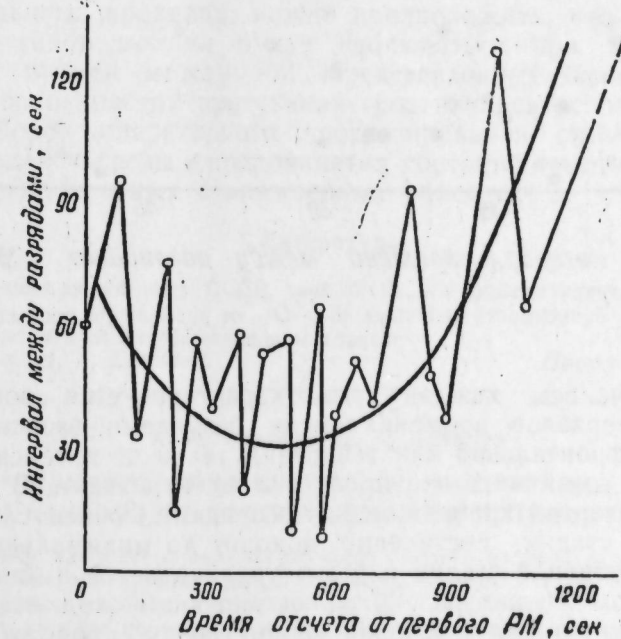


Рис. 3. Изменение интервала времени между разрядами в течение грозы.

Число РМ (междублочные и наземные) в одной грозе в наблюденных случаях изменяется от 25 до 1429. Около 60% гроз генерируют от 10 до 200 РМ. Число гроз с не более 100 РМ составляет 30%. В 25% случаях можно ожидать более 300 РМ. Четкая связь между продолжительностью грозы и числом РМ в ней не обнаружена. Корреляционное поле их зависимости приведено на рис. 2. Как видно, продолжительность грозы не является количественной мерой грозовой активности. Грозы с одинаковой продолжительностью могут генерировать разное число РМ. Так, гроза с малой продолжительностью может генерировать большее число РМ, нежели более продолжительная.

Основной показатель интенсивности грозы—частота разрядов молний или обратная ей величина—интервал времени между разрядами изменяется как от грозы к грозе, так и в течение одной грозы. В

30% случаях промежутки времени между разрядами не превышают 50 сек. Однако наблюдались малоинтенсивные грозы, когда появление разрядов отмечалось через 3 с лишним минуты. В 50% случаев разряды следуют менее чем через 10 сек. На долю интервалов менее 5 сек приходится 33,2%.

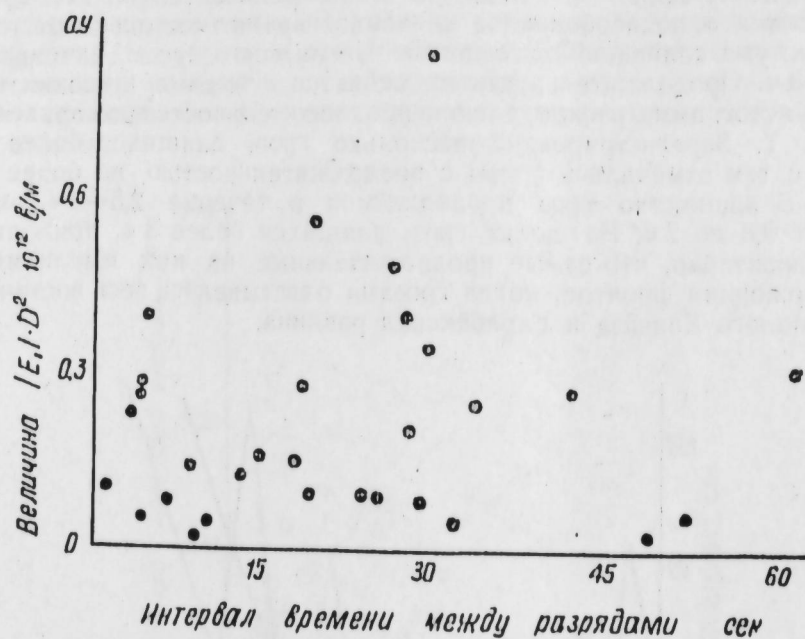


Рис. 4. Зависимость величины $|E_1| \cdot D^2$ от времени до предыдущего разряда молнии.

Как отмечалось, каждая гроза характеризуется своим спектром разброса интервалов времени между разрядами, зависящим как от типа грозы (фронтальная или тепловая), так и от интенсивности формирования и развития в ней процессов электризации. В течение одной грозы интервал времени между разрядами, сравнительно большой в начальной стадии, постепенно доходит до минимальных значений в наиболее активной стадии и резко увеличивается в стадии затухания. Примером служит рис. 3, иллюстрирующий ход изменения частоты разрядов молний в течение одной грозы продолжительностью около 20 мин. На диаграмме хорошо видно чередование более продолжительного интервала между разрядами с короткими, объясняющим возникновением разрядов в различных частях грозового облака. Сделана попытка проанализировать наличие связи между предразрядной напряженностью электрического поля и зарядом, нейтрализуемым РМ, с интервалом времени до предыдущего РМ. Корреляционное поле зависимости напряженности электрического поля в месте наблюдения непосредственно перед разрядом молний от интервала времени до предыдущего разряда, без учета удаленности до РМ, не претендует на объяснение количественных связей, иллюстрирует макроскопические значения напряженности поля на участке 15–30 сек спектра разброса времени между разрядами. При временах, затраченных на формирование РМ, меньших и больших этого участка, напряженность электрического поля имеет меньшие величины. Поскольку наблюдавшиеся разряды находились на различных удалениях от места наблюдения, и напряженность поля по мере удаления убывает квадратично, то, для того чтобы исключить влияние рассто-

яния на общую картину, рассмотрим зависимость $|E| \cdot D^2$, где E —предразрядная напряженность поля, а D —расстояние до РМ, приравниваемое к расстоянию до предполагаемого центра заряда. Это произведение пропорционально эквивалентному заряду облака перед РМ (рис. 4).

Как видно из рисунка, участок спектра разброса интервалов времени между 15–30 сек соответствует образованию наибольших зарядов в облаке, согласуясь с максимальными предразрядными напряженостями поля. Этот факт позволяет утверждать, что грозы с такими интервалами времени между РМ несут наибольшую вероятность возникновения критических напряженностей поля между облаком и землей и соответственно частых ударов в землю.

Параметр $\Delta E \cdot D^2$, где $\Delta E = E_1 - E_2$ есть разность между предразрядной и послеразрядной напряженностями электрического поля, характеризует заряд, нейтрализованный в грозовом облаке разрядом молнии. Зависимость его от времени, идущего на формирование РМ, показывает, что для интервала 15–40 сек характерны максимальные заряды, нейтрализуемые РМ. Поскольку форма волны тока молнии изменяется в небольших пределах, можно предположить, что максимальные амплитуды токов молний будут наблюдаться при вышеуказанных интервалах времени между РМ. Представленные экспериментальные данные об особенностях протекания гроз явились основой для разработки приборов оперативного прогнозирования степени опасности приближающейся грозы и предпринятия соответствующих упредительных мер на конкретных ответственных объектах.

Литература

- Справочник по климату СССР, вып. 15. Л., Гидрометеоиздат, 1970.

Институт энергетики
им. И. Г. Есмана

Поступило 17. XI 1977

А. А. Элизадэ, Г. А. Гаджилев

„ШУША“ МЭНТЭГЭСИНДЭ ГАСЫРГА ВЭ ГАСЫРГАДАН ГАБАГКЫ НЭДСЭЛЭРИН ТЭДГИГИНИН БЭ’ЗИ НЭТИЧЭЛЭРИ

Моглэдэ чөл лабораторијасы шэрэгтнүүдэг гасырга вэ гасыргадан габагкы һадийн сэлэрийн экспериментал фэрийнамжийнээс истифадэ олуван олчу вэ гэдэгдэх комплекс чиглэлээрүү функцional схеми вершиар. Коштэрийн ки, илдүүрүү бошалмаларынын саамын элек трик саамын кэркинили вэ илдүүрүү бошалмаларында иштэлэлээнэгээ сэлэрийн түүхийн таалукаасын оператив суртдэг габагчадан билдирэн чиглэлийн ишлээндэснээ имсан յартады.

А. А. Alizade, G. A. Gadzhiev

SOME RESULTS OF PRELIGHTNING AND LIGHTNING PHENOMENA INVESTIGATION IN POINT „SHUSHА“

The functional scheme of measuring and registering apparatus complex used in field laboratory for experimental investigations of prelightning and lightning phenomena are presented. The results of investigations allows to establish quantitative characteristics and their specifics, that are necessary for optimum designing of technological objects lightning protecting. Firstly obtained relation between the lightning frequency, electric field strength and charge, neutralized in lightning discharge was taken as a base for designing of apparatus for operative prognosis of approaching thunder danger for especially responsible objects.

УДК 621.301.02

МАТЕМАТИЧЕСКАЯ ФИЗИКА

Т. А. ЮСИФЗАДЕ

КРИТЕРИЙ СОГЛАСИЯ ω^2 ДЛЯ ОБОБЩЕННОГО УСЕЧЕННОГО НОРМАЛЬНОГО ЗАКОНА

(Представлено академиком АН Азербайджанской ССР Ч. М. Джуварлы)

Формула критерия согласия ω^2 , приведенная в [1], неприменима при распределении случайной величины по обобщенному усеченному нормальному закону. В данной статье выводится формула критерия согласия ω^2 для этого случая.

В соответствии с определением функции $W_n(x)$ имеем

$$\begin{aligned} W_n(x) &= a_0 && \text{при } x < x_1, \\ W_n(x) &= \frac{\kappa}{n} + a_0 \cdot \left(1 - \frac{\kappa}{n}\right) && \text{при } x_k < x < x_{k+1}, \end{aligned} \quad (1)$$

$$[k = 1, 2, 3, \dots, (n-1)]$$

Формулы (1) будут иметь более определенный смысл, если их записать в виде

$$\begin{aligned} W_n(x) &= a_0 && \text{при } x < x_1, \\ W_n(x) &= (1-a_0) \cdot \frac{\kappa}{n} + a_0 && \text{при } x_k < x < x_{k+1}, \\ W_n(x) &= 1 && \text{при } x > x_n. \end{aligned} \quad (2)$$

Как следует из (2), $W_n(x)$ имеет ненулевое начальное значение, что характерно для обобщенного усеченного нормального закона. Далее происходит ступенчатое увеличение $W_n(x)$ вплоть до единицы. Из выражения [1]

$$\omega^2 = \int_{-\infty}^{\infty} [W_n(x) - P(x)]^2 dP(x), \quad (3)$$

где $W_n(x)$ —эмпирический закон распределения, $P(x)$ —теоретический закон распределения, с учетом (2) получим

$$\begin{aligned} \omega^2 &= \int_{-\infty}^{x_1} [a_0 - P(x)]^2 dP(x) + \sum_{k=1}^{n-1} \int_{x_k}^{x_{k+1}} \left[\frac{\kappa}{n} \cdot (1-a_0) + a_0 - \right. \\ &\quad \left. - P(x) \right]^2 dP(x) + \int_{x_n}^{\infty} [1 - P(x)]^2 dP(x). \end{aligned} \quad (4)$$

Раскрывая каждый интеграл в отдельности, имеем

$$\begin{aligned} \omega^2 &= \frac{[P(x_1) - a_0]^2}{3} + \sum_{k=1}^{n-1} \left[\frac{P(x_{k+1}) - \frac{\kappa}{n} \cdot (1-a_0) - a_0}{3} \right]^2 - \\ &\quad - \sum_{k=1}^{n-1} \left[\frac{P(x_k) - \frac{\kappa}{n} \cdot (1-a_0) - a_0}{3} \right]^2 + \frac{[1 - P(x_n)]^2}{3} \end{aligned} \quad (5)$$

или

$$\begin{aligned} \omega^2 &= (W_1 - a_0) \cdot \left(P(x_1) - \frac{W_1 + a_0}{2} \right)^2 - \frac{(W_1 - a_0) \cdot (W_1 + a_0)^2}{4} + \\ &\quad + \sum_{k=2}^{n-1} (W_k - W_{k-1}) \cdot \left(P(x_k) - \frac{W_k + W_{k-1}}{2} \right)^2 + (1 - W_{n-1}) \times \\ &\quad \times \left(P(x_n) - \frac{1 + W_{n-1}}{2} \right)^2 - \sum_{k=2}^{n-1} \frac{(W_k - W_{k-1})}{4} \cdot (W_k + W_{k-1})^2 - \\ &\quad - \frac{(1 - W_{n-1}) \cdot (1 + W_{n-1})^2}{4} + \frac{1}{3}. \end{aligned} \quad (6)$$

Учитывая, что

$$W_k = (1 - a_0) \cdot \frac{\kappa}{n} + a_0$$

и

$$W_k - W_{k-1} = \frac{1 - a_0}{n},$$

получим

$$\begin{aligned} \omega^2 &= (W_1 - a_0) \cdot \left(P(x_1) - \frac{W_1 + a_0}{2} \right)^2 - \frac{(W_1 - a_0) \cdot (W_1 + a_0)^2}{4} + \\ &\quad + \frac{(1 - a_0)}{n} \cdot \sum_{k=2}^{n-1} \left[\left(P(x_k) - \frac{W_k + W_{k-1}}{2} \right)^2 - \frac{(W_k + W_{k-1})^2}{4} \right] + \\ &\quad + (1 - W_{n-1}) \cdot \left(P(x_n) - \frac{1 + W_{n-1}}{2} \right)^2 - \\ &\quad - \frac{(1 - W_{n-1}) \cdot (1 + W_{n-1})^2}{4} + \frac{1}{3}. \end{aligned} \quad (7)$$

При $a_0 = 0$ формула (7) приобретает известный вид [1]

$$\omega^2 = \frac{1}{12n^2} + \frac{1}{n} \cdot \sum_{k=1}^n \left[P(x_k) - \frac{2\kappa - 1}{2n} \right]^2. \quad (8)$$

Литература

1. Смирнов Н. В., Дунин-Барковский И. В. Курс теории вероятностей и математической статистики. М., "Наука", 1965.

Институт физики

Поступило 16. IX 1977

Т. Э. Йусифзадэ

УМУМИЛӘШДИРИЛМИШ КӘСИЛМИШ НОРМАЛ ГАНУН ҮЧҮН
 ω^2 РАЗЫЛЫГ КРИТЕРИЯСЫ

Мәгәләдә умумиләшдирилмиш кәсилимиш нормал ганун үчүн ω^2 разылыг критеријасы формулу чыхарылыштыр. Бу формулун үмуми һал кәсб етдиши көстәрли.

T. A. Yusifzade

THE AGREEMENT CRITERION ω^2 FOR GENERALIZED TRUNCATED NORMAL LAW

In the presented paper the formula for agreement criterion ω^2 for generalized truncated normal law have been obtained. There have been shown also, that the other cases of agreement criterion ω^2 may be obtained from this formula.

АЗЭРБАЙЧАН ССР ЕЛМЛӘР АКАДЕМИЈАСЫНЫН МӘРУЗӘЛӘРИ

ДОКЛАДЫ АКАДЕМИИ НАУК АЗЕРБАЙДЖАНСКОЙ ССР

ТОМ XXXIV ЧИЛД

№ 2

1978

Черкасской бентонитовой глины с удельным весом $\gamma = 1,05 \text{ г}/\text{см}^3$ выдавливать из емкости 1 в стеклянную трубку 2 диаметром 5 см и длиной 1 м, а по достижении установившегося течения одновременно закрывать вентили 3, то в герметически закрытой трубке 2 давление будет постепенно падать и стабилизироваться.

В опытах с водой, глицерином, маслом „Вапор“ и машинным маслом это явление не обнаружено.

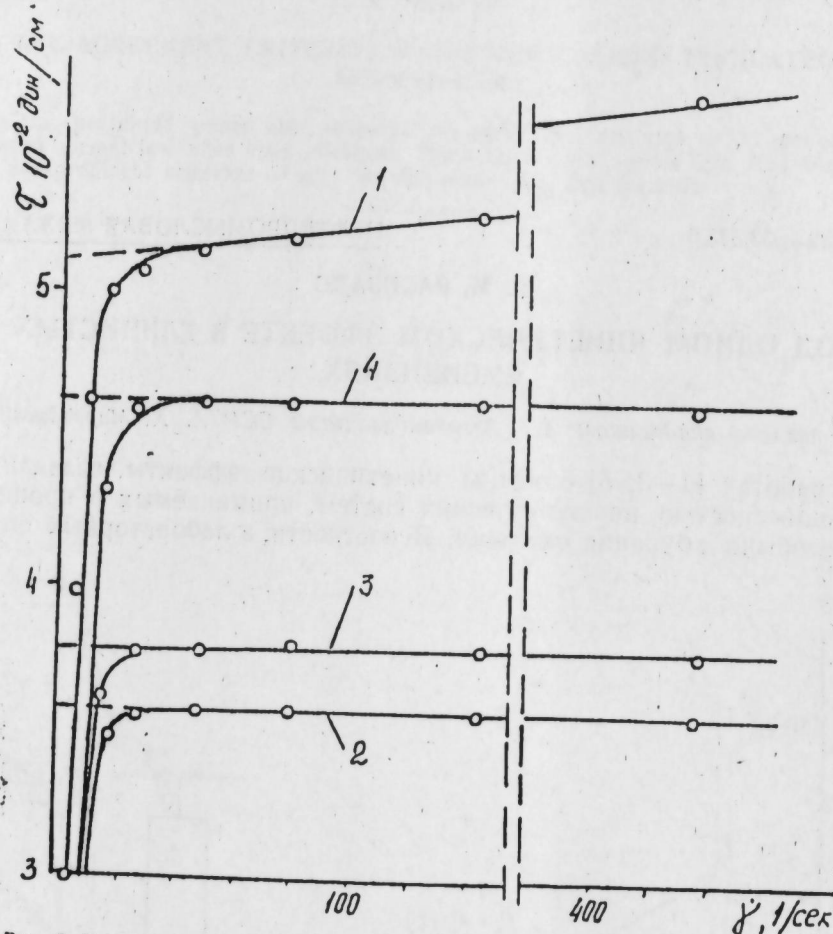


Рис. 2. Кривые течения водной суспензии константиновского глинопорошка, снятые до барообработки (1), сразу после обработки (2), через сутки (3) и через двое суток (4).

Эффект падения давления в глинистых и цементных растворах, связанный с перераспределением частиц, коагуляционным структурообразованием и гидратацией, может стимулировать такие осложнения, как проявление пласта при длительном отсутствии циркуляции раствора или затрубное проявление в период ОЗЦ.

В этой связи представляет интерес результат экспериментальных исследований по барообработке (циклическое сжатие) водных суспензий дружковского и константиновского глинопорошков с соответствующими $\gamma = 1,24$ и $1,02 \text{ г}/\text{см}^3$.

Опыты проводили на установке (рис. 1), размещенной в водяной бане с постоянной температурой 22°. Методика проведения опытов сводилась к тому, что после заполнения рабочей трубы испытуемой средой и достижения установившегося течения выкидной вентиль закрывали. Систему держали до определенного давления и следили за уменьшением последнего во времени. При стабилизации давления

систему вновь поджимали до его первоначального уровня и продолжали следить за изменением давления в герметической трубке. После 3–4 циклов такого воздействия эффект снижения давления прекращался, т. е. приложенное давление во времени не изменялось.

Влияние барообработки на реологические характеристики испытуемых систем исследовалось на приборе „Реотест“. На рис. 2 приведены кривые течения исходного (кр. 1) и обработанного в течение 13 ч (4 цикла) при давлении 9,85 atm глинистого раствора, приготовленного из константиновского глинопорошка.

Как видно, барообработка значительно уменьшает предельное напряжение сдвига (τ_0) глинистого раствора. Так, если τ_0 исходной системы равно 508 дин/см², то сразу после описанной выше обработки оно равнялось 357 (кр. 2), через сутки 378 (кр. 3), а спустя двое суток – 461 дин/см² (кр. 4). Аналогичные результаты получены для раствора из дружковской глины. Легко заметить, что эффект снижения τ_0 глинистых суспензий барообработкой сохраняется в течение нескольких суток, что вполне достаточно для его реализации в процессе бурения скважин.

Для предупреждения осложнений, возникающих из-за эффекта снижения давления, давление системы, по-видимому, необходимо периодически повышать до первоначального уровня.

Эффект барообработки может быть использован для снижения пускового давления при возобновлении циркуляции глинистого раствора в бурящейся скважине, что является одной из причин гидроразрыва пласта [4]. При этом необходимо приложить давление не выше минимального значения давления гидроразрыва для данной площади, выключить насос и после релаксации давления повторить нагружение системы. После нескольких таких циклов циркуляция промывочной жидкости будет возобновлена.

Исследования различных аспектов барообработки глинистых суспензий и других неьютоновских сред продолжаются.

Литература

- Мирзаджанзаде А. Х., Мамедзаде Р. М., Расизаде Я. М., Швецов И. А., Шерстнев Н. М. „Изв. вузов. Нефть и газ“, 1976, № 2. 2. Мирзаджанзаде А. Х., Мищевич В. М., Мамедов Ю. Г. „Нефт. хоз.“, 1970, № 1.
- Баренблатт Г. И., Мамедов Ю. Г., Мирзаджанзаде А. Х., Швецов И. А. „Изв. АН СССР. МЖГ“, 1973, № 5. 4. Расизаде Я. М., Курбаниев С. Г. Гидравлический разрыв пласта и вопросы осложнений при бурении скважин. Баку, 1960. 5. Расизаде Я. М., Шерстнев Н. М. Тез. докл. Всесоюз. семинара по гидравлике промывочных жидкостей и цементных растворов (г. Гомель, 19–21 июня 1973 г.). М. 1973.

ВНИИНефть

Поступило 22. IX 1977

Я. М. Расизаде

КИЛ СУСПЕНЗИЈАЛАРЫНДА БАШ ВЕРӘН БИР КИНЕТИК ЕФФЕКТ НАГГЫНДА

Мәғаләдә кил сүспензијаларының һүдүд сүрүшмә кәркинилигинин дәјишиң тәэжиг тә'сирі илә азалдыымасына аид лабораторија тәчрүбәләринин иәтичәләре шәрә едилиләр.

Мүәйән едилимиш йени еффект гүуларын газылмасы заманы ишәсалма тәэжигинин азалдыымасында вә еләчә дә нефт кәмәрләринин ишә салышмасында истифадә олуна биләр.

Ya. M. Rasizade

ABOUT ONE KINETIC EFFECT IN CLAY SUSPENSIONS

The article gives the results of laboratory tests showing the ultimate yield point decrease of clay suspensions under the influence of cyclic compaction.

The received effect may be realized to reduce the starting pressure while drilling and probably while starting pipe-lines.

УДК 547.5.514

ХИМИЯ

Академик АН Азерб. ССР С. Д. МЕХТИЕВ, Х. М. АЛИМАРДАНОВ,
М. Р. МУСАЕВ, Э. Т. СУЛЕЙМАНОВА

**ВЛИЯНИЕ ПРИРОДЫ РАСТВОРИТЕЛЯ НА РЕАКЦИЮ
КОНДЕНСАЦИИ ЦИКЛОПЕНТАНОНА И ЦИКЛОГЕКСАНОНА
С 2-МЕТИЛБУТАНОЛ-1-ОНОМ-3**

Известные способы получения непредельных алициклических кетонов циклопентанового ряда [1—8] отличаются сложностью и многостадийностью, использованием дефицитных исходных соединений, относительно низкой селективностью и малыми выходами целевых продуктов.

Ранее сообщалось о синтезе 2-алкилциклоанонов, по своим физиологическим свойствам близких к непредельным кетонам, путем свободнорадикального присоединения цикланонов к α -олефинам [9—10] и гидрирования циклоалифатических кетолов [11].

В настоящей статье представлены результаты исследования альдольной конденсации цикланонов с 2-метилбутанол-1-оном-3 с последующей дегидратацией промежуточного непредельного алициклического кетоспирта, а также влияния на указанную реакцию природы растворителя.

Сведений о реакции конденсации кетонов с кетоспиртами в литературе немного. Указывается лишь на применение альдольной конденсации для введения боковой цепи в циклопентановое кольцо некоторых стероидов [12].

Щелочной конденсацией 2-гексилциклоанона и формальдегидом получен 2-гексил-5-оксиметилциклоанон, дегидратация которого дает смесь 2-метил-5-гексилциклоанен-2-она-1 и 2-метилен-5-гексилциклоанона [13].

Ниже приводятся результаты исследований по соконденсации C_5-C_6 цикланонов с алифатическим кетоспиртом.

ЭКСПЕРИМЕНТАЛЬНАЯ ЧАСТЬ

В качестве исходных соединений использованы циклопентанон и циклогексанон марки ч., а также 2-метилбутанол-1-он-3, полученный конденсацией формальдегида с метилэтилкетоном по методу [1] и имеющий следующие физико-химические константы: т. кип., 80—81°/6 мм, $n_D^{20} = 1,4338$, $d_4^{20} = 0,9908$. Опыты проводили в трехгорной круглодонной колбе, снабженной двумя капельными воронками, механической мешалкой, обратным холодильником и термометром. К заданному количеству кетона и растворителя, нагреваемому до определен-

ной температуры, в течение часа по каплям добавляли кетоспирт и водный раствор щелочи. Реакционную смесь после перемешивания в продолжение нескольких часов нейтрализовали фосфорной кислотой. Верхний слой отделяли от воды, сушили над $MgSO_4$ и подвергали вакуумной перегонке.

Дегидратацию циклоалифатического кетоспирта проводили в проточной системе над Al_2O_3 марки А-1, промотированной 2%-ным NaOH при температуре 200—220° и объемной скорости 0,5 ч⁻¹.

ГЖХ-анализ продуктов реакции осуществляли на хроматографе „Хром-3“ (длина колонки 2 м, диаметр 6 мм) при температуре 200°. В качестве неподвижной фазы использовали силиконовое масло марки ПФМС-4 (10% на сферохроме); газ-носитель—азот. ИК-спектры снимали на приборе UR-20 с пластинками KBr, NaCl, LiF.

ОБСУЖДЕНИЕ РЕЗУЛЬТАТОВ

Условия и результаты отдельных опытов по конденсации циклопентанона с 2-метилбутанол-1-оном-3 представлены в таблице.

Реакция протекает через образование промежуточного кетондиола, выделить который в чистом виде не удалось. Установлено, что состав и выход продуктов реакции зависят не только от температуры и продолжительности процесса, но и от природы растворителя, в среде которого осуществляется реакция. В случае проведения опытов без растворителя—в большом избытке алициклического кетона—реакция идет в основном в двух направлениях: самоконденсация цикланонов (50—55 вес. %) и соконденсация цикланонов с 2-метилбутанол-1-оном-3 (20—22 вес. %). При этом соконденсация сопровождается частичной дегидратацией циклоалифатического кетола. В присутствии неполярного растворителя—бензола происходит частичная дегидратация исходного 2-метилбутанол-1-она-3 до метилизопропенилкетона с дальнейшей конденсацией последнего с цикланонами. Полярный гидроксилодержащий растворитель (спирт) способствует протеканию реакции в желаемом направлении, однако продукт конденсации терпевает частичную (50—92 вес. %) дегидратацию по α -гидроксильной группе.

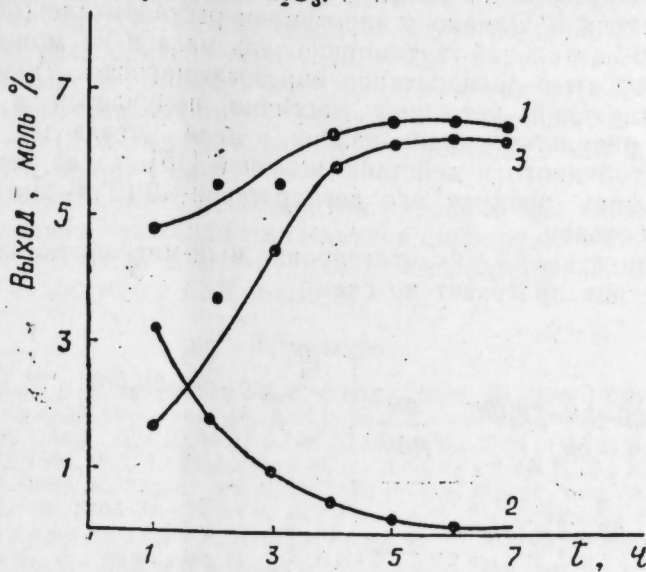
Конденсация кетоспирта с цикланонами сопровождается побочными конкурирующими реакциями. В результате помимо целевого образуются также продукты самоконденсации цикланона и алифатического кетоспирта, количество которых зависит от условий проведения реакции. При температуре 20—30° термически более выгодна самоконденсация кетоспиртов; продуктом реакции является непредельный алифатический кетоспирт. Более высокая температура (80°) приводит к частичному осмолению продуктов реакции за счет дегидратации циклоалифатического кетоспирта и поликонденсации непредельного кетона. Максимальный выход соконденсата 1:1 достигается при мольном соотношении кетон:кетол:KOH (C_2H_5OH), равном 2:1:0,107, температуре 60° и продолжительности 4 ч, составляя 65,30% от теории на взятый 2-метилбутанол-1-он-3.

В результате частичной дегидратации продукта реакции—промежуточного кетоспирта нами получена смесь 2-(1,2-диметил-3-оксипропилен)- и 2-(2,3-диметилаллилиден)-цикlopентанона в количестве 27,86 и 37,47%, разделяющаяся вакуумной перегонкой.

На рисунке показана зависимость выхода соконденсата циклопентанона и 2-метилбутанол-1-она-3 от продолжительности опыта, из которой видно, что первичный продукт соконденсации—циклоалифатический кетоспирт образуется лишь в начале реакции. При проведении опыта в течение 4—7 ч реакционной смеси преобладает продукт

Взято в реакцию, г			Получено, вес. %			Выход Б на исходный II, моль %		
Цикло-	2-Метил-	20%-ный водный	Мольное	Т-ра	2-(1', 2'-Ди-	Выход А на исходный II, моль %.		
пентан-	бутанол-	р-р KOH (III)	соотноше-	реакции,	2-(2', 3'-Ди-	высоко-		
(I)	(II)	% от смеси	I:II:III:IV	°	Метил-аллил-цикlopентанон (A)	кипящий продукт		
58,8	10,2	2,26	8	—	21,84	24,80	—	
58,8	10,2	2,26	8	—	20,47	27,18	24,39	
58,8	10,2	2,26	8	—	21,13	—	24,13	
58,8	10,2	2,26	8	—	22,13	23,41	21,29	
16,8	10,2	5,59	8	C ₆ H ₆ OH	2:1:0,3:9	60	—	
16,8	10,2	5,59	8	C ₆ H ₆ OH	2:1:0,3:9	60	4	
16,8	10,2	5,59	8	C ₆ H ₅ OH	2:1:0,3:9	60	4	
16,8	10,2	5,59	8	C ₆ H ₅ OH	2:1:0,3:9	60	3	
16,8	10,2	5,59	8	C ₆ H ₅ OH	2:1:0,3:9	60	2	
16,8	10,2	5,59	8	C ₆ H ₅ OH	2:1:0,3:9	80	4	
16,8	10,2	5,59	8	C ₆ H ₅ OH	2:1:0,3:9	40	4	
16,8	10,2	2,88	4	C ₆ H ₅ OH	2:1:0,15:9	60	4	
16,8	10,2	2,17	3	C ₆ H ₅ OH	2:1:0,107:9	60	4	
16,8	10,2	1,46	2	C ₆ H ₅ OH	1:1:0,075:9	60	4	
16,8	10,2	5,59	8	C ₆ H ₆	2:1:0,3:9	60	2	
16,8	10,2	5,59	8	C ₆ H ₆	2:1:0,3:9	60	6	
16,8	10,2	5,59	8	C ₆ H ₆	2:1:0,3:9	80	24	
16,8	10,2	5,59	8	C ₆ H ₆	2:1:0,3:9	60	5	
16,8	10,2	5,59	8	C ₆ H ₆ OH	2:1:0,3:9	60	6	
16,8	10,2	5,59	8	C ₆ H ₆ OH	2:1:0,3:9	60	7	
16,8	10,2	5,59	8	C ₆ H ₆ OH	2:1:0,3:9	60	1	
						19,97		
						43,60		
						36,43		
						15,82		
						31,03		

вторичной реакции дегидратации циклоалифатического кетоспирта, что позволяет получать непредельные сопряженные кетоны, минуя стадии дегидратации кетоспирта над Al_2O_3 .

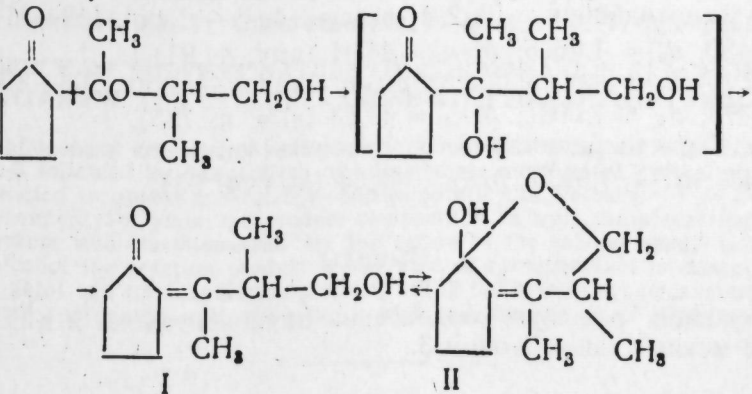


Зависимость выходов аддукта 1:1 соконденсации цикlopентанона и 2-метилбутил-1-она-3 и продукта его дегидратации от времени:

1—продукт соконденсации: 2-2-(2,3-деметилаллилiden)-цикlopентанон; 3—2-(1,2-диметил-3-оксипропилен)-цикlopентанон.

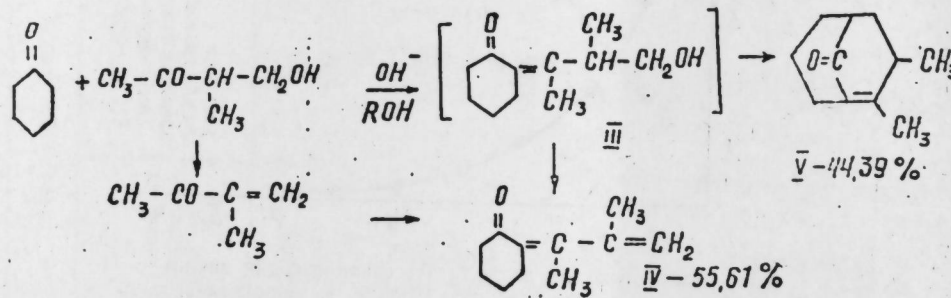
В ИК-спектрах циклоалифатического кетоспирта наряду с полосами поглощения, характеризующими структурные фрагменты ($\nu \text{C=O} - 1742 \text{ cm}^{-1}$, $\nu \text{O=C-C=C}$ — у пятичленного цикла 1719 cm^{-1} , α, β -ненасыщенный кетон — 1668 и 1690 cm^{-1} , $\nu \text{OH} - 3200$ — 3550 и 1160 cm^{-1} , $\delta_{as} \text{CH}_3 - 1470 \text{ cm}^{-1}$, $\delta_s \text{CH}_3 - 1380$ и 1365 cm^{-1}), появляются интенсивные частоты циклической эфирной группы с непредельной связью в области 1180 , 1220 , 1260 cm^{-1} . Сравнение ИК-спектров 2-изоамил-[9] и 2-(1,2-диметил-3-оксипропилен)-цикlopентанонов показывает, что интенсивность частоты поглощения карбонильной группы циклоалифатического кетоспирта уменьшается наполовину и сильно перекрывается частотой 1719 cm^{-1} , характерной для сопряженных кратных связей.

Очевидно, синтезированный кетоспирт представляет собой аллелотропную смесь двух форм: кетольной и лактольной, что является результатом протекания кольчато-цепной таутомерии по схеме



Этим и объясняется возможность получения кетола (I) в растворе этилового спирта, так как протонный растворитель (C_2H_5OH) благоприятствует образованию кетоло-лактоля (II) при оксоциклотаутомерии образовавшегося I. Однако в аprotонном растворителе (бензол) скорость кетоло-лактольной таутомерии очень мала и не может конкурировать со скоростью дегидратации образовавшегося I. Таким образом, циклоалифатический кетоспирт частично получается в спиртовом растворе в результате стабилизации в виде кетола (I) и полуацетала (II), устойчивого к действию щелочей [15], тогда как в бензole образуется лишь продукт его дегидратации—2-(2',3'-диметилаллиден)-цикlopентанон.

При конденсации циклогексанона и 2-метилбутанол-1-она-3 в C_2H_5OH реакция протекает по схеме



В этом случае кетоспирт (III) является промежуточным соединением и расходуется на образование кетонов—2-(1', 2'-диметилаллиден)-цикlopентанона (IV) и 2,3-диметибицикло-[3, 3, 1]-нонен-1-она-9 (V).

Для идентификации бициклического кетона (V) циклизация IV в растворе уксусной кислоты проведена в присутствии CuO по методу [16] (температура 180°). Выход V составил 29,4 вес. %.

При дегидратации полученного циклоалифатического кетола над $\gamma-Al_2O_3$ имеет место также циклизация непредельного кетона до соответствующего бициклического соединения, в частности 2,3-диметибицикло-[3, 2, 1]-октен-1-она-8. Однако использование в качестве катализатора $\gamma-Al_2O_3$, промотированного 2%-ным $NaOH$, позволяет предотвратить эту реакцию.

Синтезированные соединения характеризуются следующими физико-химическими константами:

1. 2-(1', 2'-Диметил-3'-оксипропилиден)-цикlopентанон—т. кип. 140—146°/3 мм; n_{D}^{20} = 1,5025; d_{4}^{20} = 1,0395; M_{R_D} = 47,61 (выч. 47,249).
2. 2-(2', 3'-Диметилаллиден)-цикlopентанон—т. кип. 106—110°/7 мм; n_{D}^{20} = 1,5144; d_{4}^{20} = 1,0175; M_{R_D} = 44,46 (выч. 45,077).
3. 2,3-Диметибицикло-[3, 2, 1]-октен-1-она-8—т. кип. 113—114°/3 мм; n_{D}^{20} = 1,5430; d_{4}^{20} = 1,0645; M_{K_D} = 44,41 (выч. 44,91).
4. 2-(2', 3-Диметилаллиден)-циклогексанон—т. кип. 104—106°/3 мм; n_{D}^{20} = 1,5178; d_{4}^{20} = 1,0087; M_{K_D} = 49,24 (выч. 49,735).
5. 2,3-Диметибицикло-[3, 3, 1]-нонен-1-она-8—т. кип. 116—120°; n_{D}^{20} = 1,5487; d_{4}^{20} = 1,0935; M_{R_D} = 47,64 (выч. 47,93).

Выводы

Исследована реакция конденсации цикlopентанона и циклогексанона с 2-метилбутанол-1-оном-3.

Установлена зависимость выхода и состава продуктов как от параметров реакции—температуры и продолжительности, так и от природы реагирующего кетона и применяемого растворителя.

Основными продуктами реакции в среде полярного гидроксилсодержащего растворителя—спирта в случае цикlopентанона являются соответствующий кетоспирт и продукт его дегидратации—2-(2, 3-диметилаллиден)-цикlopентанон, в случае циклогексанона—непредельные кетоны—2-(2, 3-диметилаллиден)-циклогексанон и 2, 3-диметибицикло-3, 3, 1-нонен-1-он-9.

Выход эквимолярного соконденсата аддендов при найденных оптимальных условиях—мольном соотношении цикlopентанона, кетоспирта и спиртового раствора $KOH=2:1:0.3$, температуре 60° и продолжительности 4 ч достигает 65,3 моль. %.

Литература

1. Erickson L. E. a. Collins F. E. J. Org. Chem., 30, 1965, 1050.
2. Stork G. Borch R. J. Amer. Chem. Soc., 86, 1964, 936.
3. Sisido K., Torii S. a. Kawano M. J. Org. Chem., 29, 1964, 2290.
4. Sisido K., Torii S. a. Kawano M. J. Org. Chem., 29, 1964, 904.
5. Зефиров Н. С., Костецкий П. В., Юрьев Ю. К. ЖОХ, 34, 1964, 1069.
6. Франц. пат. № 21593733, 1970.
7. Франц. пат. № 2119177, 1970.
8. Франц. пат. № 216434, 1973.
9. Мехтиев С. Д., Мусаев М. Р., Бабаев С. С., Алимарданов Х. М., Пашаева Ф. А. Азерб. хим. ж., 1973, № 4.
10. Мехтиев С. Д., Мусаев М. Р., Алимарданов Х. М., Сахновская Е. Б., Султанов В. Т. ДАН Азерб. ССР, XXXI, 1975, № 8.
11. Мехтиев С. Д., Мусаев М. Р., Алимарданов Х. М., Сахновская Е. Б., Бабаева А. Р. Азерб. хим. ж., XXXI, 1975, № 4.
12. Morgan G. T., Holmes E. L. J. Chem. Soc., 1932, 2667—2673.
13. Ross W. C. J. J. Chem. Soc., 1945, 25.
14. Мусаев М. Р., Сахновская Е. Б., Алимарданов Х. М., Бабаев С. С. Азерб. хим. ж., 1974, № .
15. Темникова Т. И. Курс теоретических основ органической химии. Л., Химия, 1968.
16. Najek M., Malek J. Synthesis, 1976, № 5, 315.

ИНХП им. Ю. Г. Мамедалиева

Поступило 12. X 1977

С. Ч. Мехтиев, Н. М. Элимэрданов, М. Р. Мусаев, Е. Т. Сулейманова
ТСИКЛОПЕНТАНОНУН ВЭ ТСИКЛОХЕКСАНОНУН 2-МЕТИЛБУТАНОЛ-1-ОН-З
ИЛЭ КОНДЕНСАСИЈАСЫ РЕАКСИЈАСЫНА ҺЭЛЛЕДИЧИНИН
ТӘБИӘТИНИН ТӘ'СИРИ

Дојмамыш гошумуш алтискил кетонлары алмаг мәгсәди илэ тсиклопентанонун вэ тсиклонексанонун 2-метилбутанол-1-ОН-З илэ конденсасијасы вэ аралыг кетоспирттің деңидратасијасы реаксијалары тәдгиг едилмишидир.

Реаксија мәңсулларынын тәркибинин вэ чыхымынын реаксија шәрәнтиндән вэ тәтбиг едилән һәлледициләрин тәбнәтиндән асылылығы мүәжжән едилмишидир. Подјар һәлледици кими спиртдән истифадә едилдикдә, илкин маддә тсиклопентанон олан һалда реаксија мәңсулу мұвағиг кетоспирт вэ онун деңидратасијасындан алынан дојмамыш кетон, тсиклонексанон олан һалда исә дојмамыш кетон вэ онун молекулдахылы тсиклләшмәсіндән алынан битсиклик кетондур. Һәлледици кими бензол көтүрудүкдә жалныз дојмамыш гошумуш алтискил кетонлар алыныр.

S. D. Mekhtiev, Kh. T. Aliwardanov, M. R. Musaev, E. T. Suleimanova

INFLUENCE OF SOLVENT NATURE ON CONDENSATION REACTION OF CYCLOPENTANONE AND CYCLOHEXANONE WITH 2-METHYLBUTANOL-1-ONE-3

The condensation reaction of cyclopentanone and cyclohexanone with 2-methylbutanol-1-one-3 followed by dehydration of intermediate unsaturated cycloaliphatic ketol has been studied to obtain unsaturated conjugated alicyclic ketones.

The dependency of yield and product composition as well as on reaction parameters—temperature and duration—and on the nature of the solvent used. Using polar solevent—alcohol the reaction product in the case of cyclopentanone is mixture of corresponding ketol and its dehydration product, but in the case of cyclohexanone—mixture of unsaturated conjugated cycloaliphatic ketone and the product of its intramolecular cyclization.

УДК 547.371.547.559.8.1

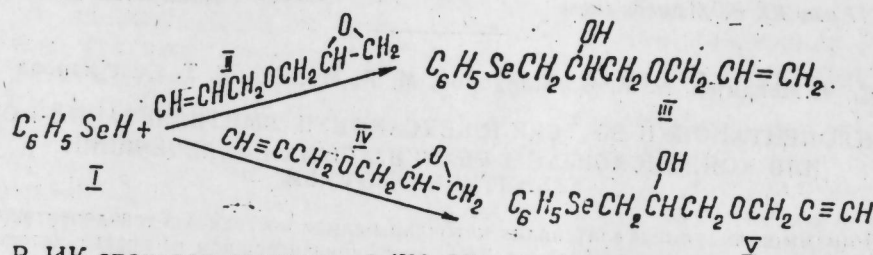
ОРГАНИЧЕСКАЯ ХИМИЯ

И. М. АХМЕДОВ, Ф. Г. ГАСАНОВ, С. Б. КУРБАНОВ, М. М. ГУСЕЙНОВ
академик АН Азерб. ССР Т. Н. ШАХТАХТИНСКИЙ

ПРИСОЕДИНЕНИЕ СЕЛЕНОФЕНОЛА К АЛЛИЛ-И ПРОПАРГИЛГЛИЦИДИЛОВЫМ ЭФИРАМ И ИХ ХЛОРГИДРИДАМ

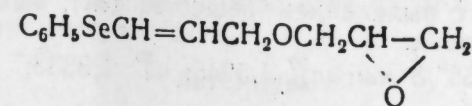
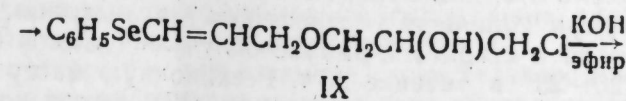
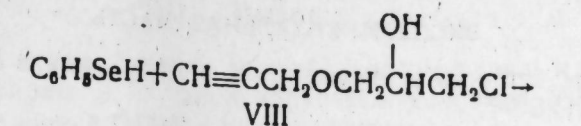
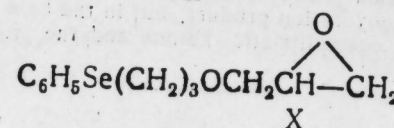
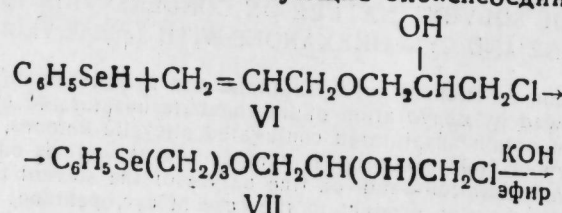
В литературе довольно подробно описана реакция селенофенола с α -окисями 1,3-алкадиенов [1, 2]. Однако поведение алкил- и пропаргилглицидиловых эфира и их хлоргидридов по отношению к селенофенолу не изучено.

В поисках новых физиологически активных соединений нами установлено, что при инициировании УФ-светом реакция селенофенола (I) с аллил- и пропаргилглицидильными эфирами протекает с раскрытием окисного кольца по схеме



В ИК-спектрах соединений (IV, V) содержатся полосы поглощения, характерные для валентных колебаний тройных и двойных связей — $3300, 1640 \text{ см}^{-1}$, ассоциированных вторичных групп OH — $1100, 3450 \text{ см}^{-1}$ и валентных колебаний двойных связей ароматических колец — $1480, 1580 \text{ см}^{-1}$ [3].

Однако реакция (I) с хлоргидринами аллил- и пропаргилглицидильных эфиров протекает по непредельной связи с образованием веществ (VII, IX), которые под действием едкого кали в эфирном растворе легко превращаются в соответствующие эпокси соединения (X, XI):

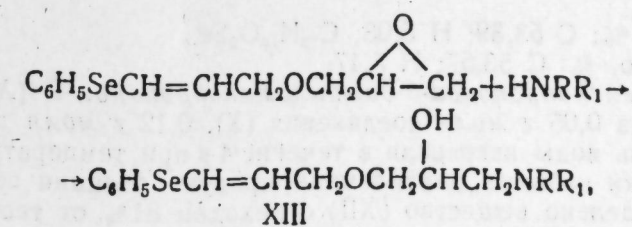
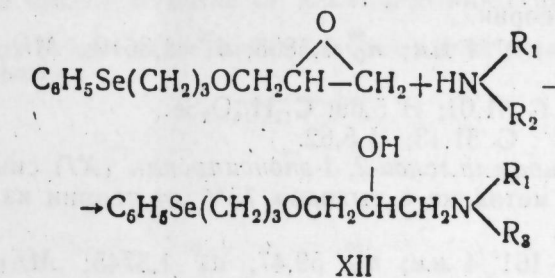


O

XI

Отсутствие в ИК-спектрах соединений (VII) полос поглощения, характерных для метильной группы, однозначно доказывает присоединение $\text{C}_6\text{H}_5\text{Se}$ -радикала по кратному углеродному атому глицильной группы. А порядок присоединения селенофенола к хлоргидрину пропаргилглицидильного эфира (VIII) доказан методом ПМР. В ПМР-спектре вещества (VIII) имеются следующие сигналы: $\delta_{\text{ОН}} = 3,15 \text{ м. д.}$, $\delta_{\text{CH}_2\text{O}} = 3,40 \text{ м. д.}$, $\delta_{\text{—CH}} = 3,8 \text{ м. д.}$, $\delta_{\text{CH}_2\text{Cl}} = 3,90 \text{ м. д.}$, $\delta_{\text{—CH}_2} = 6,4—6,6 \text{ м. д.}$, $\delta_{\text{—CH}_3} = 5,6—6,2 \text{ м. д.}$ с $I_{\text{H}_a/\text{H}_b} = 13 \text{ гц}$. Сигналы протонов ароматического кольца проявляются в области $7—7,5 \text{ м. д.}$ Величины констант спин-спинового взаимодействия α - и β -протонов у кратной связи указывают на их транс-расположение, т. е. присоединение селенофенола к тройной связи хлоргидрина пропаргилглицидильного эфира протекает с образованием аддукта с транс-конфигурацией [4].

С целью получения водорастворимых и малотоксичных аминосодержащих селеноорганических соединений нами изучена конденсация различных аминов с селеноэпокси соединениями по схеме



где $\text{R} = \text{H}$, $\text{R}' = \text{C}_2\text{H}_5$, $\text{R}_2 = \text{C}_2\text{H}_5$, $\text{H} = \text{C}_3\text{H}_7$.

Строение вновь синтезированных аминоспиртов (XII, XIII) доказано элементарным анализом и ИК-спектроскопией. В ИК-спектрах присутствуют широкие полосы поглощения в области 3300 и 3600 см^{-1} , характерные для ассоциированной OH⁻ группы.

Предварительные биологические испытания показывают, что вновь синтезированные аминосодержащие селеноорганические соединения обладают антиаритмическими и радиозащитными свойствами.

ЭКСПЕРИМЕНТАЛЬНАЯ ЧАСТЬ

ИК-спектры веществ записывали на пленку (или в растворе CCl_4) на приборе UR-20.

1-Фенилселено-3-аллилоксипропанол-2 (III). Смесь, состоящую из эквимолекулярных количеств сelenофенола и аллилглицидного эфира, в среде водорода в керцовой ампуле облучали (лампой ПРК-4) при температуре 20–25° в течение 25 ч. Регационную массу фракционировали в вакууме с выделением вещества (III), выход которого составлял 45% от теории.

Т. кип. 154–155°/3 мм; n_{D}^{20} 1,5945; d_4^{20} 1,3333; M_{D} 69,06; выч. 68,66.

Найдено, %: C 53,13; H 5,52. Вычислено, %: C 52,97; H 5,67.

1-Фенилселенпропокси-3-хлорпропанол-2 (VII) синтезировали по вышеуказанной методике с выходом 30% от теории.

Т. кип. 168–170°/4 мм; n_{D}^{20} 1,5975; d_4^{20} 1,4185; M_{D} 73,88; выч. 74,00.

Найдено, %: C 46,69; H 5,49; Cl 11,38; $\text{C}_{12}\text{H}_{17}\text{O}_2\text{ClSe}$.

Вычислено, %: C 46,82; H 5,62; Cl 11,57.

1-Фенилселеноаллилокси-3-хлорпропанол-2 (IX). Синтез проведен в аналогичных условиях с выходом 45% от теории.

Т. кип. 178–180°/3 мм; n_{D}^{20} 1,6050; d_4^{20} 1,4203; M_{D} 74,08; выч. 73,53.

Найдено, %: C 47,01; H 4,73; Cl 11,43; $\text{C}_{12}\text{H}_{15}\text{O}_2\text{ClSe}$.

Вычислено, %: C 47,13; H 4,90; Cl 11,62.

1-Фенилселеногропокси-2, 3-эпоксипропан (X). К смеси, состоящей из 0,2 г.моля сухого едкого кали и 50 мл сухого эфира в течение 45 мин добавляли 0,1 г.моля соединения (VII), затем при конденсации эфира регационную массу перемешивали в продолжение 4–5 ч. После соответствующей обработки и сушки над MgSO_4 продукт реакции перегоняли в вакууме. Получено вещество (X) с выходом 55% от теории.

Т. кип. 149–151°/4 мм; n_{D}^{20} 1,5805; d_4^{20} 1,3610; M_{D} 66,26; выч. 65,75.

Найдено, %: C 51,01; H 5,69; $\text{C}_{12}\text{H}_{16}\text{O}_2\text{Se}$.

Вычислено, %: C 51,13; H 5,82.

1-Фенилселеноаллилокси-2, 3-эпоксипропан (XI) синтезирован по вышеуказанной методике с выходом 75% от теории из смеси цис- и транс-изомеров.

Т. кип. 159–161°/4 мм; n_{D}^{20} 59,47; d_4^{20} 1,3745; M_{D} 66,12; выч. 65,27.

Найдено, %: C 53,39; H 5,03; $\text{C}_{12}\text{H}_{14}\text{O}_2\text{Se}$.

Вычислено, %: C 53,57; H 5,17.

1-Фенилселенопропокси-3-диэтиламинопропанол-2 (XII). Смесь, состоящую из 0,05 г.моля соединения (X), 0,12 г.моля диэтиламина и 3–4 капель воды нагревали в течение 4 ч при температуре 65–70°. После отгонки избытка диэтиламина продукт реакции перегоняли в вакууме. Выделено вещество (XII) с выходом 81% от теории.

Т. кип. 175–177°/4 мм; n_{D}^{20} 1,5630; d_4^{20} 1,2775; M_{D} 87,53; выч. 87,89.

Найдено, %: C 55,49; H 7,70; N 3,87; $\text{C}_{16}\text{H}_{27}\text{O}_2\text{NSe}$.

Вычислено, %: C 55,68; H 7,85; N 4,07.

1-Фенилселеноаллилокси-3-диэтиламинопропанол-2 (XIII) синтезирован по вышеописанной методике с выходом 85% от теории.

Т. кип. 181–183°/3 мм; n_{D}^{20} 1,5725; d_4^{20} 1,2815; M_{D} 86,22; выч. 86,75.

Найдено, %: C 55,53; H 7,40; N 4,21; $\text{C}_{16}\text{H}_{25}\text{O}_2\text{NSe}$.

Вычислено, %: C 55,68; H 7,51; N 4,41.

Выводы

1. Изучено присоединение сelenофенола к аллил- и пропаргилглициловым эфирам и их хлоргидринам в условиях УФ-облучения и получены сelenосодержащие хлоргидрины.

2. При дегидрохлорировании сelenосодержащих хлоргидринов получены соответствующие эпоксисоединения.

3. Установлено, что при взаимодействии сelenосодержащих эпоксидов с различными реагентами раскрытие оксиранового кольца протекает по правилу Красусского.

Литература

1. Кязимова А. А., Альбицкая В. М. ЖОРХ, 5, 1969, 1926.
 2. Зайцева Г. И., Альбицкая В. М. ЖОРХ, 4, 1969, 2057.
 3. Белломи Л. Инфракрасные спектры сложных молекул. М., Изд-во иностр. лит., 1963.
 4. Ионин Б. И., Ершов Б. А. ЯМР-спектроскопия в органической химии. Л., „Химия“, 1967.
- Сумгаитский филиал ИНХП им. Ю. Г. Мамедалиева

Поступило 3. VII 1977

И. М. Э晦дов, Ф. Г. Гасанов, С. Б. Гурбанов, М. М. Гусейнов,
Т. Н. Шахтахтински

СЕЛЕНОФЕНОЛУН АЛЛИЛГЛИСИДИЛ ЕФИРИНЭ ВЭ ОНЛАРЫН ХЛОРОНДРИДИНЭ БИРЛАШМАСИ

Мәгаләдә тәркибиндә сelen атому олан епоксид бирләшмәләrinин синтези вэ онларын бәзин кимјәви чеврilmәләrinдән бәйс едилir.

I. M. Akhmedov, F. G. Gasanov, S. B. Kurbanov,
M. M. Guseinov, T. N. Shakhtakhtinski

THE ADDITION OF SELENOPHENOLS TO ALLYLDLYCIDOL ETHERS AND TO CHLOROHYDRINE OF ALLYL-(PROPARGYL) GLYCIDS

This paper is devoted to the synthesis and some transformations of selenocontaining epoxy compounds.

УДК 553.211

ТЕКТОНИКА

Академик АН Азерб. ССР Ш. Ф. МЕХТИЕВ, Ж. И. ТЕР-КАРАПЕТЯНЦ,
А. А. АЛИЕВ

ВЛИЯНИЕ ТЕКТОНИЧЕСКОГО ФАКТОРА И ПЕТРОСТАТИЧЕСКОГО ДАВЛЕНИЯ НА ФИЗИЧЕСКИЕ ПАРАМЕТРЫ ПОРД КОЛЛЕКТОРОВ

(На примере ряда месторождений Азербайджана)

На основе большого фактического материала по ряду месторождений Нижнекуринской впадины и Апшеронской нефтегазоносной области нами установлен характер изменения с глубиной и по площади величины открытой пористости ($K_{оп}$) и проницаемости ($K_{пр}$) пород коллекторов [1], теплопроводности кернов (λ), определенной на аппаратуре "Лимбда" при стационарном режиме в лабораторных условиях, и температуры залежей (t), измеренной в долгопространствующих скважинах и заимствованной из литературы [3–5], в зависимости от тектонических разрывов и петростатического давления. Использованы значения $K_{оп}$ по 614 керновым определениям из 130 скважин, $K_{пр}$ — по 221 керновому определению из 43 скважин и, по 90 гидродинамическим исследованиям 87 скважин, λ — по 127 определениям кернов из 44 скважин и 211 замерам температур в 116 скважинах.

На рис. 1, 2 представлены средние величины $K_{оп}$, $K_{пр}$, λ и t по скважинам, отдаленным от тектонических разрывов на расстояние до 250 м (сплошная линия), и по скважинам, находящимся на удалении более чем на 250 м (пунктир).

Как видно, с глубиной $K_{оп}$ и $K_{пр}$ уменьшаются, а λ и t возрастают. В верхнем интервале $K_{оп}$ имеет резко выраженный криволинейный характер с выпуклостью относительно оси глубин. Такая криволинейность для площади Кюровдаг прослеживается до 2800 м, а для месторождения Каламадын из-за отсутствия данных на больших глубинах — до 1200 м. Значения ее на одной и той же глубине варьируют в пределах 34–21%.

Изменение λ кернов по месторождениям Каламадын и Кюрсангя имеет вогнутый характер относительно оси глубин до 1000 м. Значение ее возрастает от 1,2 до $3,7 \cdot 10^{-6}$ кал/(см·сек·град),

На рис. 1 в, б кр. 1" и 2" характеризуют изменения $K_{оп}$ и $K_{пр}$ в юго-западной части площади Кюровдаг и на западном крыле месторождения Каламадын, где углы падения пластов по сравнению с осевой частью структуры более крутые, и кр. 1" и 2" занимают про-

межуточное положение между изменяющимися с глубиной значениями $K_{оп}$ и $K_{пр}$, построенными в зоне до 250 (1' и 2') и более 250 м (1 и 2).

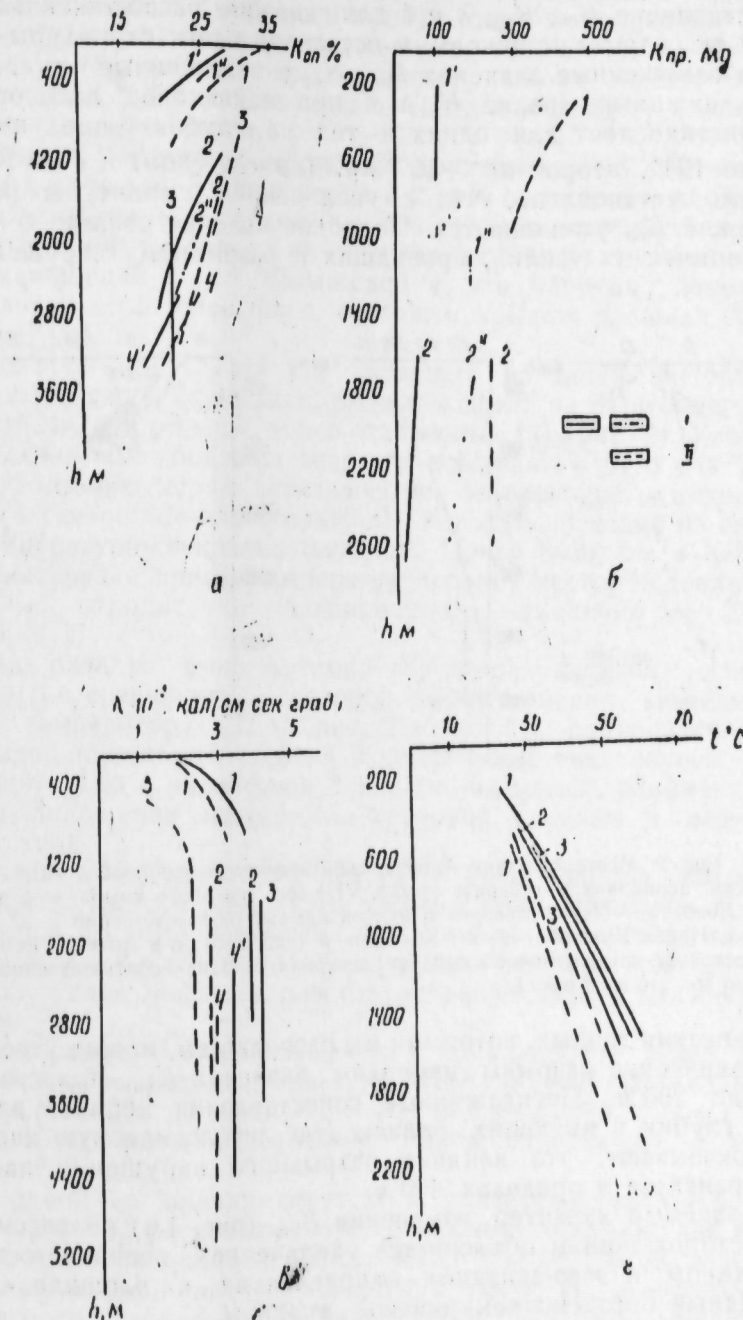


Рис. 1. Месторождения Нижнекуринской впадины:
а, б, в — Каламадын—1—1'—1"; Кюровдаг—2—2'—2";
Кюрсангя—3—3'; Карабаглы—4—4';
г—Кюровдаг—1; Хиллы—2; Нефтечала—3;
1, 2—средние значения параметров скважин, расположенных
соответственно в зоне и вне зоны влияния тектоники,

Температура определялась в долгопространствующих скважинах с установленным тепловым режимом, и кривая ее изменения прослеживается до больших глубин.

Резко выраженный криволинейный характер изменения $K_{оп}$, $K_{пр}$, λ и t в верхнем интервале обусловлен уплотнением пород под действием горного давления.

Сопоставление $K_{оп}$, $K_{пр}$, λ и t для скважин, расположенных в зоне до 250 м от разрыва, с таковыми остальной части структуры (рис. 1) выявляет заниженные значения $K_{оп}$, $K_{пр}$ и завышенные λ и t . Детальный поскважинный анализ $K_{оп}$ и λ при одинаковой литологической характеристике дает для одних и тех же глубин размах изменения первой до 10%, второй до $3 \cdot 10^{-3}$ кал/(см·сек·град) и t до 10°. Причем твердо установлено, что с увеличением амплитуды разрыва λ возрастает, а $K_{оп}$ уменьшается. Подобное явление связано с характером тектонических усилий, приведших к разрывному нарушению.

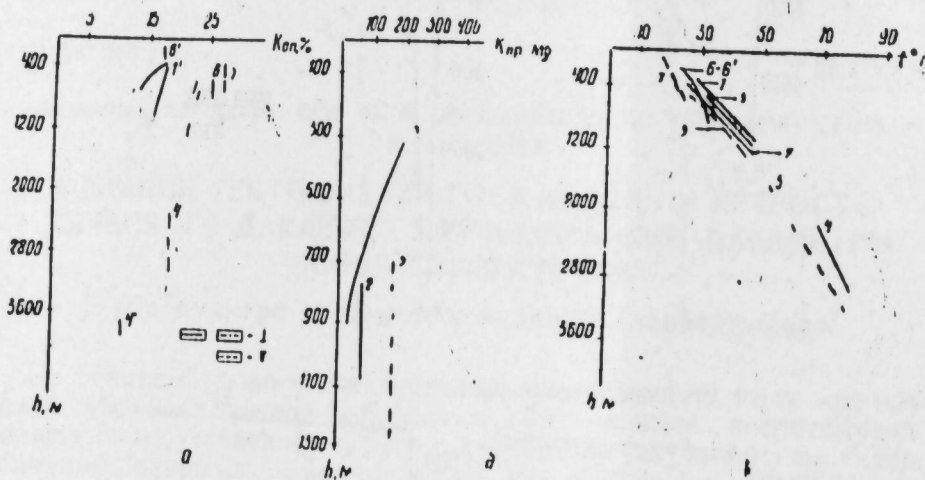


Рис. 2. Месторождения Апшеронской нефтегазоносной области:
Локбатан: периклиналь, северное крыло, VIII гор. северного крыла—соответственно VIII гор.—1'; Локбатан—Пута: северное и южное крылья—соответственно 2—2'; Аташки: 3; Новая Кушхана—4—4'; Карадаг—5 (см. 215); о-в Артема: юго-западное и северо-восточное крылья южной складки, северная складка—соответственно 6'—6—7
1, II—то же, что и на рис. 1.

На основании данных, которыми мы располагаем, можно утверждать, что тектонические разрывы изменяют значения $K_{оп}$, $K_{пр}$ и λ на расстояние до 250 м. Поскважинные сопоставления кернов, взятых со сходных глубин и имеющих одинаковую литологическую характеристику, показывают, что влияние разрывного нарушения на $K_{оп}$ и λ распространяется в пределах 400 м.

Наблюдаемый характер изменения $K_{оп}$ (рис. 1 а) по рассматриваемым месторождениям объясняется увеличением песчанистости в северо-западном и юго-западном направлениях к площади Сальяны [2]—западный борт Нижнесуринской впадины.

Резко завышенные значения температур в северо-западной части структуры Нефтечала по сравнению с юго-восточной являются результатом большой удельной раздробленности, приведшей к уплотнению пород.

Температура в скважинах, удаленных от разрыва, ниже, чем в скважинах, расположенных у разрыва, где значения ее возрастают (рис. 1 г).

Представленные на рис. 2 месторождения Апшеронской нефтегазоносной области дополнительно подтверждают установленную закономерность.

Сравнительно с северным крылом периклинальная часть площади Локбатан, представляющая собой горст, будучи подвергнутой тектоническим напряжениям, характеризуется заниженными значениями $K_{оп}$ и завышенными t . По данным промысловых исследований скважин за 1970—1975 гг., по пяти горизонтам площади Локбатан—Пута среднее значение $K_{пр}$ южного крыла меньше, чем северного, тогда как t —больше (рис. 2 б, в). Это связано с относительно большими углами падения южного крыла.

Увеличение амплитуды взброса от периклинальной части площади Локбатан к площади Аташки почти в 2 раза привело к еще большему уплотнению пород в последней, с чем связано значительное уменьшение в Аташки $K_{оп}$ (рис. 2 а). Тектонический фактор вызвал здесь также уменьшение $K_{пр}$ и повышение t , что особенно заметно при сопоставлении этой площади с северным крылом площади Локбатан [1, 5] (рис. 2 б, в).

Анализ значений $K_{оп}$ и t VIII горизонта на площади Новая Кушхана показал, что в скважинах, расположенных на расстояние от разрыва до 250 м, $K_{оп}$ меньше, чем в отдаленных [1] (рис. 2). Увеличение углов падения VIII горизонта вверх по восстанию в 5—6 раз, приведшее к уплотнению пород, отразилось на температуре скважин, находящихся в северной части структуры. Это хорошо видно из сопоставления температурных кривых площадей Новая Кушхана и Карадаг: в верхнем интервале кривая температур первого месторождения увеличивается и отходит от закономерного изменения ее Карадаге (рис. 2 в).

Южная складка о-ва Артема, характеризующаяся надвиговым строением, по сравнению с северной имеет меньшее значение $K_{оп}$ и большую температуру [1, 4] (рис. 2 а, в). $K_{оп}$ поднадвиговой зоны (с.-в. крыло), в меньшей степени подвергнутая тектоническому сжатию сравнительно с надвиговой зоной (ю.-з. крыло), занимает промежуточное положение между $K_{оп}$ северной складки и надвинутым крылом южной.

Завышенные значения температур в зоне разрыва наблюдались нами и ранее. Выработка на основании этого методика обнаружения разрывов по температурным замерам была применена на Нефтяных Камиах и в Сулутепе [4]. Завышенные температуры как следствие крутых углов падения пластов встречались и в месторождении Чахнагляя [4].

Таким образом, установлено, что с увеличением углов падения пласти, амплитуды разрыва, близости расположения скважин к тектоническому разрыву значения $K_{оп}$ и $K_{пр}$ уменьшаются, а λ и t возрастают, что объясняется уплотнением пород, обусловленным тектоническим фактором.

Из-за одной из причин отсутствия универсальной связи между $K_{оп}$ и $K_{пр}$ является расположение исследованных скважин вне влияния этого фактора. При наличии достаточного количества исследованных скважин на площади ввиду уменьшения $K_{оп}$ и $K_{пр}$ в зоне влияния тектонического разрыва кривая зависимости $K_{оп} = f(K_{пр})$ будет иметь наклонный характер.

Из изложенного вытекает, что существующие карты региональной изменчивости $K_{оп}$, $K_{пр}$, λ и t несколько искажают действительность, ибо при определении средних значений этих параметров по структуре не учитывалось ни влияние тектонического фактора, ни удельная раздробленность структур.

При подсчете запасов нефти и газа, а также при разработке месторождений к залежам, пользуясь установленной площадной закономерностью изменения $K_{оп}$, $K_{пр}$, λ и t , следует подходить дифференцированно, ибо параметры пласта по структуре изменяются в зависи-

мости от этих факторов, что, естественно, может повлиять на плотность скважин, характер режима залежи, нефтеотдачу, нефтенасыщенность и т. д.

Литература

1. Али-заде А. А., Ахмедов Г. А., Аванесов В. Т. Каталог коллекторских свойств продуктивной толщи Азербайджана, кн. I, II. Баку „Элм”, 1971. 2. Ахмедов А. М., Ханларова Ш. Г. „Азерб. нефт. хоз.”, 1961, № 12. 3. Гарушиян В. М., Мустафаев Т. Х. „Изв. вузов. Нефть и газ”, 1972, № 2. 4. Мехтиев Ш. Ф., Геодекян А. А., Цатуриянц А. Б., Тер-Карапетянц Ж. Н., Байрамов Э. М., Шабанов С. Ф. Геотермия нефтегазоносных областей Азербайджана и Туркмении. М., „Наука”, 1973. 5. Мехтиев Ш. Ф., Мирзаджанзаде А. Х., Алиев С. А. Геотермические исследования нефтяных и газовых месторождений. М., „Наука”, 1971.

Институт геологии им. Губкина

Поступило 13. IX 1977

Ш. Ф. Мехтиев, К. Н. Тер-Карапетянс, Э. А. Элиев

ТЕКТОНИК ФАКТОРУН ВӘ ПЕТРОСТАТИК ТӘЗЈИГИН КОЛЛЕКТОР СҮХУРЛАРЫН ФИЗИКИ ПАРАМЕТРЛӘРИНӘ ТӘ'СИРИ
(Азәрбајҹаның бир сыра јатаглары тимсалында)

Мәгәләдә Азәрбајҹаның 12 јатагының бөјүк фактику материалдары әсасында петростатик тәзҗигинин, тектониканың гырылма амплитудасының вә лајын мејл бучагының јатагы әлагәди мәсамәләнијинин гијметинә, кечиричилүүнә, сүхурларын истилекчирилүүнә вә лај температурунун дәјишишмәсина тә'сири көстәрилүү.

Нефт сүтијатының несабланмасы, јатагы ишләнмәсін вә параметр хәритәләринин тәртіб олуналасы үчүн ганунауғунылуглар тәклиф олунар.

Sh. F. Mekhtiev, Zh. N. Ter-Karapetyants, A. A. Aliev ,

INFLUENCE OF A TECTONIC FACTOR AND ROCK PRESSURE
ON PHYSICAL PARAMETERS OF ROCKS-COLLECTORS
(on the example of some deposits of Azerbaijan)

On the base of a great actual material on 12 deposits of Azerbaijan the authors show the influence of rock pressure, tectonics, the value of a break, amplitude and angles of a reservoir drop on the change of values of open-porosity, permeability, heat conductivity of rocks and temperature of the deposit.

The authors suggest to consider the established regularities when estimating oil reserves, developing a deposit and constructing parametrical maps.

АЗӘРБАЙЧАН ССР ЕЛМЛӘР АКАДЕМИЈАСЫНЫҢ МӘРҮЗӘЛӘРИ

ДОКЛАДЫ АКАДЕМИИ НАУК АЗЕРБАЙДЖАНСКОЙ ССР

ТОМ XXXIV ЧИЛД

№ 2

1978

УДК 550.424:573.063:564.581 (479—12)

ПАЛЕОБИОГЕОХИМИ

Ак. А. АЛИ-ЗАДЕ, Ш. Б. АСЛАНОВ

СОДЕРЖАНИЕ МИКРОЭЛЕМЕНТОВ В РОСТРАХ
АПТСКИХ БЕЛЕМНИТОВ ЮГО-ВОСТОЧНОГО
ОКОНЧАНИЯ БОЛЬШОГО КАВКАЗА

(Представлено академиком АН Азербайджанской ССР М. М. Алиевым)

Выяснение характера распространения микроэлементов и концентрации их в скелетных образованиях организмов представляет большой интерес с точки зрения изучения палеогеографических и палеобиологических особенностей бассейнов минувших геологических эпох.

Несмотря на то что сведения о присутствии тех или иных элементов и их соединений в рострах белемнитов известны давно, все же до сих пор этот вопрос не нашел своего всестороннего разрешения.

Микроэлементарный состав ростров меловых белемнитов юго-восточного окончания Большого Кавказа, по существу, совершенно не изучен.

По результатам проведенных нами приближенного количественного спектрального и химического анализов установлено, что в рострах аптских белемнитов юго-восточного окончания Большого Кавказа присутствуют следующие микроэлементы: Mg, Sr, Mn, Fe, Al, Cu, Si, Ti, Pb, V, Na, K, Li, Rb и Cs, причем Mg, Sr, Mn, Si, Fe, Al, Na, K, Li, Rb и Cs — постоянно (рисунок). В двух образцах найден барий. Остальные элементы обнаруживаются не всегда.

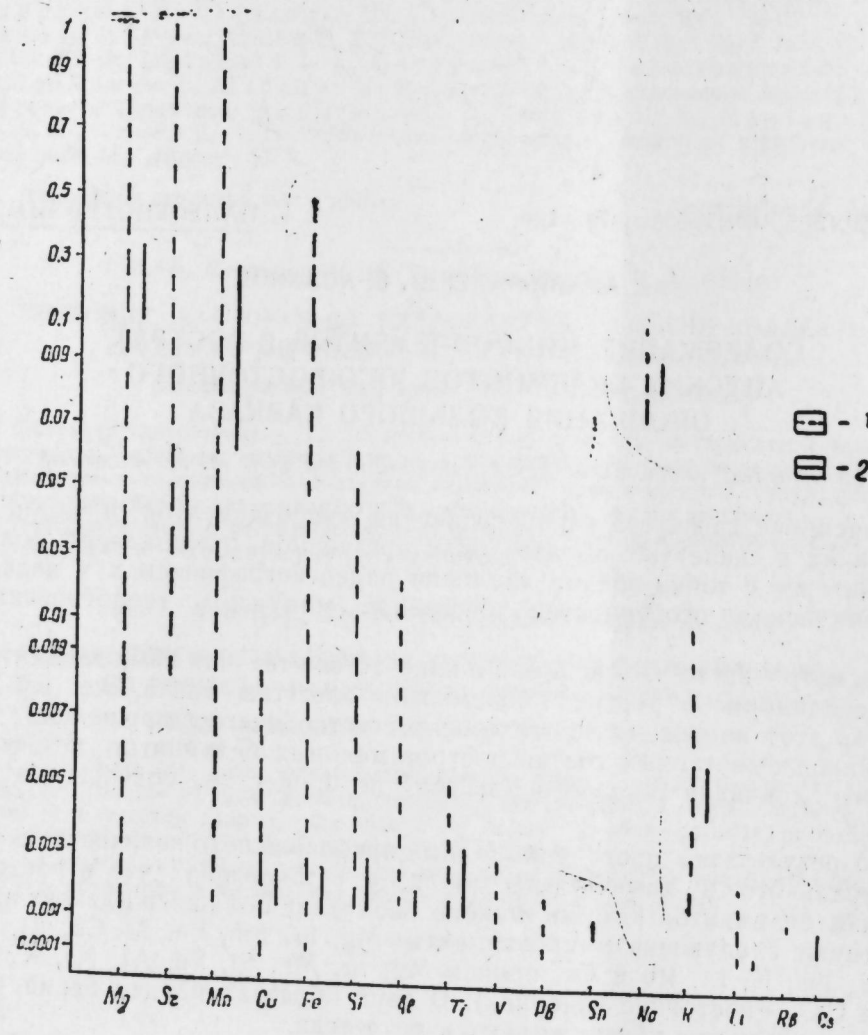
Магний. Этот элемент, как правило, входит в минеральную фазу скелета. Его концентрация и предел содержания в организмах во многом зависит от филогенетического контроля, температуры окружающей среды, кристаллической структуры карбоната кальция, слагающего твердую ткань раковины, процесса метаболизма и др.

Как известно, содержание Mg в раковинах находится в обратной зависимости от уровня филогенеза. Прямая зависимость наблюдается в отношении температуры. Существенное значение имеет также структура карбоната кальция при концентрации магния в скелетных образованиях. Обычно высокое содержание этого элемента приурочено к кальцитовой структуре, а низкое — к арагонитовой.

Концентрация магния в рострах аптских белемнитов юго-восточного окончания Большого Кавказа в основном колеблется в пределах 0,1—3,0%. Наибольшее его содержание (1%) отмечается в ростре *Neohibolites cf. wollemanni* (Stoll.) из верхнеаптских отложений г.

Дибрар, наименьшая (0,001%)—в ростре *Mesohibolites elegans* (Schwetz) из верхнеаптских отложений с. Тазакенд. В пяти образцах магний составляет сотые доли процента (0,05–0,06).

Стронций. Характер распределения и концентрация этого элемента в ископаемых остатках связаны в основном с филогенетическим уровнем организмов, кристаллической структурой карбоната кальция, биогеническими особенностями бассейна.



Содержание микроэлементов в рострах аптских белемнитов юго-восточного окончания Большого Кавказа:
1—предел колебания; 2—стабильная концентрация.

Установлено, что чем выше филогенетический уровень организмов, тем меньше в них стронция. Положительная корреляция наблюдается между содержанием Sr и температурой, а также соленостью окружающей среды. В отличие от Mg, Sr более характерен для арагонитовых структур.

Содержание Sr в исследованных образцах ростров аптских белемнитов колеблется в пределах 0,03–0,05%. Минимальная концентрация этого элемента составляет 0,008%—ростры *Neohibolites aptiensis ewaldii* Stoll. (бассейн р. Атчай) и *N. cf. bogdanoviischi* Ak. Aliz. (г. Дибрар). Максимальное содержание Sr (1%) отмечается только в

два образцах—*Neohibolites cf. wollemanni* Stoll. (с. Тазакенд) и *N. cairicus* Natz (с. Алтыагач). Во всех исследованных образцах придается более повышенной концентрацией стронция.

Марганец. Присутствие этого элемента в раковинах организмов контролируется полиморфными разностями карбоната кальция (Mп в основном приурочен к кальцитовой структуре), условиями обитания организмов, диагенетическими изменениями и т. д.

В рострах аптских белемнитов юго-восточного окончания Большого Кавказа Mп обнаруживается в значительных количествах. Предел его содержания колеблется в широком диапазоне—от 0,001 до 1%.

Как и Sr, Mп преобладает в приальвеолярной области ростров. По-видимому, это явление связано с диагенетическими изменениями, которые здесь более интенсивны, чем на других участках ростров.

Медь. Присутствие меди в ископаемых остатках организмов связано с литологическим составом вмещающих пород, возрастом этих пород, соленостью морской воды и т. д.

Содержание меди в рострах аптских белемнитов варьирует от десятических до тысячных долей процента. Максимум его (0,006–0,008%) наблюдается в шести образцах.

Железо относится к числу биологически важных элементов. Наличие его в раковинах организмов обусловливается кристаллической структурой карбоната кальция, составом вмещающих пород и вторичными изменениями.

Содержание железа в рострах аптских белемнитов варьирует в пределах от тысячных до десятых долей процента. Максимум его (0,5%) отмечается в рострах *Neohibolites azerbaijanensis* Ak. Aliz., *N. aptiensis ewaldii* Stoll. из верхнеаптских отложений бассейна р. Чикильчай.

При сравнении отдельных участков ростров по содержанию железа выявляется, что наиболее обогащен этим элементом приальвеолярный участок. Только в одном случае, в ростре *Neohibolites montanus* Ak. Aliz. из нижнеаптских отложений бассейна р. Тударчай, концентрация железа одинакова как на приальвеолярном участке, так и в области острия.

Кремний. Кремний вместе с Ca и Mg входит в минеральную fazu скелета. Высокий процент этого элемента в ископаемых остатках связан с процессами окремнения.

В исследованных рострах содержание Si колеблется в пределах от тысячных до сотых долей процента. Наибольшая концентрация его наблюдается в ростре *Mesohibolites cf. semicanaliculatus* (Blainv.) из верхнеаптских отложений сел. Гарнбан и составляет 0,0654% (по результатам химического анализа). Для кремния также характерно преимущественное накопление в приальвеолярной области.

Алюминий. Биологическая функция алюминия в организмах изучена недостаточно. Содержание этого элемента в наших образцах носит постоянный характер, выражаясь в основном 0,001–0,003%. В шести образцах—*Neohibolites montanus* Ak. Aliz., *N. cf. strombecki* (Mall.) Stoll., *Mesohibolites cf. semicanaliculatus* (Blainv.)—концентрация этого элемента выражается в сотых долях процента (0,01–0,02).

Титан—один из малоизученных микроэлементов в ископаемых остатках организмов обнаруживается не всегда. Нами он установлен в рострах белемнитов, где содержание его варьирует в пределах 0,001–0,0539%. Приальвеолярная область во всех исследованных образцах отличается сравнительно повышенной концентрацией титана.

Ванадий. Этот элемент в рострах аптских белемнитов юго-восточного окончания Большого Кавказа обнаружен в 18 образцах. В

10 его содержание составляет 0,0003%, а в остальных—0,0008—0,003%. Как и некоторые предыдущие элементы, в приальвеолярной области ростра встречается в сравнительно больших количествах.

Свинец и олово. Присутствие этих элементов в скелетных образованиях не совсем объяснимо. Наличие свинца в ископаемых раковинах связано, как нам кажется, с посмертными разложениями организмов. Существенную роль играет кристаллическая структура карбоната кальция.

Свинец обнаружен всего в шести образцах. Содержание его колебляется в пределах от десяти тысячных (нередко и меньше) до тысячных долей процента и составляет менее 0,0003—0,002%.

Олово обнаружено в пяти образцах—менее 0,001%.

Натрий и калий. Эти элементы положительно коррелируются соленостью морской воды. Деке (1), количественно определив концентрацию Na и K в рострах юрских белемнитов, предположил, что высокое содержание $\text{Na}_2\text{O} + \text{K}_2\text{O}$ (0,51%) в рострах *Belemnites elongatus* и (3,12%) *Belemnites clavatus* указывает на формирование их под воздействием морской воды.

В рострах аптских белемнитов Na и K концентрируются в значительных количествах и обнаруживаются во всех исследованных образцах. Содержание их в рострах стабильно: для Na предел колебания составляет 0,074—0,111%, для K—0,001—0,007. В одном образце—*Mesohibolites cf. semicanaliculatus* (Blainv.) концентрация K составляет 0,014%.

Для Na и K также характерно повышенное содержание в приальвеолярной области.

Литий, рубидий и цезий. Сведения о распределении редкозелочных элементов в раковинах ископаемых моллюсков и их биологическая значимость в научной литературе освещены очень слабо.

Наличие этих элементов в раковинах ископаемых моллюсков связано главным образом с литологическим составом вмещающих пород. Среди осадочных пород по содержанию Li, Rb, Cs выделяются глины. Содержание лития в исследованных образцах составляет 0,0002—0,0004%, рубидия—0,0009—0,0018%, цезия—<0,0004—0,0009%.

Из всех микроэлементов, обнаруженных в рострах аптских белемнитов, наибольшего внимания заслуживают Mg, Sr и Mn, так как характер распределения и предел содержания их в раковинах организмов позволяют в определенной мере судить о палеоэкологической и палеогеографической обстановке минувших геологических эпох. В частности, характер распределения и предел содержания Mg и Sr в рострах аптских белемнитов контролируются филогенетическим уровнем, что еще раз свидетельствует о высокой биологической организованности этих организмов. Кроме того, количественное содержание этих микроэлементов в раковинах, как известно, тесно связано с температурным фактором. Установленное сравнительно низкое содержание Mg и Sr в рострах аптских белемнитов свидетельствует об умеренной температуре среди их обитания, что хорошо согласуется с ранее полученными абсолютными масс-спектрометрическими данными [2].

Значительное количество Mn, обнаруженного в рострах аптских белемнитов юго-восточного окончания Большого Кавказа, подтверждает имеющиеся в литературе данные [3, 4] о высокой степени концентрации этого элемента в пелагических областях бассейнов. Следует, по-видимому, полагать, что к такого же характера бассейнам можно отнести и аптское море юго-восточного Кавказа.

Предел содержания и характер распределения остальных микроэлементов в рострах аптских белемнитов контролируются в основном кристаллической структурой карбоната кальция и составом вмещающих отложений.

Литература

1. Deecke W. Die Fossilisation. Berlin, 1923.
2. Али-Заде Ак. А., Алиев С. А. «Геохимия», 1975, № 10.3. Страхов Н. М. Основы теории литогенеза, тт. I—III. М., Изд-во АН СССР, 1956.
3. Страхов Н. М. Залманзон Е. С., Глаголева М. А. «Геохимия», 1956, № 6.
4. Тихомирова Е. С. «ДАН СССР», 1962, № 3.

Институт геологии им. Губкина

Поступило 30. IX 1977

А. А. Элизадэ, Ш. Б. Асланов

БЕЈҮК ГАФГАЗЫН ЧЭНУБ-ШЭРГ ГУРТАРАЧАҒЫ АПТ БЕЛЕМНИТЛЭРИНИН РОСТЛАРЫНДА МИКРОЕЛЕМЕНТЛЭРИН МИГДАРЫ

Апартымыш тәдгигатлар иэтічесіндә мүәжжән олунмуш дур ки, Бејүк Гафгазын чэнуб-шәрг гуртарағынын апт белемнитләринин ростларында ашағыдақы микроэлементләр иштирак едир: Mg, Sr, Mn, Fe, Al, Cu, Si, Ti, Pb, Sn, V, Na, K, Li, Rb, Cs.

Бүнләрдан тәдгиг олунмуш нұмунәләрдә дайма ашағыдақылар иштирак едир: Mg, Sr, Mn, Si, Fe, Al, Na, K, Li, Rb, Cs.

Галан микроэлементләрә исә һәмнишә раст көллинмир.

Ak. A. Ali-zade, Sh. B. Aslanov

THE CONTENT OF MICROELEMENTS IN THE ROSTRA OF APT BELEMNITS OF THE SOUTH-EASTERN EDGE OF THE GREATER CAUCASUS

Elucidation of microelements spreading character and their concentration in skeletal formations of organisms are of great interest from the point of view of studying the paleogeographical and paleobionomic features of the past geological epochs basins.

By the results of conducted analyses it was ascertained that the following micro-elements Mg, Sr, Mn, Fe, Al, Cu, Si, Ti, Pd, Sn, V, Na, K, Li, Rb, Cs are present in the rostra of apt belemnits of the south-eastern edge of the Greater Caucasus. Only Mg, Sr, Mn, Si, Fe, Al, Na, K, Li, Rb, Cs are always present in all the investigated samples. The presence of other elements doesn't bear constant character. Some aspects of phylogenetic level, temperature, conditions of inhabitation and so on are elucidated by the character of distribution and content of microelements in the rostra.

От близкого *Lecanora rupicola* (L.) A. Zahlbr. наш вид отличается толстыми слоевищными краями, реакцией слоевища на KOH и шаровидными спорами.

Название вида дано в память выдающегося советского лихенолога А. Н. Окснера (1898—1973).

УДК 592.29

В. С. НОВРУЗОВ

БОТАНИКА

НОВЫЕ ВИДЫ ЛИШАЙНИКОВ ИЗ РОДОВ LECANORA
И MICROPHIALE

(Представлено академиком АН Азербайджанской ССР
В. И. Ульянищевым)

Настоящая статья написана по результатам обработки лихенологического материала, собранного нами во время лихенологической экспедиции по высокогорьям Большого Кавказа в пределах Азербайджанской ССР в период 1974—1976 гг. Исследования лихенофлоры проводились в горном лесу, субальпийском, альпийском и субнivalьном поясах. Обследовано 30 горных хребтов, собрано около 4000 образцов лишайников. При определении материала выявлены некоторые новые для науки и для Азербайджана лишайники из различных систематических групп. В настоящей статье приводится описание двух новых для науки видов из родов *Lecanora* и *Microphiale*. Обработка гербарного материала проводилась в лихено-биологическом гербарии Института ботаники АН Азербайджанской ССР. За оказанную помощь при определении новых видов автор выражает искреннюю признательность д-ру биол. наук Ш. О. Бархалову.

Ниже дано описание этих видов.

Lecanora oxneri Novgruz. sp. nov.

Слоевище накипное, до 6 см шир., толстое, до 1 мм толщ., трещиновато-ареолированное, светло-серого цвета. Апотеции леканориновые, до 1,5 мм диам., прижатые, округлые, желтовато-коричневые. Диск апотециев сначала плоский, затем очень выпуклый до полушаровидного, большей частью с густым серым налетом, окруженный толстым, цельным или слегка волнистым слоевищным краем одного цвета со слоевищем. Эксципул до 12 мкм выс., зернистый, коричневатый. Гипотеций 13 мкм выс., желтоватый. Эпитеций до 14 мкм выс., желто-коричневатый. Гимениальный слой до 15 мкм выс., бесцветный. Парафизы неразветвленные, плотно сросшиеся, до 2 мкм толщ., вверху слегка коричневатые. Сумка удлиненно-булловидные, бесцветные, расположены в несколько рядов, шаровидные, 6,6—9,9×6,6—9,9 мкм.

Слоевище и диск апотециев от KOH сначала желтеют, а затем пурпурно краснеют, от CaCl_2O_2 только желтеют, гимениальный слой от йода синеет. Гонидии *Protococcus* (рис. 1).

Тип. СССР: Азербайджан, Белоканский р-н, г. Маала-Расса, 3210 м, на силикатных скалах, 28. VII 1974; В. С. Новрузов; хранится в Институте ботаники АН Азерб. ССР в г. Баку.



Рис. 1. *Lecanora oxneri Novgruz. sp. nov.*

Thallus crustaceus, ad 6 cm latus, crassus, ad 1 mm crassus, rimoso-areolatus, pallide griseus. Apothecia lecanorina, ad 1,5 mm in diam., appressa, orbicularia, plavido-brunnea, disco inito plano, deinde convexo, interdum etiam hemisphaerico, plerumque dense griseopruinoso, margine thallino crasso integro vel subflexuoso, thallo concolori cincto. Excipulum ad 12 μ m altum, granulosum, brunneascens. Hypothecium 13 μ m altum, flavidum. Epithecum ad μ m altum, flavobrunnescens. Stratum hymeniale ad 15 μ m altum, hyalinum. Paraphyses non ramosae, arcte connatae, ad 2 μ m crassae, superne brunnes centes. Ascii elongato-clavati, hyalini, seriati, globosi, 6,6—9,9×9,9 μ m, Thallus et discus apothecii addito KOH flavescentes; stratum hymeniale addito J coerulescens. Algae ad instar *Protococcus* (fig. 1).

Typus URSS: Azerbajdzhania, distr. Belokanskij, montes Maala-Rassa, 3210 m. s. m., in rupibus silicatis, 28. VII 1975; V. S. Novrusov; in Institutio Botanicae Acad. Sci RSS Azerbajdzhaniae (Baku) conservatur.

A *Lecanora rupicola* (L.) A. Zahlbr., cui affinis est, species nostra margine thallino crasso, thallicum KOH reactione necnon sporis globosis differt.

Species in memoriam lichenologi sovietici clarissimi A. N. Oxneri denominata est.

Microphiale barchalovii Novgruz. sp. nov.

Слоевище 2,5—3,5 см, в виде мелкозернистой, сплошной корочки, очень тонкое, пепельно-серое, прикрепленное к субстрату сердцевинными гифами. Апотеции леканоринового типа, многочисленные, округлые, 0,5—1,5 мм в диам. на поверхности слоевища. Диск фиолетово-карминовый до темно-пурпурового, покрыт сильным беловатым налетом, плоские старые апотеции выпуклые. Край апотеций—одного цвета со слоевищем, цельный, возвышается над диском. Эксципул бесцветный, 5 мкм выс. Гимениальный слой 12 мкм выс. Гипотеций

бесцветный, 13 мкм выс. Парапизы тонкие, неразветвленные, вверху головчатые. Сумки удлиненно-цилиндрические, 14 мкм выс. Споры двухклеточные, цилиндрическо-булавовидные, бесцветные, со срединной перегородкой, по 8 в сумке, расположены в 1–2 ряда, 26,6–29,9×13,3–16,6 мкм.

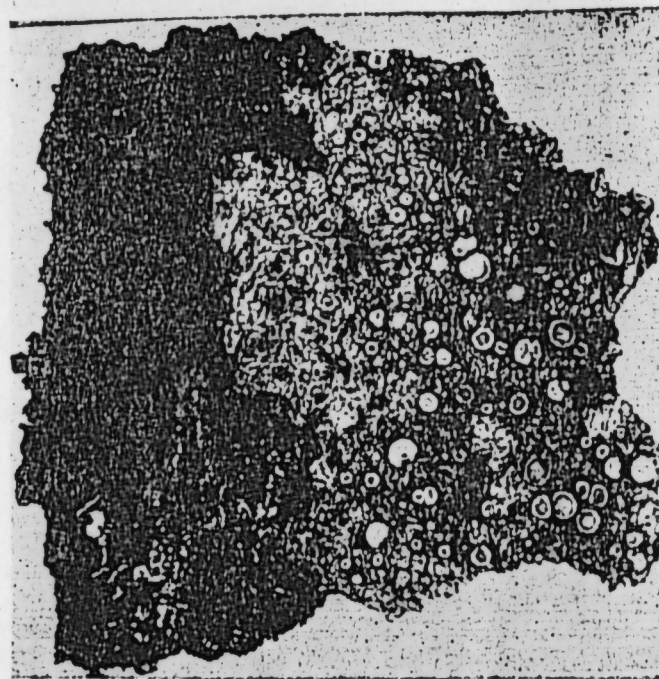


Рис. 2. *Microphiale barchalovii* Novruz. sp. nov.

Слоевище от KOH желтеет, от CaCl_2O_2 не изменяется. Гименальный слой от йода синеет. Эксципул и гипотеций от йода в окраске не изменяются (рис. 2).

Тип. СССР: Азербайджан, Белоканский р-н, территория Закатальского государственного заповедника, г. Аккмала, в горном лесу 1800 м, на коре бука, 22. VIII 1974; В. С. Новрузов; хранится в Институте ботаники АН Азерб. ССР в г. Баку.

Наш вид близок к *Microphiale lutea* (Dicks.) A. Z., но явственно отличается от него более крупными размерами спор, изменяющейся от действия KOH окраской и фиолетово-карминовым диском, покрытым беловатым налетом.

Новый вид *Microphiale barchalovii* Novruz назван в честь лихенолога д-ра биол. наук Ш. О. Бархалова.

Thallus 2,5–3,5 cm, crustaceus parvigranulosus continuus, tenuissimus, cinereus, substrato hyphis medullaribus affixus. *Apothecia* lecanorina, numerosa, orbicularia, 0,5–1,5 mm in diam., ad superficiem thallitisa. *Disco* violaceo-carmesinawel atro-purpureo, valde albido-pruinosa, plana aetate convexa, margine thallo concolor, integro, supra discum elevato. *Excipulum* hyalinum, 5 mk altum. *Stratum* hymeniale 12 mk altum. *Hypotheclum* hyalinum, 13 mk altum. *Paraphyses* tenues, non ramosae, apice capitae. *Asci* elongato-cylindrici, 14 mk alti. *Sporae* bicellulares, cylindrico-clavatae, hyalinae medio septatae, in asco per 8 uni-biserialiter dispositae, 26,6–29,9×13,3–16,6 mk.

Thallus addito KOH flavescens, addito CaCl_2O_2 non mutatur. *Stratum* hymeniale addito J coerulescens. *Excipulum* et *hypotheclum* addito J non mutantur (fig. 2).

Typus. URSS: Azerbajdzhaniae, distr. Belokansky, territorium Reservatum publicum Zakatalsky, montes Akkmal, in silva montana, 1800 m. s. m., in cortice Fagi. 22. VIII 1974; V. S. Novrusov; in Instituto Botanicae Acad. Sci. RSS Azerbajdzhaniae (Baku) conservatur.

Species nostra a *Microphiale lutea* (Dicks.) A. Z. cui affinis est, sporis majoribus, coloratione addito KOH mutata et disco violaceo-carmesino albido-pruinosa differt.

Институт ботаники им. В. Л. Комарова

Поступило 18. V 1977

В. С. Новрузов

LECANORA ВӘ MICROPHIALE ЧИНСЛӘРИНДӘН ЈЕНИ ШИБЈӘ НӨВЛӘРИ

Мәгәләдә елам үчүн јени олан *Lecanora oxneri* Novrus. вә *Microphiale barchalovii* Novruz. нөвләринин тәсвири берилir.

V. S. Novrusov

NEW SPECIES FROM THE GENUS OF LECANORA AND MICROPHIALE

Detailed description of the *Lecanora oxneri* Novrus. and *Microphiale barchalovii* Novruz. found in the Major Caucasus is given in the article in Russian and Latin.

Почвы	Средняя глубина, см	Гумус			CaCO ₃			Емкость обмена (по сумме оснований), мг/экв		Ca:Mg
		\bar{x}	$S\bar{x}$	запас, мг/га	\bar{x}	$S\bar{x}$	запас, мг/га	\bar{x}	$S\bar{x}$	
Целинные	0—25	2,610	0,074	78	7,61	0,643	226	32,5	0,76	3,5
	25—50	1,510	0,112	51	16,31	1,289	551	27,1	1,22	3,1
	50—100	0,740	0,053	52	20,50	2,185	1449	23,8	0,64	2,0
	100—200	0,404	0,037	54	14,73	1,360	1981	20,9	0,73	1,8
Орошаемые	0—25	2,465	0,089	73	6,88	0,553	204	30,0	0,90	4,1
	25—50	1,177	0,088	62	10,94	0,720	383	30,2	0,96	5,0
	50—100	1,105	0,061	78	13,17	0,778	924	29,7	0,89	2,8
	100—200	0,672	0,056	96	15,66	0,812	2228	26,9	0,92	2,4
Оазисно-орошае-мые	0—25	3,319	0,140	98	6,56	0,522	193	35,6	1,42	3,5
	25—50	2,275	0,134	74	8,76	0,586	285	34,1	0,79	4,3
	50—100	1,450	0,097	99	10,14	0,943	695	31,8	0,92	3,5
	100—200	1,010	0,061	142	11,44	0,837	1612	29,2	0,85	2,5
	200—300	1,070	0,109	143	11,88	1,225	1526	28,0	0,94	2,3

Примечание. \bar{x} —среднее значение показателя, %; $S\bar{x}$ —ошибка среднего показателя.

отличаются верхние окультуренные слои ($3,32 \pm 0,14\%$). Погребенные почвенные слои (175—200, 215—260 см) также богаты гумусом. Именно поэтому, а также вследствие того что ирригационные насосы богаты органическими веществами, глубокие горизонты (200—300 см) оазисно-орошаемых почв по запасу гумуса в 3—4 раза превосходят орошаемые и целинные почвы того же объекта.

Обработка многочисленных данных с целью сравнения и выявления основных различий в химизме целинных (первичных) почв и почв разной давности орошения, проведена нами посредством координатного метода диагностики почв [2], основным практическим приемом которого является использование двух- и трехвекторных графиков (вариограммы).

Указанный метод позволяет отразить генетически важные профильные изменения того или иного диагностического признака, приняв за основу его значения в слоях 0—20 и 20—100 см. Использование координатного метода диагностики почв открывает большие возможности при обработке многочисленных экспериментальных данных географических и стационарных исследований в сравнительном аспекте. Так, нами произведено сравнение по запасам гумуса, CaCO₃ и величине емкости обмена целинных, орошаемых и оазисно-орошаемых почв в слоях 0—25 и 25—100 см, 0—50 и 50—100 см, 0—100 и 100—200 см. Сделана также попытка, используя среднестатистические данные по этим же показателям, получить общие закономерности их изменений.

Как видно из рисунка, точечные отметки запаса гумуса в разных слоях по целинным, орошаемым оазисно-орошаемым почвам образуют вполне компактные поля распределения. Оазисно-орошаемые почвы по запасу гумуса во всем профиле очень далеко (в сторону увеличения) отходят от целинных и орошаемых почв. Орошаемые же почвы при довольно близком и даже меньшем запасе гумуса в верх-

УДК 631.48—497.2

ПОЧВОВЕДЕНИЕ

М. П. БАБАЕВ

ИЗМЕНЕНИЕ ПОЧВ СУХОСТЕПНОЙ СУБТРОПИЧЕСКОЙ ЗОНЫ
АЗЕРБАЙДЖАНСКОЙ ССР ПОД ВЛИЯНИЕМ ОРОШЕНИЯ

(Представлено академиком АН Азербайджанской ССР В. Р. Волобуевым)

Орошение, будучи одним из основных мелиоративных методов интенсификации сельскохозяйственного производства в аридной зоне, в настоящее время является едва ли не наиболее существенным фактором, влияющим на окружающую среду. Длительное и систематическое орошение создает совершенно новый тип водного режима, я почвы, развивающиеся в этих условиях, резко отличаются от первичных—зональных более активной биологической деятельностью и характерной особенностью направления процесса почвообразования.

Ранее нами [1, 3] на основе многолетних стационарных исследований рассмотрено изменение почвенных процессов под влиянием орошения в зоне сухих субтропических степей Азербайджана. В настоящей статье освещаются изменения некоторых химических свойств сухостепных субтропических почв, вызванные интенсивным орошением.

Целинные почвы сухостепной субтропической зоны богаты гумусом. Наибольшее содержание его приурочено к горизонту A₁ ($2,61\% \pm 0,074\%$); в последующих горизонтах оно резко снижается (таблица).

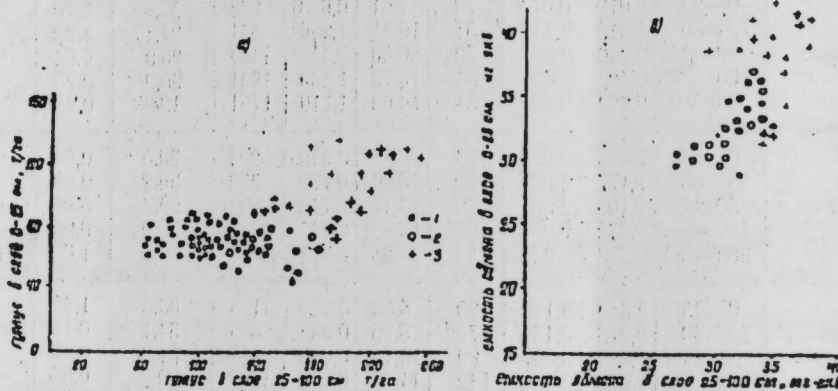
Формирование гумусового профиля и накопление гумуса в орошаемых почвах достаточно сложно и определяется не только количеством остатков культурной растительности, но и систематическим внесением органо-минеральных удобрений, наличием ила, отлагающегося при орошении за поливной сезон, а также благоприятным водным и воздушным режимом, образующимся при длительном и интенсивном орошении.

Орошение в начальной стадии, а прозрачным кирзовыми водами особенно, приводит к снижению абсолютного содержания гумуса в пахотном горизонте ($2,47 \pm 0,089\%$). В орошаемых почвах распределение гумуса по профилю очень равномерное, и этим они резко отличаются от целинных. Орошаемые почвы во втором метровом слое содержат гумуса почти в 2 раза больше, чем целинные.

Оазисно-орошаемые почвы, длительное время находившиеся под поливной культурой, характеризуются высоким содержанием гумуса по всему профилю. Состоит он в основном из агроирригационных наносов. Наиболее высокой концентрацией органического вещества

них слоях явно отличаются глубоким распределением его по всему почвенному профилю.

Целинные почвы сухостепной субтропической зоны отличаются высокой карбонатностью; четко выражен иллювиально-карбонатный горизонт B_{Ca} (глубина появления 40–50 см, концентрация $CaCO_3$ $20.5 \pm 2.19\%$). В почвообразующей породе (глубина 200–300 см) содержание карбонатов снижается до $14 \pm 1.72\%$, т. е. в профиле оно отвечает ряду $B > C > A$.



Распределение отметок запаса гумуса (а) и величины емкости обмена (б) в почвах сухостепной субтропической зоны в слоях 0–25 и 25–100 см:
1—целинные почвы; 2—орошаемые; 3—оазисно-орошаемые.

Сопоставлением данных по запасу $CaCO_3$ в целинных и орошаемых почвах четко установлено влияние орошения на поведение карбонатов. При интенсивном орошении карбонаты выносятся из почвы. В частности, в орошаемых почвах иллювиально-карбонатный горизонт отсутствует, накопление карбонатов отмечается на глубине 200–300 см. В орошаемых почвах имеющийся запас $CaCO_3$ в профиле отвечает ряду $C > B > A$.

Заметный вынос щелочноземельных карбонатов за пределы почвенного профиля в оазисно-орошаемых почвах является результатом действия интенсивного и долголетнего орошения. По имеющимся данным, в условиях Северной Мугани норма орошения $3000 \text{ м}^3/\text{га}$ может привести к потере из пахотного горизонта 300–400 кг/га $CaCO_3$. Так как на территориях, орошаемых мутными водами, почвы ежегодно пополняются щелочноземельными карбонатами (1000–1200 кг/га) за счет взвешенных наносов, то профиль их по содержанию $CaCO_3$ почти однороден.

Закономерности распределения запаса $CaCO_3$ (рисунок) на разных глубинах наглядно иллюстрируют вынос карбонатов по профилю почв в зависимости от давности и интенсивности орошения. Обнаружившееся на графиках довольно обширное поле отметок и некоторая локализация их как по целинным, так и по орошаенным почвам связаны с местными условиями почвообразования.

Почвы сухостепной субтропической зоны плотностью насыщены основаниями. Емкость обмена (по сумме) целинных почв, высокая в верхних горизонтах (A_1) – 32.5 мг/экв , 100 г почвы (коэффициент вариации 11%), с глубиной резко уменьшается, достигая на глубине 100–200 см $20 \pm 1 \text{ мг/экв}$. Некоторое уменьшение ее (30 мг/экв) под влиянием обработки и орошения происходит и в пахотном горизонте. (В нижележащих горизонтах по сравнению с целинными вариантами емкость обмена увеличивается). В орошаемых почвах по всему про-

филю резко возрастает содержание Ca ($Ca:Mg = 2.5 - 5.0$) среди поглощенных оснований. В оазисно-орошаемых почвах в связи с высокой концентрацией в них органического вещества и большим количеством высокодисперсных частиц емкость поглощения более высокая — среднеарифметическое содержание $35.6 \pm 1.42 \text{ мг/экв}$.

Общие закономерности изменения емкости обмена по всему почвенному профилю в целинных, орошаемых и оазисно-орошаемых почвах в сравнительном аспекте хорошо иллюстрируются графиками, построенными в результате обработки многочисленных экспериментальных данных путем использования координатного метода диагностики почв. Как видно из рисунка, изменение емкости обмена по профилю резко отличается распределением отметок, занимая отдельные компактные поля для целинных, орошаемых и оазисных орошаемых почв, что свидетельствует о важном диагностическом значении полученных данных. Емкость обмена, несколько уменьшающаяся в начальной стадии освоения верхних горизонтов (так называемые орошаемые почвы), в более глубоких горизонтах увеличивается. Довольно высокая по профилю оазисно-орошаемых почв, она постепенно и равномерно уменьшается с глубиной.

Выходы

Предварительная обработка данных подтверждает заметное различие между целинными, орошаемыми и оазисно-орошаемыми почвами сухостепной субтропической зоны по выбранным показателям.

Результаты исследований позволяют говорить о реальных возможностях применения координатного метода диагностики почв, предложенного В. Р. Волобуевым, при сравнительно-географических исследованиях.

Литература

- Бабаев М. П. «ДАН Азерб. ССР», XXXI, 1975. № 2. 2. Волобуев В. Р. Система почв мира. Баку, «Элм», 1973. 3. Салаев М. Э., Бабаев М. П. Тр. X. Междунар. конгресса почвоведов. М., 1974.

Институт почвоведения и агрохимии

Поступило 8. IX 1977

М. П. Бабаев

ГУРУ-БОЗГЫР СУБТРОПИК ЗОНА ТОРПАГЛАРЫНЫН СУВАРМАДАН ДӘЖИШМЕСИ

Мәгәләдә гүрү-бозгыр субтропик зона торпагларынын сувармадан дәжишмәсінің бәсіс олунур.

Илкін несабаламалар суварылан торпагларын физики-қимиялық хүсусијеттерінен өсасын хам торпаглардан көсқин фәргләймәсінің ријази дәғигликлә сүбүт едір. Алыныш інтичеләр В. Р. Волобуев тәрәфиндердән тәклиф олунмуш координат методын мұғајисали-чографи торпаг тәдгигатларына тәтбигинин реал имкандарда мәслих олмасыны сөзлеме және имкан берір.

М. Р. Babayev

CHANGEABLE SOILS UNDER THE INFLUENCE OF IRRIGATION IN DRY STEPPE SUBTROPICAL ZONE OF AZERB. SSR

For comparison and exposure of basic chemical characteristics of virgin soils and presentation different irrigational soils experimentalized with the co-ordinate diagnostics method by V. R. Volobuev.
Showing data asserted the difference between virgin soils and irrigational soils.

тыре. Во фракциях 3 (Г-75) и 4 (Г-100, Г-200) элюируются низкомолекулярные белки, сопровождаемые примесями нуклеиновых кислот (таблица). Как видно, независимо от условий выращивания получены три-четыре фракции; профили элюирования почти совпадают. Остальные фракции носят белковый характер (таблица). При электрофорезе

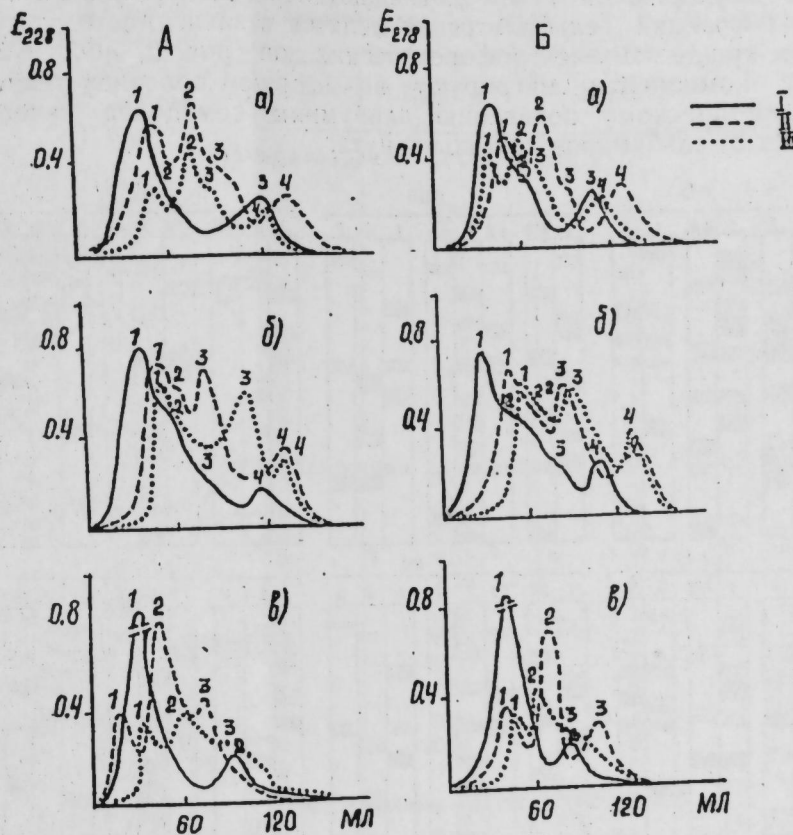


Рис. 1. Кривые гельфильтрации суммарных альбуминов:
A—семена растения, выращенного в Азербайджане;
Б—семена растения, выращенного в Молдавии; а—пшено;
б—чечевица; в—фасоль; I—гельфильтрация на сепадексе
Г-75; II—на сепадексе Г-100; III—на сепадексе Г-200.

На абсциссах—объем элюата, мл; 1M NaCl pH=7.0.

белки отдельных фракций в зависимости от типа сепадекса разделились на три-восемь зон. Независимо от условий выращивания некоторые компоненты из разных фракций обладают сходной электрофоретической подвижностью, но обнаруживают различия по интенсивности окраски. Электрофоретический анализ альбуминовых фракций семядолей пшено показывает, что они многокомпонентны и имеют относительные электрофоретические подвижности (ОЭП) 0,16—0,76 (рис. 2). Условия выращивания не влияют на электрофоретическое поведение и профиль гелевой фильтрации на разных сепадексах суммарных альбуминов семян пшено.

Гелевая фильтрация суммарных альбуминов семядолей чечевицы приведена на рис. 1, схемы электрофорограмм на рис. 2, а отношения экстинций E_{260}/E_{278} —в таблице. Как видно из гельфильтрации на сепадексе Г-75, независимо от условий выращивания они разделяются на четыре фракции, из которых 2 и 3 имеют вид перегибов на правом склоне пика 1. Фракции 1, 2, 3 представлены белками, а фракция 4—белками с примесями небелковых веществ типа нуклеиновых кислот

УДК 633.35:581.19

БИОХИМИЯ

Т. Т. ИБРАГИМОВ

ИССЛЕДОВАНИЕ АЛЬБУМИНОВ СЕМЯН НЕКОТОРЫХ БОБОВЫХ ГЕЛЬФИЛЬТРАЦИЕЙ НА СЕФАДЕКСАХ

(Представлено академиком АН Азербайджанской ССР
И. Д. Мустафаевым)

Альбумины семян, представляющие собой комплекс каталитически активных белков, играют важную роль в жизнедеятельности растений [8, 9]. Известные о них сведения относятся преимущественно к семенам фасоли [7, 11—16]. Данных же по альбуминам семян чечевицы и пшено [1], выращенных в одинаковых почвенно-климатических условиях, и о влиянии условий промзрастания на состав альбуминовой фракции семян очень мало. В настоящей статье приведены результаты изучения поведения суммарных альбуминов, выделенных из семян бобовых растений, которые выращены в различных условиях—Азербайджане и Молдавии. Белки, полученные при гельфильтрации на сепадексах Г-75, Г-100 и Г-200, изучали электрофорезом в поликариламидном геле (ПАГ).

Опыты проводились на семенах полной спелости пшено сорта Узбекистанский 8, чечевицы сорта Азер и фасоли сорта Галинат местная, выращенных в 1975 г. в тех же условиях, что и ранее. Из обезжиренной муки семядолей вышеуказанных бобовых по методу, описанному в [6], получены суммарные белковые экстракти. Из этих экстрактов выделены суммарные альбумины [11—13]. В зависимости от вида бобовых проточный диализ суммарного солерастворимого белкового экстракта вели против дистиллированной воды, подкисленной 2%-ным CH_3COOH от pH 3,3 до pH 4,2. Продолжительность диализа составляла 48—60 ч. Полученный раствор суммарных альбуминов подвергали лиофильной сушке, и лиофилизованный препарат хранили при 4—5°.

Гельфильтрацию на сепадексах проводили по Детерману [5], используя в качестве элюирующего раствора 1M NaCl (pH 7,0), электрофорез в акриламидном геле, по рекомендации Маурера [10],—по варианту метода, разработанного Григорча [4]. После снятия спектров поглощения при 278 нм рассчитаны отношения экстинций E_{260}/E_{278} отдельных фракций гельфильтрации на сепадексах.

Данные гельфильтрации суммарных альбуминов семядолей пшено приведены на рис. 1, схемы электроGRAMMAMI белков отдельных фракций на рис. 2, а отношение экстинций E_{260}/E_{278} —в таблице. Суммарные альбумины при гелевой фильтрации на сепадексе Г-75 разделились на три фракции, а на сепадексах Г-100 и Г-200—на че-

(таблица). При гелевой фильтрации на сефадексах Г-100 и Г-200 суммарные альбумины семядолей чечевицы разделились на четыре фракции, из которых 4, независимо от условий выращивания, носят смешанный характер. Кроме того, соотношение высоты пиков низко- и высокомолекулярных фракций и профили элюиции при различных условиях выращивания почти совпадают. При электрофорезе белки отдельных фракций гельфильтрации делятся в зависимости от сефадекса на три-десять электрофоретических зон (рис. 2, Абб, Ббб). Основные компоненты мигрируют во вторую половину геля. По электрофоретическому поведению альбумины семядолей чечевицы отличаются от альбуминов семядолей нута.

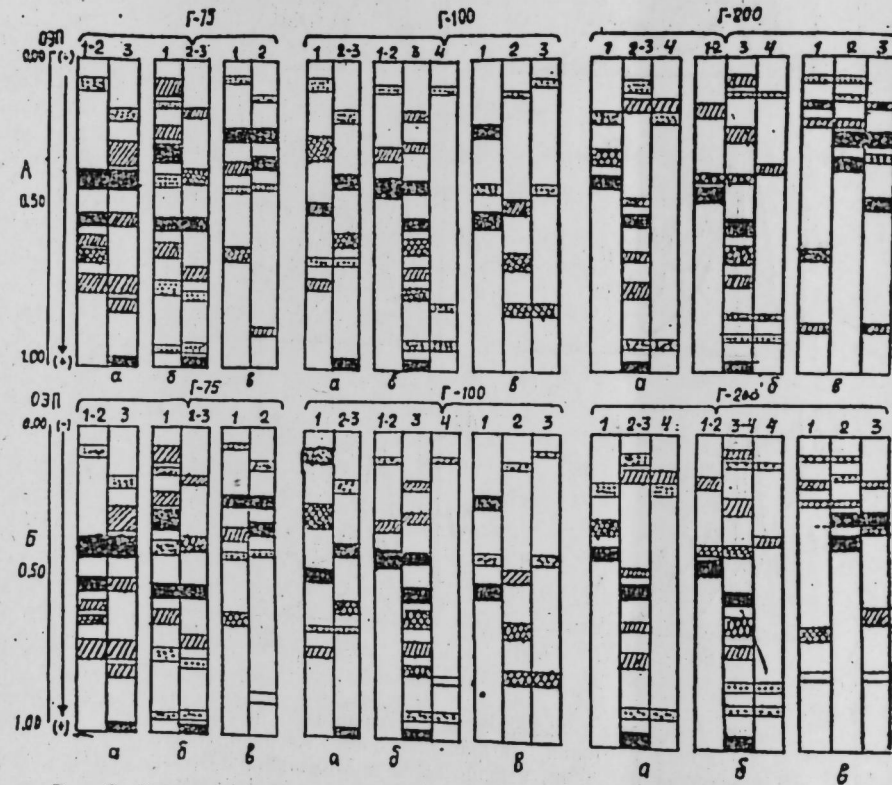


Рис. 2. Схемы электрофореграмм альбуминовых фракций, полученных при гельфильтрации суммарных альбуминов на сефадексах. Цифрами над электрофореграммами обозначены фракции, белки которых исследованы электрофорезом в ПАГ.

Кривые элюирования суммарных альбуминов семядолей фасоли приведены на рис. 1, схемы электрофореграмм на рис. 2, а отношение экстинций E_{260}/E_{278} — в таблице.

Из рис. 2 Ав, Бв видно, что независимо от условий выращивания при разделении суммарных альбуминов на колонке с сефадексом Г-75 получены два четких пика. Пики 2 носят смешанный характер, т. е. при гелевой фильтрации на сефадексе Г-100 и Г-200 суммарные альбумины фасоли делятся на три фракции, которые не различаются по профилям элюирования. При электрофорезе, в зависимости от сефадекса, белки отдельных фракций делятся на три-пять электрофоретических зон, которые различаются по интенсивности окраски, по ширине и по ОЭП. Приведенные данные позволяют сделать вывод, что альбумины семядолей нута, чечевицы и фасоли при гельфильтрации на сефадексах, разделяющиеся на высоко- и низкомолекулярные белковые фракции, отличаются друг от друга. Электрофорез в поликариламидном геле показал, что все фракции носят сложный характер,

Отношение экстинций E_{260}/E_{278} фракций, полученных при гельфильтрации суммарных альбуминов семядолей некоторых бобовых на сефадексах

Растение и сорт	Суммарные альбумины, выделенные из семян урожая, выращенного в			
	Азербайджане		Молдавии	
	Фракции	E_{260}/E_{278}	Фракции	E_{260}/E_{278}
Гельфильтрация на сефадексе Г-75				
Нут Узбекистанский 8	1 2 3	0,58 0,74 1,20	1 2 3	0,60 0,68 1,17
Чечевица Азер.	1 2 3 4	0,58 0,68 0,92 1,30	1 2 3 4	0,60 0,62 0,96 1,30
Фасоль Галибнат местная	1 2	0,55 1,30	1 2	0,62 1,20
Гельфильтрация на сефадексе Г-100				
Нут Узбекистанский 8	1 2 3 4	0,56 0,51 0,53 1,10	1 2 3 4	0,54 0,51 0,75 1,11
Чечевица Азер.	1 2 3 4	0,56 0,63 0,55 1,10	1 2 3 4	0,57 0,61 0,67 1,10
Фасоль Галибнат местная	1 2 3	0,90 0,57 1,13	1 2 3	0,90 0,53 1,13
Гельфильтрация на сефадексе Г-200				
Нут Узбекистанский 8	1 2 3 4	0,60 0,56 0,66 1,11	1 2 3 4	0,57 0,55 0,70 1,20
Чечевица Азер.	1 2 3 4	0,62 0,58 0,68 1,04	1 2 3 4	0,62 0,60 0,62 1,08
Фасоль Галибнат местная	1 2 3	0,80 0,56 1,08	1 2 3	0,77 0,58 1,03

но условия выращивания не влияют на электрофоретическое поведение суммарных альбуминов.

В заключение автор выражает искреннюю признательность члену-корр. проф. В. Г. Клименко за руководство данной работой.

Литература

1. Азимов Б. А. Авторефер. канд. дисс. Кишинев, 1972. 2. Володин В. И., Гуринович О. И. Растительные белки и их биосинтез. М., "Наука", 1975. 3. Григорчук П. Д., Клименко В. Г. Изв АН МССР, серия биол. и хим. наук, 1971. 4. Григорчук П. Д. Изв. АН МССР, серия биол. и хим. наук, 1976, № 4. 5. Детерман Г. Гель-хроматография. М., "Мир", 1970. 6. Ибрагимов Т. Т., Клименко В. Г. Изв. АН Азерб. ССР, серия биол. наук, 1976, № 6. 7. Клоз Йозеф, Клозова Ева. "Сельскохозяйственная биология". IV, 1968, № 1. 8. Кретович К. М. В. П. Бундель А. А., Мелик-Саркисян С. С. и Степанович К. М. "Биохимия", 19, 1954, № 2. 9. Кретович В. П., Бундель А. Л., Лепина Н. А.

Биохимия зерна", З. 1966, № 10, Маурер Г. Диск-электрофорез. М., "Мир", 1971.
 11. Саянова В. В., Славная Т. С., Суменкова В. В. Физиология и биохимия культурных растений, З. 1971, № 2. 12. Саянова В. В., Гофман Ю. Я. Биохимия, З. 1965, № 2. 13. Саянова В. В., Суменкова В. В., Славная Т. С. Науч. докл. высшей школы. Биол. науки, I, 1973. 14. Саянова В. В., Суменкова В. В., Славная Т. С. Растворимые белки, вып. 9. Кишинев, 1970. 15. Саянова В. В., Суменкова В. В., Славная Т. С. Изв. АН МССР, серия биол. и хим. наук, 1972, № 3. 16. Boulter D., Derbyshire E. Chemotoxonometry of the Leguminosae. London-New York, 1971.

Кишиневский государственный университет им. Ленина

Поступило 20. IX. 1977

Т. Т. Ибраһимов

БИР СЫРА ПАХЛАЛЫ ДӘН АЛБУМИНЛӘРИНИН КЕЛ-ФИЛТРАСЫ
ИЛӘ СЕФАДЕКСЛӘР ҮЗӘРИНДӘ ТӘДГИГИ

Мұхтәлиф торнаг-іглем шәрәнтиңде бечәрилмеш биткимдерин (шохуд, мәрчимек, добя) дәннинде ашыныш альбумин зұлаллары кел-фильтрасының илә сефадекс G-75, G-100, G-200 үзәринде жүксәк па ашагы молекул қосынды зұлаллары фраксијалара ојрылып. Полиакриламид кели үзәринде электрофорез методу илә мүәжжән олунышудур ки, бүтүн фраксијалар мүрәккәб характер дашишып па чох компонентлайди.

Т. Т. Ibrahimov

INVESTIGATION OF ALBUMIN OF FEW LEGUMES BY GEL FILTERATION ON SEPHADEXES

Results of Gel filtration on Sephadexes G-75; G-100; G-20 of albuminous proteins in Cotyledons of Gram, Lentils and Bean, grown in different soils and climatic conditions are given. After Gel filtration albuminous proteins are separated in high and low molecular protein fractions. Electrophoresis in polyacrylamide Gel showed that all the fractions carry complex character and many components.

УДК 635,5

СЕЛЕКСИЈА

С. Б. ЗЕЈНАЛОВ

**БӘ'ЗИ ГЫЗЫЛКУЛ СОРТЛАРЫНЫН ЧОХАЛДЫЛМА
УСУЛЛАРЫНЫН ӨЈРӘНИЛМӘСИ**

(Азәрбајҹан ССР ЕА академики Ә. М. Гулиев тәсдиғи етмишидир)

Күлчүлүк тәсәррүфатынын иинишаф етдирилмәсі учүн күл колла-
рынын чохалдылмасы әсас шәртләрдән биридир. Мә'лум олдугу кими,
күлчүлүкдә бир чох чохалдылма үсуулларындан истифадә олуунур.
Буулардан чилик, Яашыл гәләм, тохум вә' чалаг үсуулларыны гејд ет-
мәк олар. Бу мәғаләдә биологи вә' тәсәррүфат хүсусијәтләриң көрә
өјрәнијимиз бә'зи гызылкул сортларынын чилик вә' йашыл гәләм
үсуул илә чохалмасындан бәһс едәчәйик.

Бир чох мүәллифләр көстәрирләр ки, гызылкулун чилик паситети-
лә чохалдылмасында һәр бир сортун специфик хүсусијәти нәзәре-
алынналысырып. Белә ки, сортлардан асылы олараг чиликлә чохалдыл-
ма мұхтәлиф чүр тәтбиғ олуунур. Бә'зи сортларда чиликләр торнага
басдырылдыгда аспасылыгы көк әмәлә кәтирәрәк бөјүмәјә башлајыр.
Бә'зи сортларда исә көквермә я зәниф олур вә я һеч олмур (Лем-
питетсиј, 1953; Ковал, 1953).

Апарылмыш тәдгигаттар иетичесинде аждын олушудур ки, чилик-
ләрин көк вермәсі тәкчә сорт хүсусијәтләриң дејил, һәм да һа-
зырламыш субетратын тәркибиндән чох асылысырып. Одур ки, сечди-
јимиз гызылкул сортларынын (12 сорт) чиликләри 1970-чи илин декабр
ајында 15—20 см үзүнлүгүнде кәсиләрәк јешикләре 50 әдәд дәста-
һалында, һәр сортдан 100 әдәд олмага 40—45° манил әкилмишидир.
Цын гумуна 1971-чи илин март ајында (20. III) әвәлчәдән һазырламыш сиңелер-
дә әкилмишидир. Экин схеми 15×20 см олмага һәр чилик аյрыча
басдырылмышдыр.

Әкилмиш чиликләрни нормал көк вермәсии тә'мин етмәк учүн
важташыры сиңе суварылмыш, алар отларындан тәмизләнмиш вә
перава-
сија просесини җаҳышылаштырмак учүн чәркә аралары յумшалдылымыш-
дыр.

Метеорологи мә'лumatларын анылизи көстәрмисидир ки, тәдгигат
апардыгымыз әразидә һаванын орта суткалыг температуралар 17°C-дән
јухары олушудур ки, бу да тамамилә чиликләрни көк әмәлә кәтир-
мәсі учүн нормал шәршит һесаб олуунур. Өлкәмиздә апарылмыш бир
чох тәдгигат ишләрни иетичесинде мүәжжән едилмишидир ки, жүксәк тем-
ператур (25°C-дән јухары) көк әмәлә кәтирмәјә мәнфи тә сир едир.

Чиликләрин саңајә әкилмәснәдән зөгларын әмәлә қәлмәснә кими (15 мај) апарылыш мүшәнидәләрин нәтичәси көстәрир ки, тәдигиг сортларын биологи хүсусијәтләриндән асылы олараг, чиликләрдә қекамәләкәтирмә мүхтәлиф олмушшур. Гејд етмәк лазымдыр ки, зөф вермәје башлајан чиликләрин һеч дә һамысы интенсив кек ки, зөф вермәниш, векетасијанын әввәлләриндә (мај айынын ахыры вә ијунун әввәлләри) әмәлә қәлән илк ярпаглар гурујараг тәләф олмушшур. Одур ки, кек вермәниин сортлар үзәрә мүгајисәси векетасијанын сонуна интенсив кек әмәлә қәтирән нормал биткиләр үзәрә вериллир. Экәр векетасијанын сонуна әмәлә қәлән биткиләрин мигдары груплар үзәрә характеристизә едилмиш олса көрәrik ки, чај-һибрид группана дахил олан сортларын кек әмәлә қәтирмәси хејли аздыр. Ремонтат группана дахил олан Улрих Бруннер сортунда демәк олар ки, векетасијанын сонуна бир әдәд дә олсун битки алынмамышдыр.

Чај-һибрид группана дахил олан сортлар да бир-бириндән кәскин фәргләнир. Тәдигиг олунан сортлардан Глориа деи (колланан форма), Миранди вә Јубилејнаја сортларындан чиликләрин кек вермәси чох аздыр (10—13 әдәд). Лакин К. А. Викторија, М. Жүл Бүше, Гранат, Баккара вә Утро Москвы сортларында 20—33 әдәд олмушшур (1-чи чәдвәл).

1-ЧИ ЧӘДВӘЛ

Гызылкул сортларынын чиликләриндә кек вермәниин өјрәнилмәси

Сортларын адны	1971		
	20. III		
	Экимшиш, әдәдлә	кек вермеш	
	әдәдлә	фазнэ	
1. Глориа деи (коллан. форма)	100	10	10
2. Миранди	100	12	12
3. Глориа деи (колланмајан форма)	100	19	19
4. К. А. Викторија	100	31	31
15. Гранат	100	21	21
6. Мад. Жүл Бүже	100	33	33
7. Јубилејнаја	100	13	13
8. Баккара	100	20	20
9. Утро Москвы	100	21	21
10. Супер Стар	100	18	18
11. Ф. К. Друшки	100	11	11
12. Улрих Бруннер	100	—	—

Чәдвәлдән көрүндүјү кими, чиликләрин кек вермәснә көрә Мад. Жүл Бүше ән јүксәк көстәричијә маликдир. Беләниклә, чиликләрин кек әмәлә қәтирмәснә көрә апардығымыз тәдигигатдан аждын олур ки, сечилмиш гызылкул сортларыны чиликләр васитәсилә чохалтмаг мүмкүндүр.

Сечилмиш сортларын чохалдылмасында яшыл гәләмләрин кек әмәлә қәтирмәси дә өјрәнилмәшdir. Бунун үчүн 1971-чи илдә сечилмиш сортун һәр бириндән узуулугу 7—10 см олан 100 әдәд яшыл гәләм кәсилмиш вә мај айынын 20-дә јешикләрә әкилмәшdir. Һәмин гәләмләр кәсиләркән әсасән одунашмамыш яшыл гәләмләрин үзәриндә 2—3 әдәд ярысы кәсилмиш ярпаг сахланмамышдыр. Ярпагларын кәсилмәснә мәгсәд бухарланманын нисбәтән азалдылмасы олмушшур. Соңра исә әввәлчәдән һазырланмамыш јешикләрдә торпаға басдырылышдыр. Сувараркән торпағын јујулмамасы үчүн, үст гата 2—3 см галынлығында чај гуму верилмәшdir. Гәләмләрин әкилмәси гуртартыгдан соңра јешикләрин үзәри ағ безлә өргүлмушшур. Ону да гејд етмәк лазымдыр ки, јешикләрин үзәринә өргүлән без һәмишә нәм олмалыдыр. Бу заман јешикләрдә әкилмииш яшыл гәләмләр аз мигдарда су бухарландырмагла истинин тә'сириндән азад олурлар. Мә'лүм-

дур ки, јешикләрин үзәрини шүшә илә өртдүкдә дә бухарланманын гарышыны тамамилә алмагла Ьанаши қүнәш шүасы интенсив удулагаг яшыл гәләмләрин кек әмәлә қәтирмәснә мәнфи тә'сир едир. Буну биләрәкдән јешикләрин үстүнү өртмәк үчүн шүшәдән истигадә едилмәшишdir. Яшыл гәләмләрин нормал кек вермәси үчүн рүтубәтлилек нәзәрә алынараг (нава шәрәнти илә әлагәдер олараг) ики һәфтә мүддәтинә қүн әрзиндә 3—4 saatdan бир суварылмыш, кечеләр вә рүтубәтли һаваларла јешикләрин үстү ачыг сахланмамышдыр. Бу үсулла әкилмииш гәләмләр 17—20 күндән соңра яни зөф әмәлә қәтирмәје башламышдыр.

Чиликләрин чохалдылмасында олдуғу кими, яшыл гәләмләрин дә кек әмәлә қәтирмәләри дәгиг мүшәнидә едилмәшишdir. Һәмин мүшәнидәләрин нәтичәси көстәрир ки, чиликләре нисбәтән яшыл гәләмләрдә көквермә хејли артыг олур. Бу да һәр шејдән әввәл онуна изаһ едилмәлидир ки, яшыл гәләмләрдә кедән физиологи просесләр чиликләре нисбәтән хејли интенсивидир. Яшыл гәләмләрлә кек әмәлә қәтирмәснәдә тәдигиг олунан сортларын биологи вә тәсәррүфат хүсусијәтләриндән асылы олараг мүхтәлиф олмушшур (2-чи чәдвәл).

2-ЧИ ЧӘДВӘЛ

Гызылкул сортларынын яшыл гәләмлә чохалдылмасы

Сортларын адлары	1971		
	20. V		
	әкилмииш әдәдлә	кеқвермиш	
	әдәдлә	фаизлә	
1. Глориа деи (колланан форма)	100	18	18
2. Миранди	100	16	16
3. Глориа деи (колланмајан форма)	100	21	21
4. К. А. Викторија	100	52	52
5. Гранат	100	23	23
6. Мад. Жүл Бүше	100	56	56
7. Јубилејнаја	100	18	18
8. Баккара	100	22	22
9. Утро Москвы	100	24	24
10. Супер стар	100	20	20
11. Ф. К. Друшки	100	19	19
12. Улрих Бруннер	100	7	7

Чәдвәлдән аждын олур ки, яшыл гәләмлә чохалдылдыгда тәдигиг етдијимиз сортларын әксәријјетиндә кек әмәлә қәтирмә фаизи јүксәк олмушшур. Ону гејд етмәк мараглыдыр ки, чиликлә чохалдаркән бир әдәд дә олсун кек вермәјен Улрих Бруннер сорту яшыл гәләмлә чохалдыгда 7 фаза нормал битки вермишdir.

Чиликлә чохалдылма заманы ән јүксәк көстәричијә малик олан сортлар яшыл гәләмләрлә чохалдыларкән дә һәмин хүсусијјети сахланмамышдыр. Бу һал бир даһа сүбүт етмишdir ки, истәр чиликләрин, истәрсә дә яшыл гәләмләрин кек вермәси һәр бир сортун специфик хүсусијјетиндән чох асылыдыр. Экәр чохалдылма үсулларыны иғтисади чәһәтдән сәмәрәлилијинә көрә бир-бири илә мүгајисә етмиш олсаг, аждын олар ки, чиликләрлә артырмаг мүәjjән гәдәр үстүнлүјә маликдир. Лакин әлдә олунан биткиләрин чохлукуна көрә даһа доғрусу, яшыл гәләмләрлә чохалтманын сәмәрәснә көрә иккинчи үсулун үстүнлүјү гејд олунмалыдыр. Иккинчи үсулун үстүнлүјүн тәсдиғ едән сәбәбләрдән бири дә одур ки, чиликләрлә чохалдыл масы мүмкүн олмајан сортларда яшыл гәләмләрдән истигадә едәрәк чохалтмаг мүмкүн олмајан сортларда яшыл гәләмләрдән истигадә едәрәк чохалтмаг мүмкүн олмалыдыр. Өյрәндијимиз чохалтма үсулларынын һәр икиси күл сортларыны чохалдылмасында мүһум әһәмијјет кәсб едир.

1. Коваль А. А. Биологическое обоснование некоторых приемов размножения роз зелеными черенками. Автораф. к. б. и., М. С—Х акад. К. А. Тимирязева. М., 1953.
 2. Лемпitsкий П. П. Повышение укореняемости черенков роз под влиянием температуры, сб. аклиматизация растений, тр. Ботан. сада АН Ук. ССР. Т. П. 1953.
 Азәрб. ССР ЕА Кенетика өд Селекција Институту

Алтынмышдыр 18. 05 1977

С. Б. Зейналов

ИЗУЧЕНИЕ СПОСОБОВ РАЗМНОЖЕНИЯ НЕКОТОРЫХ СОРТОВ РОЗ

В статье изложены результаты исследования корнеобразовательной способности черенков и зеленых черенков 12 сортов роз. Наблюдения в течение всей вегетации показали, что корнеобразовательная способность черенков роз в определенной степени зависит от их сортовой принадлежности. Так, наиболее высокую корнеобразовательную способность при размножении черенками и зелеными черенками показали сорта Виктория, Буш, Гранат, Баккара, Супер стар, Утро Москвы, причем у сортов Виктория и Буш она составила 52—56%.

S. B. Zeinalov

STUDIES THE METHODS OF PROPAGATION OF SOME ROSE SORTS

The article deals with investigation results of rootforming ability of cuttings and green cuttings of 12 rose sorts. Vegetal observation shows that rootforming ability of rose cuttings in a certain degree depends on their sort affiliation. The sorts of K. A. Victoria, M. Dz. Bushe, Granat, Bakkara, Super Star, Utro Moskvy have shown a high rootforming ability in cutting propagation. The propagation of teahybrid rose sorts by the way of green cuttings has given a good result. It reaches about 52—56% in the sorts of K. A. Victoria and M. Dz. Bushe.

УДК 577.3

БИОФИЗИКА

Э. М. КУЛИЕВА, В. В. ПЕРЕЛЫГИН, А. И. ДЖАФАРОВ

ЭЛЕКТРОРЕТИНОГРАММА (ЭРГ) ИЗОЛИРОВАННОЙ СЕТЧАТКИ В УСЛОВИЯХ ИНДУЦИРОВАННОГО ЛИПОПЕРЕОКИСЛЕНИЯ

(Представлено академиком АН Азербайджанской ССР Г. Г. Гасановым)

Как известно, скорость перекисного окисления липидов в мембранных клеток, характеризующаяся исходно незначительной величиной резко возрастает при действии на организм ряда патогенных факторов (радиация, гипероксидаза, Е-авитаминов и др.). Одновременно признается [1—3], что в развитии клеточной патологии продуктам липоперекисного окисления принадлежит немаловажная роль.

Вместе с тем до сих пор неясно, имеют ли значение для функционирования клеток те небольшие количества липоперекисей, которые почти всегда обнаруживаются в интактных клеточных мембранах. Сопоставление динамики накопления продуктов перекисного окисления и антиоксидантной активности липидов при различных градациях раздражения нервных и мышечных волокон [4—6] позволило сделать вывод об изменении физико-химического состояния липидов на отдельных этапах деятельности перечисленных выше образований, но не дало возможности конкретизировать роль липоперекисей в генерации и проведении потенциалов действия.

В 1973 г. стало известно, что гидроперекиси липидов могут легко образовываться в интактных сетчатках холоднокровных при обычной световой адаптации; при этом процесс липоокисления носил свободно-радикальный характер, так как подавлялся α-токоферолом [7,8]. Фотоиндуцированное липоперекисление в сетчатках теплокровных наблюдалось и нами [9]. При этом была продемонстрирована возможность регуляции этого процесса соединениями селена, повышающими, как это было установлено ранее [10, 11], световую чувствительность сетчатки в условиях хронического эксперимента.

Приведенные факты указывают на определенное отношение процесса перекисного окисления к функциональному состоянию фоторецепторов, однако совершенно не освещают пути реализации влияния липоперекисей на механизм генерации фотоэлектрических потенциалов действия сетчатки.

В задачу настоящего исследования входило изучение закономерностей влияния ингибиторов и активаторов перекисного окисления липидов на параметры электрической реакции сетчатки холоднокровных животных.

МЕТОДИКА

Сетчатка темноадаптированных лягушек (не менее двух часов) извлекалась специальным хирургическим приемом из глазного бокала при слабо-красном свете. Приготовленный препарат помещался на фильтровальной бумаге рецепторами вниз и укладывался в специальную проточную камеру с двумя отводящими платиновыми электродами.

Через сетчатку перфузировался раствор Рингера—рН 7,2 (NaCl — 110 мМ , KCl — $1,8 \text{ мМ}$, CaCl_2 — $1,1 \text{ мМ}$ и NaHCO_3 — $2,4 \text{ мМ}$; скорость перфузии контролировалась по числу капель, вытекающих за минуту из проточной камеры. В камере предусматривались стабилизация температуры и ее контроль с помощью термистора МТ-54.

Активация перекисного окисления в сетчатке производилась введением в раствор Рингера FeSO_4 и аскорбиновой кислоты (соответственно $10^{-5} M$ и $0,4 \text{ мМ}$). В качестве ингибиторов перекисного окисления использовались спиртовые растворы эстерифицированного α -токоферола, пропилгаллата, α -нафтола. Концентрация спирта— $0,5\%$, введенных веществ—от 10^{-3} до $10^{-5} M$. Применялись также водные растворы цистеина, цистеамина и соединение селена—селенин натрия в концентрациях, указанных выше. В отдельных случаях токоферол пропилгаллат и селенин натрия вводились лягушкам предварительно за сутки до опыта.

Степень окисления в течение 60 мин оценивалась по реакции малонового дикальдегида с тиобарбитуревой кислотой [12]. Поддержание параметров ЭРГ в неизменном виде на протяжении 60 мин эксперимента достигалось насыщением перфузируемого раствора кислородом. ЭРГ регистрировалась с помощью усилителя УБП-02 и фотографировалась с экрана осциллографа С1-18. Второй луч использовался для записи отметки светового раздражения с помощью фотоэлемента, расположенного рядом с сетчаткой.

Световое раздражение наносилось посредством включения фотостимулятора с ксеноновой лампой, дающей вспышки с энергией от 0,005 до 0,19 дж. Свет фокусировался на светопровод камеры оптической системой.

Все опыты проводились при температуре $22 \pm 0,5^\circ$.

РЕЗУЛЬТАТЫ И ОБСУЖДЕНИЕ

Изолированные сетчатки в условиях перфузии насыщенного кислородом раствора Рингера сохраняют почти неизменной в течение часа и более амплитуду всех волн ЭРГ. ЭРГ сетчатки (при скорости развертки 50 мкс/см) состоит из отчетливо выраженных a_1 - и a_2 -волн, b -волны, а также из часто встречающихся на b -волнах осцилляций до шести пиков. Добавление к перфузционному раствору комплекса железо-аскорбат вызывает быстрое падение амплитуд всех волн ЭРГ (рис. 1). Это падение значительно при использовании $0,8 \text{ мМ}$ аскорбата и замедлено, если добавляется $0,4 \text{ мМ}$.

К 20-й минуте опыта амплитуда ЭРГ снижалась до незначительного колебания в ответ на тестирующую вспышку. Характерно, что в условиях действия активаторов перекисного окисления выделения компонента P_{III} ЭРГ не происходит, как это было в случае действия токсических веществ, блокирующих связь рецептор-синапс; имеет место подавление фотоэлектрического ответа вообще.

Отмыка сетчатки пропусканием контрольного раствора не приводит даже к частичному восстановлению ЭРГ, которая продолжает падать до полного исчезновения.

Для проверки предположения, что падение ЭРГ вызвано образованием эндогенных продуктов перекисного окисления, проведено сравнение количества конечного продукта липоокисления—малонового дикальдегида (МДА) в контрольных и опытных сетчатках, подвергнувшихся действию в течение 60 мин системы железо-аскорбат. При этом удалось установить, что в контрольных сетчатках на протяжении 60-мин инкубации в нормальном растворе Рингера образование МДА практически не наблюдается, в то время как в сетчатках, инкубированных в присутствии системы железо-аскорбат, МДА достоверно обнаруживается к 30-й мин, значительно увеличиваясь к 60-й (рис. 2а).

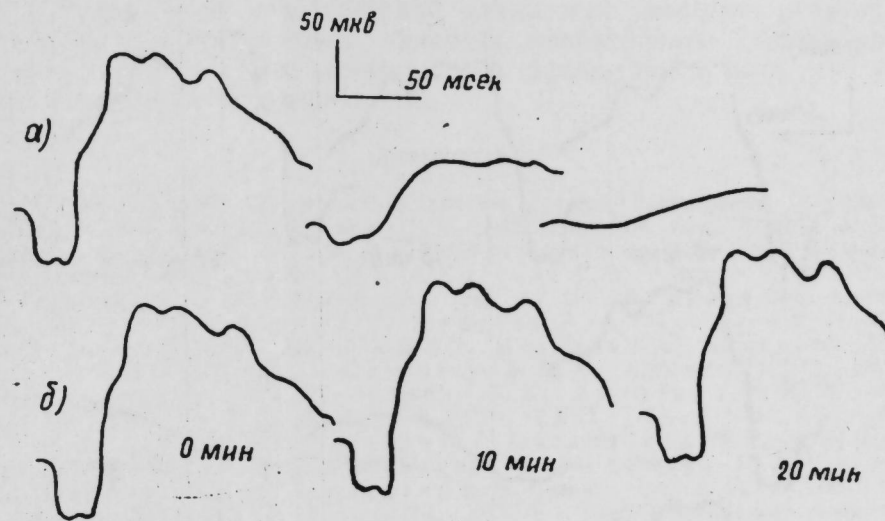


Рис. 1. Действие системы железо-аскорбат на параметры ЭРГ сетчатки лягушки:
а—опыт; б—контроль.

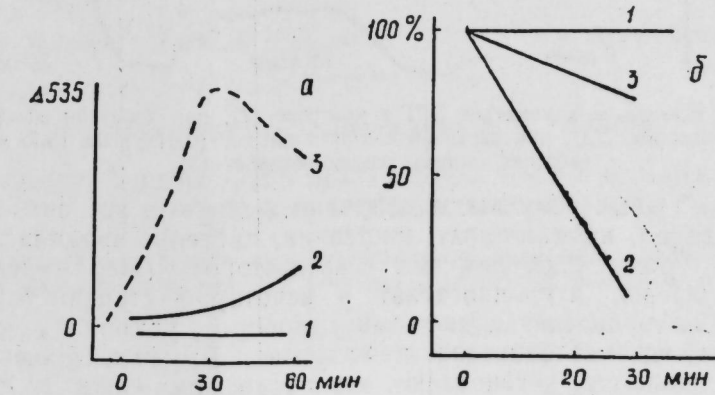


Рис. 2:
а—динамика изменения МДА в контроле (1), при инкубации в системе железо-аскорбат (2). Динамика изменения содержания гидроперекисей (3) в аналогичных условиях опыта по данным работы [13];
б—динамика изменения b -волны ЭРГ в контроле (1), после действия системы железо-аскорбат (2), после предварительного введения антиоксиданта— α -токоферола и последующего действия системы железо-аскорбат (3).

Так как МДА—поздний продукт превращения липидных перекисей, очевидно, подавление ЭРГ сетчатки может быть вызвано образованием гидроперекисей липидов, которые были обнаружены методами

полярографии в аналогичных условиях эксперимента другими авторами [13].

Еще одним подтверждением того, что падение ЭРГ в условиях действия системы железо-аскорбат вызвано увеличением количества эндогенных липоперекисей, являются данные, полученные нами при предварительном введении животным классических липидных антиоксидантов— α -токоферола и пропилгаллата. Во всех случаях исходные показатели электрической активности сетчаток не отличались от контрольных, однако наблюдалось заметное торможение падения амплитуды ЭРГ в условиях железо-аскорбатзависимого липоперекисления.

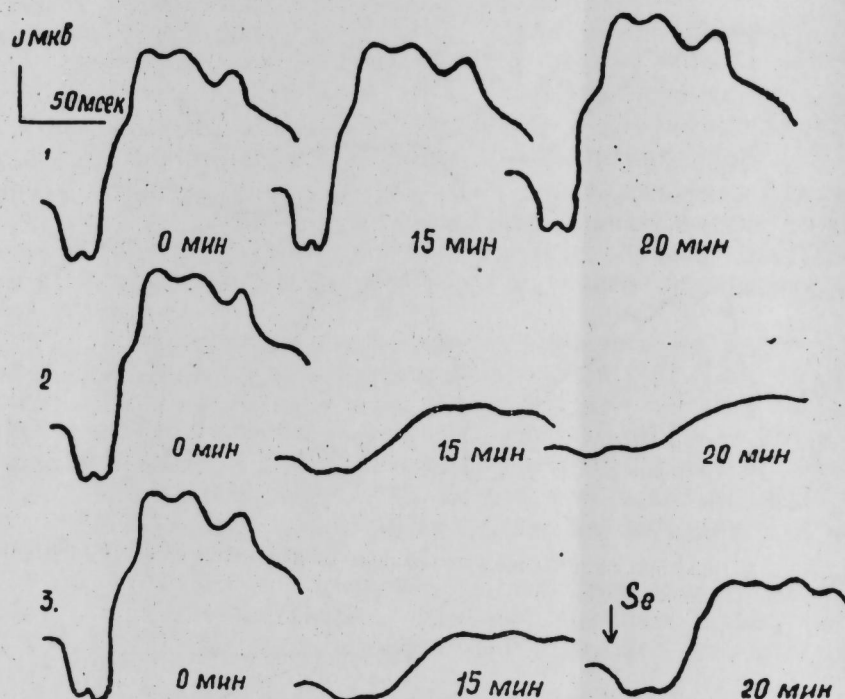


Рис. 3. Изменение параметров ЭРГ в контроле (1), при действии системы железо-аскорбат (2), при введении селенината натрия (0,01%) на 15-ю мин действия системы железо-аскорбат (3).

Несколько иные результаты получены в опытах, где антиоксиданты (α -токоферол, пропилгаллат, цистеамин, цистеин) вводились в перфузционную среду одновременно с активатором (железо-аскорбат). Если α -токоферол и пропилгаллат в некоторой степени тормозили падение ЭРГ, то цистеин и цистеамин, наоборот, ускоряли.

В опытах, где исследовалось действие на ЭРГ каждого антиоксиданта в отдельности, установлено, что α -токоферол никакого действия не оказывает, пропилгаллат в концентрации $10^{-3} M$ несколько снижает, а цистеин и цистеамин ($10^{-4} M$) заметно ускоряют падение ЭРГ. Последнее, вероятно, можно объяснить восстановлением Fe^{+3} до Fe^{+2} , как и в случае с аскорбатом [3].

Если антиоксиданты добавлялись на 20-й минуте, когда падение амплитуды ЭРГ очевидно, ни восстановления ЭРГ, ни снижения скорости падения не отмечалось. Однако, если к этому времени добавить селениннат натрия (0,01%), который в указанной концентрации не влиял на ЭРГ контрольных сетчаток, то в большинстве случаев наблюдается восстановление параметров ЭРГ на 30–50% от исходного уровня (рис. 3).

Так как в этих условиях антиоксиданты неэффективны, то трудно однозначно интерпретировать наблюдаемый факт как восстановление гидроперекисей липидов через глутатион-пероксидазную систему, катализируемую, как известно, селеном [14].

Вероятно, способность селена повышать ЭРГ может реализоваться также и через действие на активность специфических АТФ-азных систем, ведающих переносом потенциалообразующих ионов [15].

Резюмируя представленный экспериментальный материал, можно утверждать, что накопление эндогенных продуктов перекисного окисления липидов, индуцированного системой железо-аскорбат, приводит к подавлению электрической активности сетчатки. Фактором, сдерживающим этот процесс, являются антиоксиданты (α -токоферол, пропилгаллат), действие которых более эффективно, если они вводятся в организм предварительно.

Литература

1. Тарусов Б. Н. Первичные механизмы лучевого поражения. М., Атомиздат, 1962.
2. Нейфах Е. А., Каган В. Е. «Биохимия», 34, вып. 4, 1969.
3. Владимир Ю. А., Арчаков А. И. Перекисное окисление липидов в биологических мембранных. М., «Наука», 1972.
4. Коссова Г. В. Автореф. канд. дисс. М., 1972.
5. Федоров Г. Е. Автореф. канд. дисс. М., 1971.
6. Блоха В. В. Автореф. канд. дисс. М., 1972.
7. Каган В. Е., Шведова А. А., Новиков К. Н., Козлов Ю. П. ДАН СССР, 210, 1973, № 5. 8. Новиков К. Н., Шведова А. А., Каган В. Е., Козлов Ю. П., Островский М. А. «Биофизика», XIX, вып. 2, 1974.
9. Абдуллаев Г. Б., Перельгин В. В., Джаяфаров А. И., Кулиева Э. М., Гасанов Г. И. ДАН Азерб. ССР, XXXI, 1975, № 6. 10. Абдуллаев Г. Б., Гаджиева Н. А., Гасанов Г. Г., Оболенская Л. В. ДАН Азерб. ССР, XXVII, 1971, № 10. 11. Абдуллаев Г. Б., Гаджиева Н. А., Гасанов Г. Г., Джаяфаров А. И., Перельгин В. В. Селен и зрение. Баку, «Элм», 1972.
12. Ланкин В. З., Нейфах Е. А. Тр. МОИП «Физико-химические механизмы злокачественного роста», 32, 1970.
13. Каган В. Е., Шведова А. А., Новиков К. Н., Козлов Ю. П. «Биофизика», XX, вып. 6, 1975.
14. Rotruck I. L., Gantner H., Swanson A., Hafeman D. Federat. Proc., 31, 1973, 691.
15. Гасанов Г. И., Джаяфаров А. И., Перельгин В. В. В сб.: «Селен в биологии», т. I. Баку, «Элм», 1976.

Институт физиологии им. А. И. Караваева

Поступило 29. IX 1977

Е. М. Гулиева, В. В. Перельгин, Н. И. Чәфәров

ЛИПОПЕРЕОКСИДЛӘШМӘ ШӘРАТИНДӘ ИЗОЛӘ !ЕДИЛМИШ КӨЗ ТОРУНУН ЕЛЕКТРОРЕТИНОГРАММАСЫ (ЕРГ)

Апарылан тәдгигат дәмир-аскорбат системин терәтдији липидләрин переоксидләшмә мәңсулларынын көз тору електрик фәаллыгыны азаатдығы мүэллән олунмушлур.

Мәгәләдә антиоксиданттардан фәргли оларaq селен бирлешмәләrinин липоперексидләшмәни зәйфләтмәкә бирликтә, көз тору електрик фәаллыгыны (ЕРГ) артырыдыры көстәрилмишdir.

Е. М. Kulieva, V. V. Pereligin, A. I. Jafarov

ELECTRORETINOGRAM (ERG) OF ISOLATED RETINA UNDER THE CONDITIONS OF INDUCED LIPOPEROXIDATION

It has been established that the accumulation of endogenous products of lipids peroxidation induced by ferro-ascorbic acid system results in depression of the retina electrical activity.

One could observe that the depressive effect of induced lipoperoxidation on retinal electrical activity was expressed rather faintly during the preliminary injection of antioxidants (α -tocopherol and at the gallic acid).

In contrast to the mentioned antioxidant the selenium compound were effective in suppression of lipoperoxidation with the corresponding increase of ERG amplitude in isolated retina.

МУНДЭРИЧАТ

И. Р. Бүнядов. Гыздырылдыгда тағын кәркинилк вә деформасија һалышының тә'жин олунмасына даир	3
P. J. Эмэнзадэ. Геир-ијутон мајесинин еластик өртүкдә перисталтик һәрәкәти	7
Ријази анализ	
F. Џ. Мәммәдов. Дискрет мә'лumatлар верилиши системләrinин дајаныглыгының тәдгиги	13
Нисбилik нәзәријәси вә ријази статистика	
T. M. Элиев. һесаби сајда һаллара малик олан бир марков әнчиринаггында	17
Диелектрикләр физикасы	
B. Н. Чирков, Ч. Ф. Элиев, Е. һ. Зейналлы. Оптик фәэл молекул ашгарлы нематик маје кристалларда електрооптик јаддаш еффекти	22
Полимерләр физикасы	
A. M. Рәсүлов. Резинләrin деформасијасында фәза торундакы сырадан чыхкан дүйүнләрин мигдарының онун кәркинилк релаксасијасына көрә тә'жини-иә даир	27
Енергетика	
A. Э. Эфәндизадә, Б. А. Листенгартен. Тезлик илә тәнзим единлән асинхрон електрик интегалының оптималь идарәедилмәснин тәдгигине даир	31
A. A. Элизадә, һ. А. һачыјев. "Шуша" мәнтәгәсindә гасырга вә га-сырғадан габагы һадисәләрин тәдгигинин бә'зи иәтичәләри	36
Ријази физика	
T. Э. Юсифзадә. Умумиләшдирилмиш кәсилемиш нормал ганун үчүн ω^2 разылыг критеријасы	42
Нефт-иәдән механикасы	
J. M. Расизадә. Кил суспензијаларында баш верән бир кинетик еффект һаггында	45
Кимја	
C. Ч. Мендијев, һ. М. Элимәрданов, M. R. Мусаев, E. T. Сүлејманова. Тиклопентанонун вә тиклопексанонун 2-метилбутанол-1-Он-3 илә конденсасијасы реаксијасына һәлледичинин тәбиэтинин тә'сiri	48
Үзви кимја	
I. M. Эһмәдов, Ф. һ. һасәнов, C. B. Гурбанов, M. M. һүсейнов, T. N. Шантахтински. Селенофенолун аллилглицидил ефирине вә онларын хлоридридине бирләшмәси	51
Тектоника	
Ш. Ф. Мендијев, K. N. Тер-Карапетјанс, Э. А. Элиев. Тектоник факторуның петростатик тәэсирләр коллектор сүхурларының физики параметрләrinе тә'сiri	58
Палеобиокеохимја	
A. A. Элизадә, Ш. Б. Асланов. Бејук Гафгазының чәнуб-шәрг гуртарачагы аит белемнитләrinин ростларында микролементләrin мигдары	63

Ботаника

B. С. Новрузов. LECANORA вә MICROPHYLAE чинсләрин-дән јени шибје нөвләри	68
--	----

Торпагшұнаслыг

M. P. Бабаев. Гуру-бозғыр субтропик зона торпагларының сувармадан дәжишмәси	72
---	----

Биокимја

T. T. Ибраһимов. Бир сырға пахлалы дән албуминләrinин кел-filtрасијасы илә сефадексләр үзәриндә тәдгиги	76
---	----

Селексија

C. B. Зеиналов. Бә'зи гызылкүл сортларының чохалдылмасы үсулларының өрәнүлмәси	81
--	----

Биофизика

E. M. Гулијева, В. В. Перелькин, һ. И. Чәфәров. Липоперекс-сидләшмә шәрантингдә изолә едилемши көз торунун электроретинограммасы (ЕРГ)	85
--	----

СОДЕРЖАНИЕ

Механика

I. Р. Бунятов. К определению напряженно-деформируемого состояния пологой арки при нагреве	3
P. Ю. Амензаде. Перистальтическое движение newtonовой жидкости в упругой оболочке	7

Математический анализ

Ф. Г. Мамедов. Исследование устойчивости систем передачи данных	13
---	----

Теория вероятностей и математическая статистика

Т. М. Алиев. Об одной цепи Маркова со счетным числом состояний	17
--	----

Физика диэлектриков

B. Н. Чирков, D. F. Алиев, A. X. Зейналлы. Электрооптический эффект памяти в нематических жидкких кристаллах, легированных оптически активными молекулами	22
---	----

Физика полимеров

A. M. Рәсүлов. К определению числа исключенных узлов пространственной сетки резин при деформации по релаксации напряжения	27
---	----

Энергетика

Академик АН Азерб. ССР А. А. Эфендизаде, Б. А. Листенгартен. К вопросу исследования оптимального управления частотно-регулируемым асинхронным электроприводом	31
Член корр. АН Азерб. ССР А. А. Ализаде, Г. А. Гаджисев. О некоторых результатах исследования предгрозовых и грозовых явлений в пункте Шуша	36

Математическая физика

T. A. Юсифзаде. Критерий согласия ω^2 для обобщенного усеченного нормального закона	42
--	----

Нефтепромысловая механика

Я. М. Расизаде. Об одном кинетическом эффекте в глинистых суспензиях	45
--	----

Химия

Академик АН Азерб. ССР С. Д. Мехтиев, Э. М. Алимарданов, М. Р. Мусаев, Э. Т. Сулейманова. Влияние природы растворителя на реакцию конденсации циклопентанона и циклогексанона с 2-метилбутанолом—3	48
--	----

Органическая химия

И. М. Ахмедов, Ф. Г. Гасанов, С. Б. Курбанов, М. М. Гусейнов, академик АН Азерб. ССР, Т. Н. Шахтахтинский. Присоединение селенофенола к аллил- и пропаргилглицидиловым эфирам и их хлоргидридам	54
---	----

Тектоника

Академик АН Азерб. ССР Ш. Ф. Мехтиев, Ж. Н. Тер-Каррапетянц, А. А. Алиев. Влияние тектонического фактора и петростатического давления на физические параметры пород коллекторов (на примере ряда месторождений Азербайджана)	5
--	---

Палеобиогеохимия

Ак. А. Ализаде, Ш. Б. Асланов. Содержание микроэлементов в рос-трах аптских белемнитов юго-восточного окончания Большого Кавказа	63
--	----

Ботаника

В. С. Новрузов. Новые виды лишайников из родов <i>Lecanora</i> и <i>Micropeltia</i>	68
---	----

Почвоведение

М. П. Барабаев. Изменение почв сухостепной субтропической зоны Азербайджанской ССР под влиянием орошения	72
--	----

Биохимия

Т. Т. Ибрагимов. Исследование альбуминов семян некоторых бобовых гельфильтрацией на сефадексах	76
--	----

Селекция

С. Б. Зейналов. Изучение способов размножения некоторых сортов роз	81
--	----

Биофизика

Э. М. Кулиева, В. В. Перелыгин, А. И. Джографов. Электроретиограмма (ЭРГ) изолированной сегментки в условиях индуцированного липоперекисления	85
---	----

Сдано в набор 5/X 1977 г. Подписано к печати 24/II 1978 г. Формат бумаги 70×108^{1/16}. Бум. лист. 2,87. Печ. лист. 8,05. Уч.-изд. лист. 6,82. ФГ 05624. Заказ 838. Тираж 735. Цена 40 коп.

Издательство ЭЛМ". 370073. Баку-73, проспект Нариманова, 31,
Академгородок, Главное здание.

Типография "Красный Восток" Государственного комитета
Совета Министров Азербайджанской ССР по делам издательств,
полиграфии и книжной торговли. Баку, ул. Ази Асланова, 80.

ПРАВИЛА ДЛЯ АВТОРОВ

1. В «Докладах Академии наук Азербайджанской ССР» помещаются краткие сообщения, содержащие законченные, еще не опубликованные результаты научных исследований, имеющих теоретическое или практическое значение.

В «Докладах» не публикуются крупные статьи, механически разделенные на ряд отдельных сообщений, статьи полемического характера без новых фактических данных, статьи с описанием промежуточных опытов без определенных выводов и обобщений, работы непринципиальные, описательного или обзорного характера, чисто методические статьи, если предлагаемый метод не является принципиально новым, а также статьи по систематике растений и животных (за исключением описания особо интересных для науки находок).

Статьи, помещаемые в «Докладах», не лишают автора права последующей публикации того же сообщения в развернутом виде в других изданиях.

2. Поступающие в «Доклады» статьи рассматриваются Редакционной коллегией только после представления их академиком по специальности. Каждый академик может представить не более 5-ти статей в год.

Статьи членов-корреспондентов Академии наук Азербайджанской ССР принимаются без представления.

Редакция просит академиков при представлении статьи указывать дату получения ее от автора, а также наименование раздела, в котором статья должна быть помещена.

3. В «Докладах» публикуются не более трех статей одного автора в год.

4. В «Докладах» помещаются статьи, занимающие не более четверти авторского листа—около 6—7 страниц машинописи (10 000 печатных знаков), включая рисунки.

5. Все статьи должны иметь резюме на английском языке; кроме того, статьи, написанные на азербайджанском языке, должны иметь: резюме на русском языке и наоборот.

6. В конце статьи должны быть указаны название научного учреждения, в котором выполнена работа, и номер телефона автора.

7. Опубликование результатов работ, проведенных в научных учреждениях должно быть разрешено дирекцией научного учреждения.

8. Статьи (включая и резюме), должны быть напечатаны на машинке через два интервала, на одной стороне листа и представляются в двух экземплярах. Формулы должны быть вписаны четко и ясно, при этом прописные буквы должны быть подчеркнуты (черным карандашом) двумя черточками снизу, а строчные — сверху, букву греческого алфавита надо обводить красным карандашом.

9. Цитируемая в статье литература должна приводиться не в виде подстрочных списков, а общим списком (вподбор), в алфавитном порядке (по фамилии автора), в конце статьи с обозначением ссылки в тексте порядковой цифрой. Список литературы должен быть оформлен следующим образом:

а) для книг: фамилия и инициалы автора, полное название книги, номер тома, город, издательство и год издания;

б) для статей в сборниках (трудах): фамилия и инициалы автора, название статьи, название сборника (трудов), том, выпуск, место издания, издательство, год, страница;

в) для журнальных статей: фамилия и инициалы автора, название статьи, название журнала, год, том, номер, (выпуск), страница.

Ссылки на неопубликованные работы не допускаются (за исключением отчетов и диссертаций, хранящихся в научных учреждениях).

10. На обороте рисунков должны быть указаны фамилия автора, название статьи и номер рисунка. Отпечатанные на машинке подписи к рисункам представляются на отдельном листе.

11. Авторы статей должны указывать индекс статьи по Унифицированной десятичной классификации (УДК) и прилагать реферат для «Реферативного журнала».

12. Авторы должны избегать повторения одинаковых данных в таблицах, графиках и в тексте статьи.

Ввиду небольшого объема статей выводы помещаются лишь в необходимых случаях.

13. В случае представления двух или более статей одновременно необходимо указать желательный порядок их помещания.

14. Корректура статей автором как правило не посыпается. В случае посылки корректуры допускается лишь исправление ошибок типографии.

15. Редакция выдает автору бесплатно 15 отдельных оттисков статьи.

40 гэл.
коп.

Индекс
76355